



รายงานวิจัยฉบับสมบูรณ์

โครงการ: การระบาดของเชื้อ *Nosema ceranae* และความรุนแรงของโรค
ในผึ้งหลวง (*Apis dorsata* Fabricius, 1793) ในประเทศไทย

Distribution and virulence of *Nosema ceranae* in Thai giant
honeybee, *Apis dorsata* Fabricius, 1793

หัวหน้าโครงการ: รศ. ดร. กัญทิมา สุวรรณพงษ์

โครงการวิจัยประเภทงบประมาณเงินรายได้
จากเงินอุดหนุนรัฐบาล (งบประมาณแผ่นดิน)
ประจำปีงบประมาณ พ.ศ. ๒๕๖๑
มหาวิทยาลัยบูรพา

รหัสโครงการ 2561A10802063

สัญญาเลขที่ 201/2561

รายงานวิจัยฉบับสมบูรณ์

โครงการ: การระบาดของเชื้อ *Nosema ceranae* และความรุนแรงของโรค
ในผึ้งหลวง (*Apis dorsata* Fabricius, 1793) ในประเทศไทย
Distribution and virulence of *Nosema ceranae* in Thai giant
honeybee, *Apis dorsata* Fabricius, 1793

รองศาสตราจารย์ ดร. กัณทิมา สุวรรณพงษ์
ภาควิชาชีววิทยา คณะวิทยาศาสตร์ มหาวิทยาลัยบูรพา

1 ตุลาคม พ.ศ. 2560 – 30 กันยายน พ.ศ. 2561

กิตติกรรมประกาศ

งานวิจัยนี้ได้รับทุนสนับสนุนการวิจัยจากงบประมาณเงินรายได้จากเงินอุดหนุนรัฐบาล (งบประมาณแผ่นดิน) ประจำปีงบประมาณ พ.ศ. ๒๕๖๑ มหาวิทยาลัยบูรพา ผ่านสำนักงานคณะกรรมการการวิจัยแห่งชาติ เลขที่สัญญา 201/2561 คณะผู้วิจัยขอขอบคุณหน่วยวิจัยผึ้ง ภาควิชาชีววิทยา คณะวิทยาศาสตร์ มหาวิทยาลัยบูรพา ที่ให้การสนับสนุนสนับสนุนสถานที่ในการดำเนินการวิจัย รวมทั้งอุปกรณ์และเครื่องมือต่างๆ ทำให้โครงการวิจัยนี้สำเร็จไปได้ด้วยดี ขอขอบคุณเจ้าหน้าที่จากสำนักงานคณะกรรมการการวิจัยแห่งชาติ ที่ได้ช่วยเหลือให้คำแนะนำ ในการเสนอโครงการวิจัย ตลอดจนเจ้าหน้าที่ฝ่ายวิจัยของมหาวิทยาลัยบูรพาที่ให้ความสะดวกในการดำเนินการวิจัยด้วยดีเสมอมา คณะผู้วิจัยหวังเป็นอย่างยิ่งว่ารายงานวิจัยฉบับนี้จะเป็นประโยชน์ต่อผู้อ่าน หากมีข้อผิดพลาดประการใด คณะผู้วิจัยก็ขออภัยมา ณ ที่นี้ด้วย และยินดีรับข้อเสนอแนะของผู้อ่านด้วยความยินดี

รศ. ดร. กันทิมา สุวรรณพงศ์

หัวหน้าโครงการฯ

มีนาคม 2562

Acknowledgment

This work was financially supported by the Research grant of Burapha University through National research Council of Thailand (Grant no. 201/2561). We wish to thank the bee research unit of Burapha University, Department of Biology, Faculty of Science, Burapha University for research facilities. We also wish to thank the research team of NRPM of Thailand for their helpful suggestions for the proposal submission. Our special thank also go to the research staffs of research division of Burapha University for their support throughout the research period. We hope that this report would be helpful for all readers who might probably have the feedback, corrections, comments, inspiration, and most of all for reading.

Associate Professor Guntima Suwannapong

A head of research team

March 2019

บทคัดย่อ

โรคโนซีมา (Nosemosis) ในประเทศไทยเกิดจากเชื้อ *Nosema ceranae* ซึ่งจัดเป็นราในกลุ่ม Microsporian ที่ก่อให้เกิดประชากรของผึ้งลดลง เนื่องจากเชื้อเข้าไปทำลายเซลล์เยื่อบุทางเดินอาหารส่วนกลางของผึ้ง พบการระบาดในผึ้งทุกชนิดในประเทศไทย รวมทั้งผึ้งหลวง (*Apis dorsata*) ซึ่งเป็นผึ้งพื้นเมืองของประเทศไทย ให้ผลผลิต โดยเฉพาะน้ำผึ้งปริมาณมาก เนื่องจากมีรังขนาดใหญ่ มีจำนวนประชากรมาก และมีบทบาทสำคัญมากต่อระบบนิเวศน์ เนื่องจากทำหน้าที่ผสมเกสรให้พืชชนิดต่างๆ โดยเฉพาะพืชอาหารหลัก (crop plants) ของประเทศไทย วัตถุประสงค์ของการวิจัย คือ สืบหาการติดเชื้อ *Nosema* ในผึ้งหลวงจากพื้นที่ต่างๆ ของประเทศไทย และจำแนกชนิด (species identification) ของเชื้อ *Nosema* ใช้ทั้งลักษณะทางกายภาพของ *Nosema* สปอร์ และวิเคราะห์ผลด้วย qPCR และศึกษาผลของเชื้อ *N. ceranae* ในผึ้งหลวงวรรณะผึ้งงานภายหลังการติดเชื้อ เป็นระยะเวลา 30 วัน โดยการวัดอัตราการติดเชื้อระหว่างเซลล์ที่ติดเชื่อต่อเซลล์ที่ไม่ติดเชื่อจำนวนร้อยเซลล์, จำนวนสปอร์ต่อผึ้งแต่ละตัว ระดับน้ำตาลทรีฮาโลสในฮีโมลิมพ์ และปริมาณโปรตีนของต่อมไฮโปฟาลิงค์ นอกจากนี้ยังศึกษาผลของการใช้สารสกัดจากธรรมชาติ เช่น สารสกัดพรอพอลิสจากชันโรง และไคโตซาน ต่ออัตราการติดเชื้อ จำนวนสปอร์ในการติดเชื้อ การเพิ่มปริมาณโปรตีนของต่อมไฮโปฟาลิงค์ และระดับของน้ำตาลทรีฮาโลสในฮีโมลิมพ์ของผึ้งหลวงหลังได้รับเชื้อระดับ 1,000,000 สปอร์ต่อตัว พบการติดเชื้อ *Nosema* ผึ้งหลวงทุกพื้นที่ทำการสำรวจ และผลการวิเคราะห์ด้วย qPCR โดยผึ้งที่ติดเชื้อเกือบทั้งหมดเป็นเชื้อ *N. ceranae* มีเพียงตัวอย่างที่เก็บได้ในเขตจังหวัดลำพูนและเชียงใหม่ที่พบทั้ง *N. ceranae* และ *N. apis* นอกจากนี้ยังพบว่าเชื้อที่ระดับความเข้มข้นสูงส่งผลให้ประสิทธิภาพการติดเชื้อและอัตราการติดเชื้อสูงขึ้น และที่น่าสนใจก็คือ สารสกัดพรอพอลิสความเข้มข้นร้อยละ 50 และไคโตซานความเข้มข้น 0.1 ppm ทำให้ประสิทธิภาพการติดเชื้อและอัตราการติดเชื้อลดลงเมื่อเปรียบเทียบกับกลุ่มควบคุม ระดับน้ำตาลทรีฮาโลสในน้ำเลือด ปริมาณโปรตีนในต่อมไฮโปฟาลิงค์ และการรอดชีวิตของผึ้งหลวงเพิ่มขึ้นเมื่อเปรียบเทียบกับกลุ่มที่ไม่ได้รับสารสกัดทั้งสองชนิด ผลการวิจัยแสดงให้เห็นว่าสารสกัดพรอพอลิสจากชันโรง และไคโตซานควรพิจารณาเพื่อเป็นทางเลือกของการใช้สารจากธรรมชาติในการนำมาเป็นส่วนผสมในสูตรอาหาร เพื่อให้ผึ้งในรังมีความสามารถต้านโรคโนซีมา

คำสำคัญ: โนซีมา, ผึ้งหลวง, สารสกัดพรอพอลิส, ไคโตซาน

Abstract

Nosemosis has been reported to impact the colony population of all species of honey bees in Thailand that caused by *Nosema ceranae*, a microsporidian infected honey bee midgut. Its infection also has been reported in *Apis dorsata*, the giant honey bee which produce a large amount of colony products particularly honey. Not only the hive products they provide, this honey bee species also play important role as pollinators for crop and wild plants. We aimed to investigate the prevalence of *Nosema ceranae* in *A. dorsata* throughout Thailand, identify *Nosema* species using qPCR and also evaluate the virulence of *N. ceranae* in *A. dorsata* workers through the experimental infection of caged bees for 30 days. The infection ratios between infected cells to non-infected cells, number of spores per bee (infectivity), trehalose level in haemolymph and protein contents of hypopharyngeal glands were evaluated. Moreover, the use of natural products as propolis extract from stingless bees, *Trigona apicalis*, and Chitosan to control *N. ceranae* infected honey bees, *A. dorsata*, also investigated. The findings showed that, *Nosema* infections of *A. dorsata* were found in all survey areas. The qPCR products of almost bee samples revealed that they were *N. ceranae*. However, only samples collected from two regions which were Lampoon province and Chiang Mai province were found both *N. ceranae* and *N. apis*. It was shown that increasing doses of *Nosema* caused increasing infection ratio and infectivity. Interestingly, bee treated with 50% propolis extract from stingless bee and 0.1 ppm chitosan had lower infection ratios and infectivities compared to those of others. In addition, chitosan treated bees had significantly higher trehalose levels in haemolymph, hypopharyngeal gland protein contents, and higher survival compared to those of untreated bees. The results indicate that propolis extract and chitosan could therefore be considered as a possible viable alternative way for the control of Nosemosis to improve bee health and help the beekeepers to formulate propolis and chitosan feeding for colonies of honeybees in Thailand.

Keyword: *Apis dorsata*, Chitosan, *Nosema ceranae*, propolis

สารบัญเรื่อง

เรื่อง	หน้า
กิตติกรรมประกาศ.....	ก
บทคัดย่อ.....	ข
Abstract.....	ค
สารบัญเรื่อง.....	ง
สารบัญตาราง.....	จ
สารบัญภาพ.....	ช
บทที่ ๑ บทนำ (Introduction).....	1
๑.๑ ความสำคัญและที่มาของปัญหา.....	1
๑.๒ ขอบเขตการวิจัย.....	3
๑.๓ วัตถุประสงค์ของโครงการ.....	4
๑.๔ ประโยชน์ที่คาดว่าจะได้รับ.....	4
บทที่ ๒ บททบทวนวรรณกรรม (Literature Reviews).....	5
๒.๑ เชื้อโนซีมา.....	5
๒.๒ วงชีวิตและการแพร่เชื้อของโนซีมา.....	8
๒.๓ ผลกระทบของเชื้อโนซีมาต่อผึ้ง.....	10
๒.๔ ต่อมไฮโปฟาริงค์.....	12
๒.๕ ทางเดินอาหารของผึ้ง.....	14
๒.๖ ผึ้งหลวง (<i>Apis dorsata</i> Fabricius, 1793).....	16
๒.๗ พรอพอลิส.....	19
บทที่ ๓ วิธีดำเนินการวิจัย (Materials and Methods).....	22
๓.๑ วัสดุอุปกรณ์ สารเคมี.....	22
๓.๒ ตัวอย่างที่ใช้ทดลอง.....	25
๓.๓ บริเวณที่ศึกษา.....	25
๓.๔ วิธีการดำเนินการวิจัย.....	26
บทที่ ๔ ผลการศึกษา (Results).....	40
บทที่ ๕ สรุปและอภิปรายผลการทดลอง (Conclusions and Discussions).....	61
บรรณานุกรม.....	74
ภาคผนวก.....	79
ประวัตินักวิจัยและคณะ พร้อมหน่วยงานสังกัด.....	89

สารบัญตาราง

เรื่อง	หน้า
ตารางที่ ๓.๑ แสดงพิกัดภูมิศาสตร์ บริเวณที่เก็บตัวอย่างฝิ่งหลวงเพื่อตรวจสอบการติดเชื้อ <i>Nosema</i> spp.....	25
ตารางที่ ๔.๑ พิกัดที่เก็บตัวอย่างฝิ่งหลวงจากภาคต่าง ๆ ของประเทศไทย.....	41
ตารางที่ ๔.๒ ผลการตรวจการติดเชื้อ <i>Nosema</i> จากทางเดินอาหารส่วนกลางของฝิ่งหลวง (<i>A. dorsata</i>) จำนวน ๑๙ ตัว ภายใต้กล้องจุลทรรศน์แบบใช้แสง จากรังที่แจ้ซ็อน จังหวัดลำปาง.....	41
ตารางที่ ๔.๓ ผลการตรวจการติดเชื้อ <i>Nosema</i> จากทางเดินอาหารส่วนกลางของฝิ่งหลวง (<i>A. dorsata</i>) จำนวน ๑๓ ตัว ภายใต้กล้องจุลทรรศน์แบบใช้แสง จากรังที่เขายี่ใหญ่ จังหวัดนครราชสีมา.....	42
ตารางที่ ๔.๔ ผลการตรวจการติดเชื้อ <i>Nosema</i> จากทางเดินอาหารส่วนกลางของฝิ่งหลวง (<i>A. dorsata</i>) จำนวน ๒๘ ตัว ภายใต้กล้องจุลทรรศน์แบบใช้แสง จากรังที่เวียงโกศัย จังหวัดแพร่.....	42
ตารางที่ ๔.๕ ผลการตรวจการติดเชื้อ <i>Nosema</i> จากทางเดินอาหารส่วนกลางของฝิ่งหลวง (<i>A. dorsata</i>) จำนวน ๕๐ ตัว ภายใต้กล้องจุลทรรศน์แบบใช้แสง จากรังที่บ้านขาม จังหวัดลำปาง.....	43
ตารางที่ ๔.๖ ผลการตรวจการติดเชื้อ <i>Nosema</i> จากทางเดินอาหารส่วนกลางของฝิ่งหลวง (<i>A. dorsata</i>) จำนวน ๕๐ ตัว ภายใต้กล้องจุลทรรศน์แบบใช้แสง จากรังที่ดอยขุนตาล จังหวัดลำพูน.....	44
ตารางที่ ๔.๗ ผลการตรวจการติดเชื้อ <i>Nosema</i> จากทางเดินอาหารส่วนกลางของฝิ่งหลวง (<i>A. dorsata</i>) จำนวน ๕๐ ตัว ภายใต้กล้องจุลทรรศน์แบบใช้แสง จากรังที่จังหวัดพัทลุง.....	45
ตารางที่ ๕.๑ สรุปผลการทดลองการศึกษาผล <i>N. ceranae</i> ที่ระดับ 1,000,000 สปอร์ต่อตัว ต่อฝิ่งหลวงวรรณะฝิ่งงาน.....	68
ตารางที่ ๕.๒ สรุปผลการทดลองการศึกษาผลของสารสกัดพอลิเอสความเข้มข้นร้อยละ 50 ต่อฝิ่งหลวงวรรณะฝิ่งงานหลังได้รับเชื้อ <i>N. ceranae</i> ที่ระดับ 1,000,000 สปอร์ต่อตัว.....	69

สารบัญตาราง (ต่อ)

เรื่อง	หน้า
ตารางที่ ๕.๓ สรุปผลการทดลองการศึกษามลของสารละลายโคโตซานความเข้มข้น 0.1 ppm ต่อผึ้งหลวงวรรณะผึ้งงานหลังได้รับเชื้อ <i>N. ceranae</i> ที่ระดับ 1,000,000 สปอร์ต่อตัว.....	70
ตารางที่ ๕.๔ สรุปผลการทดลองการศึกษามลของ <i>N. ceranae</i> ที่ระดับ 200,000 สปอร์ต่อตัว ต่อชนิดและปริมาณของแบคทีเรียในทางเดินอาหารของผึ้งหลวง (<i>A. dorsata</i>) วรรณะผึ้งงาน.....	72

สารบัญภาพ

เรื่อง	หน้า
รูปที่ ๒.๑ ภาพสปอร์ไต้กล้องจุลทรรศน์อิเล็กตรอนแบบส่องผ่าน (transmission electron microscopy, TEM) ของ <i>N. ceranae</i> (A) และ <i>N. apis</i> (B).....	6
รูปที่ ๒.๒ ภาพไต้กล้องจุลทรรศน์แบบใช้แสงของสปอร์ <i>N. neumannii</i> n. sp. (A) ซึ่งมีขนาดเล็กกว่าสปอร์ของ <i>N. ceranae</i> (B) และ <i>N. apis</i> (C). ส่วนภาพ D, E และ F เป็นภาพสปอร์ไต้กล้องจุลทรรศน์อิเล็กตรอนแบบส่องผ่าน (transmission electron microscopy, TEM) ของ <i>N. neumannii</i> n. sp. ประกอบไปด้วย electron dense exospore (Ex) และ electron lucent endospore (En). ขนาดของสปอร์ของ <i>N. neumannii</i> n. sp. ยาว $2.36 \pm 0.14 \mu\text{m}$ กว้าง $1.78 \pm 0.06 \mu\text{m}$	7
รูปที่ ๒.๓ แผนภาพของ microsporidian spore ที่แสดง life cycle ในระยะ merogony และ sporogony ของ <i>Nosema</i> sp.....	9
รูปที่ ๒.๔ วงจรชีวิต (life cycle) ของเชื้อ <i>Nosema</i>	10
รูปที่ ๒.๕ ภาพจากกล้องจุลทรรศน์อิเล็กตรอนแบบส่องกราด (scanning electron microscope, SEM) ของต่อมไฮโปฟาริงค์ (hypopharyngeal gland) ของผึ้งม้าม (<i>Apis andreniformis</i>) วรรณะผึ้งงาน.....	12
รูปที่ ๒.๖ ภาพจากกล้องจุลทรรศน์แบบใช้แสงของต่อมไฮโปฟาริงค์ของผึ้งโพรง ย้อมด้วย PAS.....	13
รูปที่ ๒.๗ ภาพวาดทางเดินอาหารของผึ้งแบ่งออกเป็น 3 ส่วนคือ ทางเดินอาหารส่วนต้น (foregut) ทางเดินอาหารส่วนกลาง (midgut) และทางเดินอาหารส่วนท้าย(hindgut).....	14
รูปที่ ๒.๘ ทางเดินอาหารของผึ้งที่ติดเชื้อ <i>Nosema</i> (ภาพล่าง) และไม่ติดเชื้อ (ภาพบน).....	15
รูปที่ ๒.๙ ผึ้งหลวง (<i>Apis dorsata</i> , giant honey bees).....	16
รูปที่ ๒.๑๐ รังผึ้งหลวง (<i>Apis dorsata</i> , giant honey bees) ห้อยติดฝ้าเพดานของอาคารบ้านเรือน.....	17
รูปที่ ๒.๑๑ รังผึ้งหลวง (<i>Apis dorsata</i> , giant honey bees) ห้อยติดกิ่งไม้ใหญ่บนต้นไม้สูง.....	18
รูปที่ ๒.๑๒ รังผึ้งหลวง (<i>Apis dorsata</i> , giant honey bees) ห้อยติดกับต้นมะพร้าว.....	18

สารบัญญภาพ (ต่อ)

เรื่อง	หน้า
รูปที่ ๒.๑๓ โครงสร้างของสารประเภท flavonoids และ phenolics ที่พบใน green propolis ของผึ้งพันธุ์ (<i>Apis mellifera</i>).....	20
รูปที่ ๒.๑๔ พรอพอลิสบนขอบของรังของผึ้งพันธุ์ (<i>Apis mellifera</i>).....	21
รูปที่ ๓.๑ บริเวณที่เก็บตัวอย่างผึ้งหลวงเพื่อตรวจการติดเชื้อ <i>Nosema</i>	25
รูปที่ ๓.๒ การนับจำนวนสปอร์ <i>N. ceranae</i> โดยใช้ฮีโมไซโตมิเตอร์ (hemocytometer).....	27
รูปที่ ๔.๑ บริเวณที่เก็บตัวอย่างผึ้งหลวงเพื่อตรวจการติดเชื้อ <i>Nosema</i> จากการเพิ่มการสำรวจระยะเวลาช่วงที่ ๓.....	40
รูปที่ ๔.๒ สปอร์ของเชื้อ <i>Nosema</i> แยกออกจากทางเดินอาหารส่วนกลางผึ้งหลวง ภายใต้อกล้องจุลทรรศน์แบบใช้แสง กำลังขยาย 400 เท่า.....	46
รูปที่ ๔.๓ PCR products โดย qPCR ของ Negative control.....	46
รูปที่ ๔.๔ PCR products โดย qPCR ของ Positive control.....	47
รูปที่ ๔.๕ PCR products โดย qPCR ของ <i>N. ceranae</i> ที่พบในทางเดินอาหาร ส่วนกลางของผึ้งหลวง.....	47
รูปที่ ๔.๖ PCR products ของ <i>N. ceranae</i> ที่พบในทางเดินอาหารส่วนกลางของ ผึ้งหลวงจำนวน 12 ตัวอย่าง (B01-B12).....	48
รูปที่ ๔.๗ PCR products ของ <i>N. ceranae</i> ที่พบในทางเดินอาหารส่วนกลางของ ผึ้งหลวงจำนวน 12 ตัวอย่าง (C01-C12).....	48
รูปที่ ๔.๘ PCR products ของ <i>N. ceranae</i> ที่พบในทางเดินอาหารส่วนกลางของ ผึ้งหลวงจำนวน 12 ตัวอย่าง (E01-E12).....	49
รูปที่ ๔.๙ อัตราการรอดชีวิตของ <i>A. dorsata</i> ที่รับเชื้อโนซีมาที่ระดับ 1,000,000 สปอร์ต่อตัว และกลุ่มควบคุม 30 วัน.....	50
รูปที่ ๔.๑๐ ค่าเฉลี่ย (mean± SE) อัตราการติดเชื้อ (infection ratio) ของผึ้งหลวง <i>A. dorsata</i> หลังรับเชื้อ <i>N. ceranae</i> ที่ระดับ 1,000,000 สปอร์ต่อตัว เป็นเวลา 6, 10 และ 14 วัน.....	51
รูปที่ ๔.๑๑ ค่าเฉลี่ย (mean± SE) ระดับน้ำตาลทรีฮาโลสในน้ำเลือดของผึ้งหลวง วรรณะผึ้งงานหลังได้รับเชื้อ <i>N. ceranae</i> ที่ระดับ 1,000,000 สปอร์ต่อตัว เป็นเวลา 6, 10 และ 14 วัน.....	52

สารบัญญภาพ (ต่อ)

เรื่อง	หน้า
รูปที่ ๔.๑๒ ค่าเฉลี่ย (mean± SE) ระดับน้ำตาลทรีฮาโลสในน้ำเลือดของผึ้งหลวง วรรณะผึ้งงานหลังได้รับเชื้อ <i>N. ceranae</i> ที่ระดับ 1,000,000 สปอร์ต่อตัว แล้วให้สารสกัดพอลิฟอสความเข้มข้นร้อยละ 50.....	53
รูปที่ ๔.๑๓ ค่าเฉลี่ย (mean± SE) ระดับน้ำตาลทรีฮาโลสในน้ำเลือดของผึ้งหลวง วรรณะผึ้งงานหลังได้รับเชื้อ <i>N. ceranae</i> ที่ระดับ 1,000,000 สปอร์ต่อตัว แล้วให้สารละลายไคโตซานความเข้มข้น 0.1 ppm.....	54
รูปที่ ๔.๑๔ ค่าเฉลี่ย (mean± SE) ปริมาณโปรตีนของต่อมไฮโปฟาริงค์ของผึ้งหลวง วรรณะผึ้งงานหลังได้รับเชื้อ <i>N. ceranae</i> ที่ระดับ 1,000,000 สปอร์ต่อ เป็นเวลา 6, 10 และ 14 วัน.....	56
รูปที่ ๔.๑๕ ค่าเฉลี่ย (mean± SE) ปริมาณโปรตีนของต่อมไฮโปฟาริงค์ของผึ้งหลวง วรรณะผึ้งงานหลังได้รับเชื้อ <i>N. ceranae</i> ที่ระดับ 1,000,000 สปอร์ต่อตัว แล้วให้สารสกัดพอลิฟอสความเข้มข้นร้อยละ 50.....	57
รูปที่ ๔.๑๖ ค่าเฉลี่ย (mean± SE) ปริมาณโปรตีนของต่อมไฮโปฟาริงค์ของผึ้งหลวง วรรณะผึ้งงานหลังได้รับเชื้อ <i>N. ceranae</i> ที่ระดับ 1,000,000 สปอร์ต่อตัว แล้วให้สารละลายไคโตซานความเข้มข้น 0.1 ppm.....	58
รูปที่ ๔.๑๗ เนื้อเยื่อบุผิวของทางเดินอาหารส่วนกลางของผึ้งหลวงวรรณะผึ้งงาน ที่ได้รับเชื้อ <i>N. ceranae</i> ที่ระดับ 1,000,000 สปอร์ต่อตัว หลังป้อนเชื้อ 6 วัน ย้อมด้วยสี PAS ส่องภายใต้กล้องจุลทรรศน์แบบใช้แสงกำลังขยาย 400 เท่า.....	59
รูปที่ ๔.๑๘ เนื้อเยื่อบุผิวของทางเดินอาหารส่วนกลางของผึ้งหลวงวรรณะผึ้งงาน ที่ได้รับเชื้อ <i>N. ceranae</i> ที่ระดับ 1,000,000 สปอร์ต่อตัว หลังป้อนเชื้อ 6 วัน ย้อมด้วยสี PAS ส่องภายใต้กล้องจุลทรรศน์แบบใช้แสงกำลังขยาย 1,000 เท่า.....	60
รูปที่ ๔.๑๙ เนื้อเยื่อบุผิวของทางเดินอาหารส่วนกลางของผึ้งหลวงวรรณะผึ้งงาน ที่ได้รับเชื้อ <i>N. ceranae</i> ที่ระดับ 1,000,000 สปอร์ต่อตัว หลังป้อนเชื้อ 10 วัน ย้อมด้วยสี PAS ส่องภายใต้กล้องจุลทรรศน์แบบใช้แสงกำลังขยาย 400 เท่า.....	60

สารบัญญภาพ (ต่อ)

เรื่อง	หน้า
รูปที่ ๔.๒๐ เนื้อเยื่อบุผิวของทางเดินอาหารส่วนกลางของผึ้งหลวงวรรณะผึ้งงานที่ได้รับเชื้อ <i>N. ceranae</i> ที่ระดับ 1,000,000 สปอร์ต่อตัว หลังป้อนเชื้อ 10 วัน ย้อมด้วยสี PAS ส่องภายใต้กล้องจุลทรรศน์แบบใช้แสงกำลังขยาย 1,000 เท่า.....	61
รูปที่ ๔.๒๑ เนื้อเยื่อบุผิวของทางเดินอาหารส่วนกลางของผึ้งหลวงวรรณะผึ้งงานที่ได้รับเชื้อ <i>N. ceranae</i> ที่ระดับ 1,000,000 สปอร์ต่อตัว หลังป้อนเชื้อ 14 วัน ย้อมด้วยสี PAS ส่องภายใต้กล้องจุลทรรศน์แบบใช้แสงกำลังขยาย 400 เท่า.....	61
รูปที่ ๔.๒๒ เนื้อเยื่อบุผิวของทางเดินอาหารส่วนกลางของผึ้งหลวงวรรณะผึ้งงานที่ได้รับเชื้อ <i>N. ceranae</i> ที่ระดับ 1,000,000 สปอร์ต่อตัว หลังป้อนเชื้อ 14 วัน ย้อมด้วยสี PAS ส่องภายใต้กล้องจุลทรรศน์แบบใช้แสงกำลังขยาย 1,000 เท่า.....	62
รูปที่ ๔.๒๓ ลักษณะโคโลนีชนิดที่ 1 ที่แยกได้ทางเดินอาหารของผึ้งวรรณะผึ้งงาน.....	63
รูปที่ ๔.๒๔ ลักษณะรูปร่างของเซลล์แบคทีเรียชนิดที่ 1 ที่แยกได้ทางเดินอาหารของผึ้งวรรณะผึ้งงานที่ย้อมสีด้วยวิธี Gram stain.....	63
รูปที่ ๔.๒๕ ลักษณะโคโลนีชนิดที่ 2 ที่แยกได้ทางเดินอาหารของผึ้งวรรณะผึ้งงาน.....	64
รูปที่ ๔.๒๖ ลักษณะรูปร่างของเซลล์แบคทีเรียชนิดที่ 2 ที่แยกได้ทางเดินอาหารของผึ้งวรรณะผึ้งงานที่ย้อมสีด้วยวิธี Gram stain.....	64
รูปที่ ๔.๒๗ ค่าเฉลี่ย (Mean \pm S.E.) ของ <i>Bifidobacterium</i> sp. ที่แยกได้ทางเดินอาหารของผึ้งหลวง (<i>A. dorsata</i>) วรรณะผึ้งงานหลังจากได้รับเชื้อ <i>N. ceranae</i> ที่ระดับ 200,000 สปอร์ต่อตัว เป็นเวลา 5 วัน และ 10 วัน เปรียบเทียบกับกลุ่มที่ไม่ได้รับเชื้อ (กลุ่มควบคุม).....	65
รูปที่ ๔.๒๘ ค่าเฉลี่ย (Mean \pm S.E.) ของ <i>L. kunkeei</i> ที่แยกได้ทางเดินอาหารของผึ้งหลวง (<i>A. dorsata</i>) วรรณะผึ้งงานหลังจากได้รับเชื้อ <i>N. ceranae</i> ที่ระดับ 200,000 สปอร์ต่อตัว เป็นเวลา 5 วัน และ 10 วัน เปรียบเทียบกับกลุ่มที่ไม่ได้รับเชื้อ (กลุ่มควบคุม).....	66
รูปที่ ๕.๑ บริเวณที่เก็บตัวอย่างผึ้งหลวงและตรวจพบการติดเชื้อ <i>Nosema</i> จากการเพิ่มการสำรวจระยะเวลาช่วงที่ ๓.....	67

บทที่ ๑

บทนำ

(Introduction)

๑.๑ ความสำคัญและที่มาของปัญหา (Research Rationale)

ผึ้งหลวง (*Apis dorsata*) เป็นผึ้งพื้นเมืองของประเทศไทยที่มีขนาดลำตัวและรังขนาดใหญ่ที่สุด ให้น้ำผึ้งและผลิตภัณฑ์ผึ้งที่เป็นประโยชน์ นอกจากนี้ยังทำหน้าที่สำคัญต่อระบบนิเวศน์เนื่องจากทำหน้าที่ผสมเกสรให้พืชชนิดต่าง ๆ มากกว่า 59 ชนิด โดยเฉพาะพืชอาหารหลัก (crop plants) ของประเทศไทย (Suwannapong, Maksong, Yemor, Junsuri, & Benbow, 2013) และประเทศอื่นในภูมิภาคเอเชีย (Baker, Cruden, & Baker, 1971; McGregor, 1976) แต่ในปัจจุบันจำนวนประชากรของรังผึ้งหลวงลดจำนวนลงอย่างมาก เนื่องจากหลายสาเหตุ เช่น การขาดแคลนที่อยู่อาศัย เนื่องจากการตัดไม้ทำลายป่าซึ่งเป็นถิ่นที่อยู่อาศัย ทำรังและแหล่งอาหารของผึ้งหลวง การถูกล่าจากมนุษย์ (bee hunter) เพื่อเอาน้ำผึ้งเนื่องจากเป็นผึ้งที่มีรังขนาดใหญ่ ให้น้ำผึ้งปริมาณมาก รวมทั้งผลิตภัณฑ์ผึ้งชนิดอื่นที่มนุษย์ต้องการ การเก็บน้ำหวานหรือเกสรที่มีการปนเปื้อนของสารฆ่าแมลงและสารกำจัดศัตรูพืช รวมทั้งเชื้อโรค ที่ทำให้ผึ้งตาย ที่สำคัญที่พบระบาดมากทั่วโลกในผึ้งพันธุ์ (*A. mellifera*) ได้แก่ โรคโนซีมา ซึ่งพบรายงานการติดเชื้อชนิดนี้ในผึ้งพื้นเมืองของประเทศไทยด้วยเช่นกัน (Peters, Suwannapong, Pelin, & Corradi, 2018; Suwannapong, Maksong, Phainchajoen, Benbow, & Mayack, 2018; Suwannapong, Maksong, Seanbualuang, & Benbow, 2010; Suwannapong, Yemor, Boonpakdee, & Benbow, 2011; Yemor, Phiancharoen, Eric Benbow, & Suwannapong, 2015) ซึ่งโรคโนซีมา เป็นสาเหตุให้ผึ้งท้องร่วงและตายในที่สุด ซึ่งปัจจุบันมีการระบาดไปทั่วโลก รวมทั้งประเทศไทยเรา โรคโนซีมา เกิดจากการที่ผึ้งติดเชื้อ 2 ชนิดคือ *Nosema apis* และ *N. ceranae* เป็นปรสิตภายในเซลล์ที่ก่อความเสียหายอย่างรุนแรงในผึ้งงานระยะตัวเต็มวัยที่พบการระบาดอยู่ทั่วโลก โดยมีรายงานว่าก่อให้เกิดความเสียหายอย่างเห็นได้ชัดกับผึ้งที่มีการติดเชื้อ โดยทำให้ผึ้งท้องเสียอย่างรุนแรง มีอายุสั้นลง ส่งผลต่อพฤติกรรมต่างๆ ภายในรังผึ้ง เช่น การหาอาหารลดลง การเลี้ยงดูตัวอ่อนลดลงเนื่องจากผลิตนมผึ้ง (royal jelly) ได้น้อยลง ตลอดจนการวางไข่ของนางพญา ซึ่งลดจำนวนหรือหยุดวางไข่ เป็นต้น ซึ่งลักษณะต่าง ๆ เหล่านี้เป็นสาเหตุทำให้ จำนวนประชากรของผึ้งภายในรังลดลง ส่งผลให้ได้ผลิตภัณฑ์ผึ้ง (bee products) ลดลง และที่สำคัญทำให้ประชากรของแมลงที่ทำหน้าที่ถ่ายละอองเกสร (pollinators) ลดจำนวนลงด้วย ผลพวงตามาคือ พืชผลทางการเกษตรที่ต้องการผึ้งเป็นแมลงถ่ายละอองเกสรให้ผลผลิตต่ำลง นอกจากนี้ ยังไม่มีการรายงานการศึกษาการระบาดของเชื้อ *Nosema* ทั้งสองชนิดต่อผึ้งหลวง ในประเทศไทยและในโลก ดังนั้นการศึกษาสำรวจการแพร่กระจาย การ

แยกชนิดสายพันธุ์และการติดเชื้อโนซีมาในผึ้งแต่ละชนิดที่มีในประเทศไทย จะเป็นข้อมูลที่สำคัญ ต่ออุตสาหกรรมเลี้ยงผึ้ง การอนุรักษ์ผึ้งพันธุ์พื้นเมืองที่นับวันลดน้อยลงเนื่องจากปัญหาการใช้สารเคมีตลอดจน การนำไปประยุกต์ใช้เป็นข้อมูลโรคของแมลงกลุ่มอื่น ๆ ที่ใกล้เคียงผึ้ง เช่นผีเสื้อหนอนไหมที่เลี้ยงเป็นอุตสาหกรรมและแมลงอื่น ๆ ที่มีรายงานการระบาดของเชื้อ *Nosema* นอกจากนี้โรคชนิดนี้ยังเป็นโรคที่นักวิทยาศาสตร์ทั่วโลกมีความตื่นตัวและให้ความสำคัญในการศึกษาวิจัยเกี่ยวกับ *Nosema* มากเนื่องจาก เชื่อกันว่าเชื้อชนิดนี้ อาจเป็นสาเหตุหนึ่งที่ทำให้เกิด CCD (colony collapse disorder) ซึ่งเป็นปรากฏการณ์ที่ประชากรของผึ้งหายไปจากรัง จำนวนมาก ทำให้ประชากรภายในรังลดลงอย่างกะทันหัน โดยไม่ทราบสาเหตุ ประกอบกับข้อมูลรายงานการติดเชื้อข้ามสายพันธุ์ผึ้ง (*Apis mellifera*) ระหว่างเชื้อ *N. apis* ซึ่งเดิมพบในผึ้งพันธุ์ สามารถเข้าไประบาดในผึ้งโพรง (*A. cerana*) และในทางกลับกัน *N. ceranae* ซึ่งเดิมพบเป็นเชื้อที่ระบาดในผึ้งโพรง สามารถเข้าไประบาดในเซลล์ของผึ้งพันธุ์ได้เช่นกันและก่อให้เกิดความเสียหายกับเซลล์ และประชากรโดยรวมของผึ้งภายในรังมากกว่า *N. apis* อย่างชัดเจน ทำให้นักวิจัยผึ้งทั่วโลก รวมทั้งเกษตรกรผู้เลี้ยงผึ้งมีความกังวล เกี่ยวกับการระบาดของเชื้อ *N. ceranae* ที่อาจทำให้ประชากรของผึ้งพันธุ์เสียหายจำนวนมากหรืออาจส่งผลให้ประชากรของผึ้งชนิดดังกล่าวในฟาร์มหายไปจนไม่สามารถนำไปใช้ในถ่ายละอองเกสรในสวนผลไม้หรือพืชที่ต้องการผึ้งชนิดนี้ถ่ายละอองเกสรได้ ประกอบกับผึ้งพันธุ์เป็นผึ้งที่ใช้เลี้ยงในอุตสาหกรรมการเลี้ยงผึ้งทั่วโลก ดังนั้นการศึกษาวินิจฉัยเกี่ยวกับโรคที่เกิดจากเชื้อ *Nosema* จึงเป็นที่สนใจในศึกษากันมากทั่วโลก ดังนั้นหากมีการระบาดข้ามสายพันธุ์ผึ้ง จากผึ้งโพรง ผึ้งพันธุ์ ผึ้งมิม ไปสู่ผึ้งหลวง เนื่องจากผึ้งเหล่านี้ใช้แหล่งอาหารจากพืชอาหารผึ้งร่วมกัน อาจส่งผลต่อประชากรผึ้งหลวงได้เช่นกัน ส่งผลให้ จำนวนแมลงถ่ายละอองเรณู อาจลดลงอย่างมาก ส่งผลต่อผลผลิตทางการเกษตร และต่อระบบนิเวศน์ ที่เสียสมดุลไป

นอกจากนี้มียางานเกี่ยวกับผึ้งที่ได้รับเชื้อ *Nosema* จะทำให้ผึ้งมีสภาวะเครียดในเรื่องของสารอาหารพลังงานในเซลล์ (energetic stress) โดย Mayack and Naug (2009) ได้รายงานว่ามีผึ้ง *A. mellifera* ได้รับเชื้อ *N. ceranae* จะทำให้ระดับน้ำตาลทรีฮาโลส (trehalose) ในเลือดต่ำลง ส่งผลให้ผึ้งแสดงพฤติกรรมการบิน proboscis มากขึ้น เนื่องจากความหิว ซึ่งเนื่องมาจากทางเดินอาหารส่วนกลางโดนทำลาย กระทบต่อการย่อยอาหารทำให้ได้สารอาหารไม่เพียงพอ (Mayack & Naug, 2009, 2010, 2013) ดังนั้นผู้วิจัยจึงสนใจที่จะศึกษา ระดับน้ำตาล trehalose ใน haemolymph ของผึ้งที่ได้รับการติดเชื้อ *N. ceranae* เมื่อผึ้งได้รับเชื้อในปริมาณต่าง ๆ และที่อุณหภูมิต่าง ๆ ด้วย เนื่องจาก มีรายงานว่า *N. ceranae* ทนต่ออุณหภูมิที่สูงได้ดีกว่าอุณหภูมิต่ำ ได้ดีกว่า *N. apis* อย่างไรก็ตามถ้าหากอุณหภูมิสูงเกิน 33 องศาเซลเซียสจะทำให้อัตราการรอดชีวิตต่ำลงเมื่อเก็บเชื้อไว้เป็นเวลานาน (Sanchez Collado, Higes, Barrio, & Martin-Hernandez, 2014) จึงเป็นที่น่าสนใจศึกษาเป็นอย่างยิ่งว่าเมื่อเพิ่มอุณหภูมิถึงระดับหนึ่ง ที่ไม่ส่งผลกระทบต่อผึ้ง

แต่อาจสามารถทำลายเชื้อชนิดนี้ได้ ผลการศึกษาที่ได้จะเป็นประโยชน์ต่อการควบคุมและเป็นแนวทางในการกำจัดเชื้อชนิดนี้ได้

การศึกษาการติดเชื้อโนซีมาที่ทางเดินอาหารส่วนกลาง (midgut) ของผึ้งหลวง มีความสำคัญมากเช่นเดียวกัน เนื่องจากมีรายงานการติดเชื้อในทางเดินอาหารส่วนกลางในผึ้งพันธุ์และผึ้งชนิดอื่นที่ถือเป็นผึ้งพื้นเมืองของไทย โดยผึ้งที่ได้รับเชื้อปริมาณมาก ๆ จะเกิดอาการท้องร่วงและตายในที่สุด มีกลิ่นเน่าเหม็น เนื่องจากเมื่อเชื้อเข้าสู่ร่างกายจะเข้าไปเจริญและแพร่พันธุ์ในทางเดินอาหารส่วนกลาง ทำให้เซลล์เยื่อบุทางเดินอาหารส่วนกลางเสียหาย ไม่สามารถผลิตเอ็นไซม์ และย่อยอาหารได้ ผลทำให้อาหารที่ผึ้งกินเข้าไปไม่สามารถย่อยได้ โดยเฉพาะอาหารพวกโปรตีนที่ผึ้งได้จากการกินเกสรของดอกไม้ (pollen grains) นอกจากนี้พฤติกรรมการหาอาหารของผึ้งเป็นปัจจัยหนึ่งที่มีความสำคัญต่อการแพร่กระจายและรับเชื้อ *Nosema* เนื่องจากผึ้งที่อาศัยอยู่ในบริเวณใกล้กันที่มีอาณาเขตในการหาอาหารทับซ้อนกัน ผึ้งมักมีการใช้แหล่งอาหารเหล่านี้ร่วมกัน ดังนั้นผึ้งงานหาอาหารที่มีเชื้อ *Nosema* มีโอกาสปล่อยเชื้อไปตามแหล่งอาหารต่าง ๆ ขณะหาอาหาร ทำให้สปอร์ของเชื้อสามารถแพร่ไปยังผึ้งจากรังอื่น ๆ หรือผึ้งชนิดอื่น ๆ ที่มาหาอาหารในดอกไม้ดอกเดียวกันหรือแหล่งอาหารอื่นที่ใช้ร่วมกันได้ การศึกษาวิจัยครั้งนี้ต้องการศึกษาอัตราการติดเชื้อโนซีมาของผึ้งชนิดนี้ เมื่อให้เชื้อในระดับที่กำหนดระดับต่าง ๆ โดยอาศัยข้อมูลพื้นฐานจากรายงานการศึกษาในผึ้งชนิดอื่นของประเทศไทย ระยะเวลาที่เมื่อผึ้งได้รับเชื้อจนกระทั่งผึ้งตาย และเปรียบเทียบความแตกต่างระหว่างอัตราการติดเชื้อ *N. ceranae* เมื่อผึ้งได้รับ เชื้อปริมาณต่าง ๆ และเลี้ยงที่อุณหภูมิต่าง ๆ ในห้องปฏิบัติการ ตรวจวัด อัตราการตาย การติดเชื้อ ระดับน้ำตาล trehalose ใน haemolymph วัดปริมาณโปรตีนจากต่อมไฮโปฟาริงค์ (hypopharyngeal glands) ระหว่างผึ้งกลุ่มที่ได้รับเชื้อ กับกลุ่มที่ไม่ได้รับเชื้อ และเปรียบเทียบผึ้งที่ได้รับสารสกัดพรอพอริสจากชันโรง (*Trigona apicalis*) กับผึ้งที่ไม่ได้รับสารสกัดพรอพอริสจากชันโรง

๑.๒ ขอบเขตการวิจัย (Scope of the study)

ศึกษาผลของสารสกัดพรอพอริสจากชันโรงอัตราการติดเชื้อของผึ้งงานอายุ 1 วัน ของผึ้งหลวง (*A. dorsata*) เมื่อให้เชื้อ *N. ceranae* ทางปาก ความเข้มข้น 0.5×10^6 สปอร์ต่อตัว โดยละลายในสารละลาย 50% ซูโครส ที่เลี้ยงในห้องปฏิบัติการที่ควบคุม ความชื้นและอุณหภูมิที่เหมาะสม วัดผลจากร้อยละของการติดเชื้อ (infection ratio) โดยนับจำนวนผึ้งที่ติดเชื้อ (infected bees) กับผึ้งที่ไม่ติดเชื้อ (non infected bees) และนับจำนวนสปอร์ในผึ้งแต่ละตัวที่ตายในแต่ละวัน โดยใช้ Haemocytometer

ศึกษาอัตราการตาย (bee mortality) และร้อยละของการติดเชื้อของเซลล์ (infected cells) กับเซลล์ที่ไม่ติดเชื้อ (non infected cells) ของเซลล์เยื่อทางเดินอาหารส่วนกลางและเซลล์ของต่อมไฮโปฟาริงค์ของผึ้ง ตลอดจนศึกษาการเปลี่ยนแปลงโครงสร้างของเซลล์ของต่อมไฮโปฟาริงค์ (hypopharyngeal glands) และเยื่อผิวของทางเดินอาหารส่วนกลาง (midgut) เมื่อได้รับเชื้อความเข้มข้น 0.5×10^6 สปอร์ต่อตัว ภายใต้กล้องจุลทรรศน์แบบใช้แสง (LM) ตลอดจนศึกษา การเปลี่ยนแปลงระดับน้ำตาล trehalose ใน haemolymph, ระดับเอนไซม์ protease ในทางเดินอาหารส่วนกลาง และต่อการสร้างโปรตีนในนมผึ้งของผึ้งหลวง วรรณะผึ้งงาน

๑.๓ วัตถุประสงค์ของโครงการ

ศึกษาการระบาดของเชื้อ *N. ceranae* ในผึ้งหลวง (*A. dorsata*) ในประเทศไทย และความรุนแรงของโรคในห้วงปฏิบัติการ รวมทั้งผลของสารสกัดพรอพอลิส (propolis) จากชันโรง (stingless bee) ชนิด *Trigona apicalis* ต่ออัตราการติดเชื้อ *N. ceranae* ความเข้มข้น 0.5×10^6 สปอร์ต่อตัว ของเซลล์เยื่อทางเดินอาหารส่วนกลาง (midgut) ของผึ้ง อัตราการตาย อัตราการติดเชื้อ การเปลี่ยนแปลงระดับน้ำตาล trehalose ใน haemolymph, ระดับเอนไซม์ protease ในทางเดินอาหารส่วนกลาง และต่อการสร้างโปรตีนในนมผึ้งของผึ้งหลวง วรรณะผึ้งงาน ของผึ้งหลวง

๑.๔ ประโยชน์ที่คาดว่าจะได้รับ

จะเห็นได้ว่าการระบาดของเชื้อ *Nosema* นี้ส่งผลให้เกิดความเสียหายหลายด้าน เช่น ทางเศรษฐกิจ อย่างเห็นได้ชัดเนื่องจากเป็นสาเหตุหลักในการทำให้ประชากรผึ้งลดจำนวนลง และไม่มีคุณภาพ นอกจากนี้ยังส่งผลเสียหายต่อระบบนิเวศน์โดยรวม ทำให้การแพร่พันธุ์ของพืชบางกลุ่มลดลง เป็นต้น ดังนั้นข้อมูลที่ได้จากการศึกษาครั้งนี้ จะเป็นประโยชน์ต่อผู้เลี้ยงผึ้งและนักวิทยาศาสตร์ที่ทำงานวิจัยเกี่ยวกับผึ้งและชีววิทยาของผึ้ง เพื่อเป็นข้อมูลในการศึกษาและหาวิธีการป้องกันกำจัดที่เหมาะสมต่อไป

บทที่ ๒

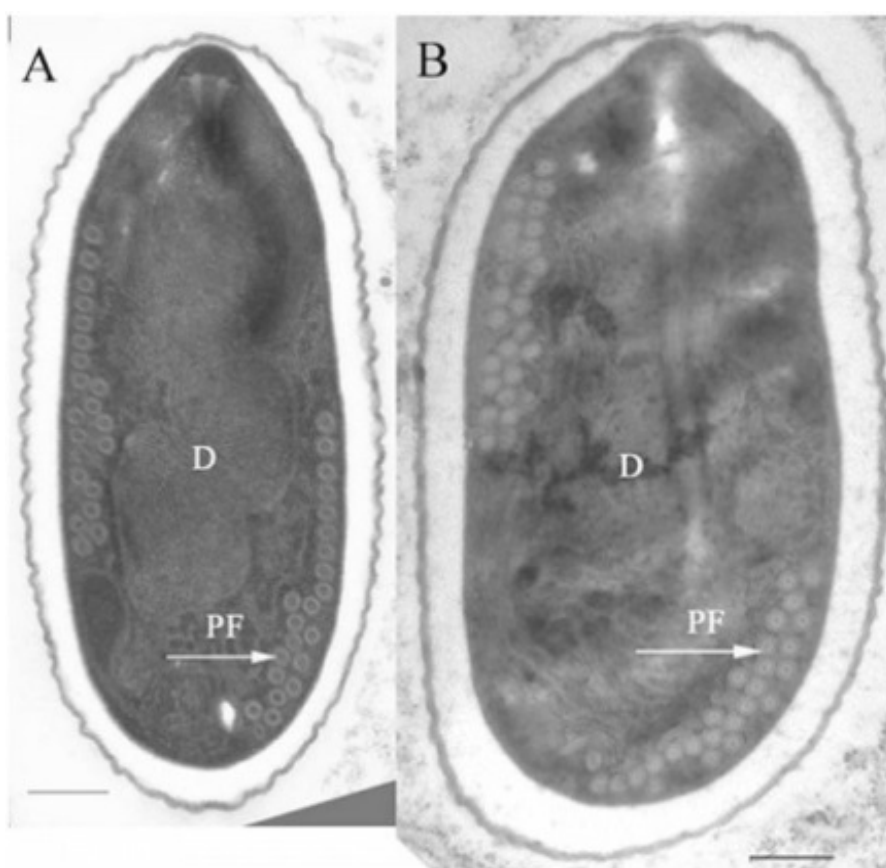
บทบทวนวรรณกรรม (Literature Reviews)

๒.๑ เชื้อโนซีมา (*Nosema*)

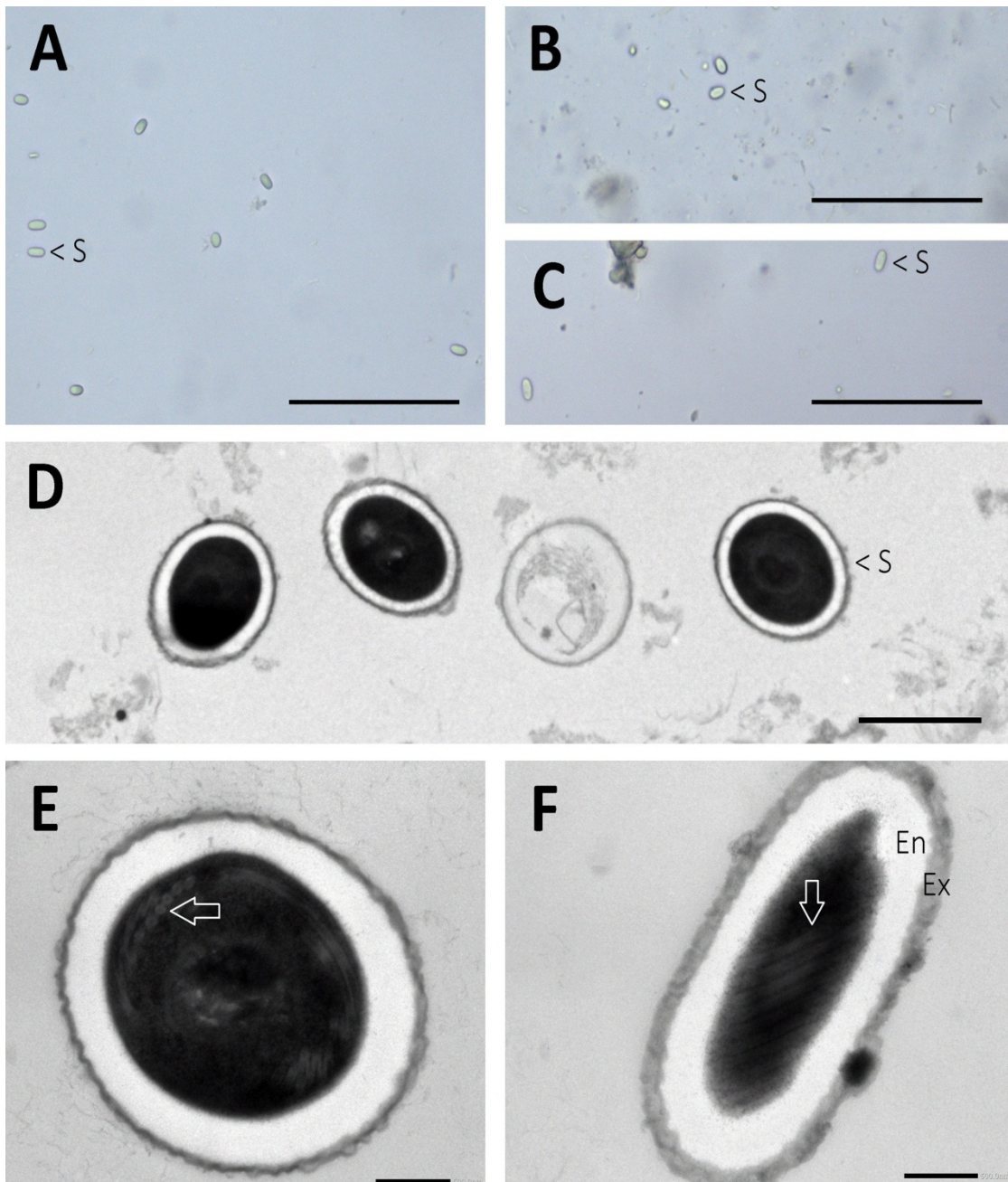
Nosema จัดเป็น Microsporidia ซึ่งถือเป็นปรสิตภายในเซลล์กลุ่มใหญ่ที่แพร่กระจายอยู่ในธรรมชาติและพบได้ทั่วโลก (Andrew Matheson, 1996) ซึ่งปัจจุบันมีมากกว่า 150 ชนิด (species) เป็นเชื้อที่ก่อให้เกิดโรคในสัตว์ที่ไม่มีกระดูกสันหลัง (invertebrates) รวมถึงแมลง (insects) อย่างน้อย 12 อันดับ (orders) มักจะพบบ่อยในแมลงที่อยู่ในอันดับ Lepidoptera และ Hymenoptera (Higes, Garcia-Palencia, Martin-Hernandez, & Meana, 2007) โดยก่อให้เกิดโรคที่มีชื่อว่า **Nosema disease** (Bailey & Ball, 1991; Fries, 1989) เชื้อชนิดนี้จะทำให้ระบบทางเดินอาหารส่วนกลางของเจ้าบ้าน (hosts) เสียหาย ทำให้เกิดอาการท้องร่วงและ เชื้อมีความสามารถต้านทานต่อระบบภูมิคุ้มกันของตัวเจ้าบ้านที่เชื้อเข้าไปอาศัยอยู่ (de Graaf, Sittig, & Denier van der Gon, 1994; Fries, Martín, Meana, García-Palencia, & Higes, 2006) สำหรับ *Nosema* ที่ก่อให้เกิดโรคในผึ้ง (honeybees) ที่รายงานมี 3 ชนิด คือ *N. apis* (Zander, 1909) *N. ceranae* (Fries, Feng, da Silva, Slemenda, & Pieniazek, 1996) และ *N. neumannii* n. sp. (Chemurot, De Smet, Brunain, De Rycke, & de Graaf, 2017) โดย *N. apis* เป็นปรสิตในผึ้งพันธุ์ (*Apis mellifera*) ซึ่งเป็นผึ้งพื้นเมืองของยุโรปปัจจุบันถูกนำมาเลี้ยงเป็นอุตสาหกรรมทั่วโลก ถูกค้นพบครั้งแรกโดย Zander ในปี 1909 ในผึ้งพันธุ์ โดยเชื้อชนิดนี้จะติดเชื้อในเนื้อเยื่อผิวของทางเดินอาหารส่วนกลาง (midgut) ของผึ้งงานตัวเต็มวัยเป็นสาเหตุทำให้ระบบย่อยอาหารผิดปกติ อาหารไม่ย่อยและเกิดอาการท้องเสียทำให้ผึ้งมีอายุสั้นและส่งผลให้จำนวนประชากรภายในรังลดลงอย่างรวดเร็ว (Anderson & Giacon, 1992; Hassanein, 1953; Higes et al., 2007; Rinderer & Dell Elliott, 1977) ในอดีตพบโรคโนซีมาเฉพาะในยุโรปและเกิดจากเชื้อ *N. apis* เท่านั้น (Chen, Evans, Smith, & Pettis, 2008; Ellis & Munn, 2005) ต่อมาได้มีผู้ศึกษาพบว่าโรคโนซีมามีการระบาดทั้งในภูมิภาคเอเชียและยุโรป โดยพบ *Nosema* ในผึ้งโพรง (*A. cerana*) ซึ่งเกิดจากเชื้อ *N. ceranae* ถูกค้นพบครั้งแรกโดย Fries และคณะ ในปี 1996 (Fries et al., 1996; Fries et al., 2006) และในปี ค.ศ. 2017 มีการค้นพบเชื้อโนซีมาสายพันธุ์ใหม่คือ *N. neumannii* n. sp. ถูกพบครั้งแรกในผึ้งพันธุ์ในสาธารณรัฐยูกันดา โดย Chemurot และคณะ

ซึ่งเชื้อทั้งสามชนิดนี้มีความแตกต่างกันหลายประการเช่น SSUrRNA sequences (โดยใช้เทคนิค PCR เพื่อแยกความแตกต่างของ 16S rRNA ของทั้งสามชนิด (Chemurot et al., 2017; Chen et al., 2008; Fries et al., 1996; Fries et al., 2006; Huang, Jiang, Chen, & Wang,

2007; Williams, Shafer, Rogers, Shutler, & Stewart, 2008) ขนาดของสปอร์เมื่อส่องใต้กล้อง transmission electron microscopy (TEM) พบว่าสปอร์ของ *N. neumannii* n. sp. ยาว $2.36 \pm 0.14 \mu\text{m}$ และกว้าง $1.78 \pm 0.06 \mu\text{m}$ ซึ่งมีขนาดเล็กกว่า *N. ceranae* และ *N. apis* (Chemurot et al., 2017; Williams et al., 2008) จำนวน polar filament coils ของ *N. ceranae* มีจำนวน 20-23 filaments, *N. apis* มีจำนวน 30-44 filaments (Fries, 1989) และ *N. neumannii* n. sp. มีจำนวน 10-12 (รูปที่ ๒.๑-๒.๒) filaments (Chemurot et al., 2017) โดยเชื้อชนิดนี้เข้าไปติดและทำความเสียหายบริเวณกระเพาะอาหาร (ventriculus) ของผึ้งโพรง ทำให้บริเวณดังกล่าวมีลักษณะสีขาวขุ่นและบวมโป่งออก (Fries et al., 1996) นอกจากนี้มีรายงานการแพร่กระจายของเชื้อ *N. ceranae* จากผึ้งโพรง (*A. cerana*) สู่มดพันธุ์ (*A. mellifera*) ที่อยู่ในเอเชีย ยุโรป อเมริกาเหนือ อเมริกากลาง และอเมริกาใต้ (Fries et al., 2006; Huang et al., 2007; Klee et al., 2007; Martín-Hernández et al., 2007; Williams et al., 2008)



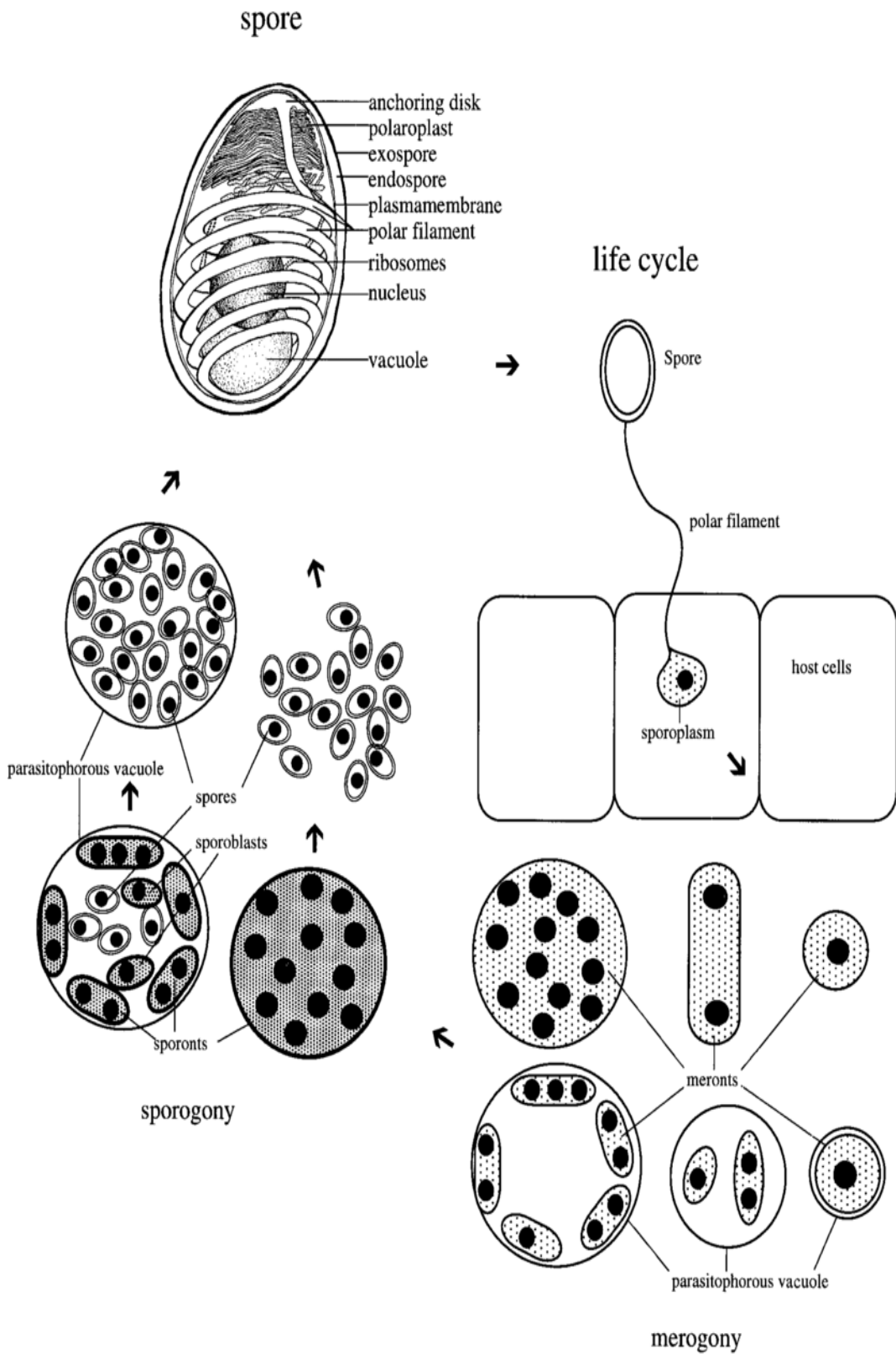
รูปที่ ๒.๑ ภาพสปอร์ใต้กล้องจุลทรรศน์อิเล็กตรอนแบบส่องผ่าน (transmission electron microscopy, TEM) ของ *N. ceranae* (A) และ *N. apis* (B); PF, polar filament (Fries et al., 2006)



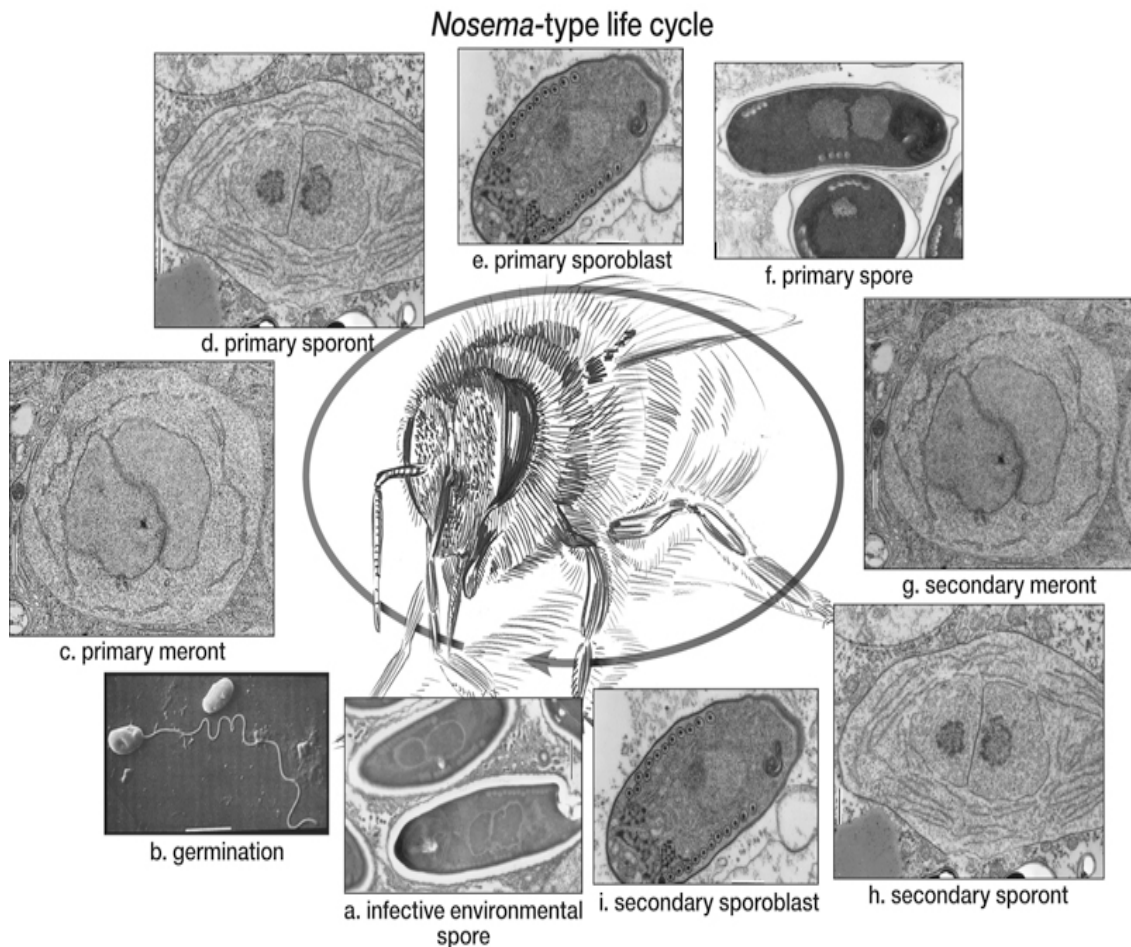
รูปที่ ๒.๒ ภาพไตกล้องจุลทรรศน์แบบใช้แสงของสปอร์ *Nosema neumanni* n. sp. (A) ซึ่งมีขนาดเล็กกว่าสปอร์ของ *N. ceranae* (B) และ *N. apis* (C). ส่วนภาพ D, E และ F เป็นภาพสปอร์ไตกล้องจุลทรรศน์อิเล็กตรอนแบบส่องผ่าน (transmission electron microscopy, TEM) ของ *N. neumanni* n. sp. ประกอบไปด้วย electron dense exospore (Ex) และ electron lucent endospore (En). ขนาดของสปอร์ของ *N. neumanni* n. sp. ยาว $2.36 \pm 0.14 \mu\text{m}$ กว้าง $1.78 \pm 0.06 \mu\text{m}$. Scale bars: ในภาพ A, B และ C เท่ากับ $50 \mu\text{m}$; ในภาพ D เท่ากับ $2 \mu\text{m}$ และในภาพ E และ F 500 nm . (Chemurot et al., 2017)

๒.๒ วงชีวิตและการแพร่เชื้อของโนซีมา (Life cycle and distribution of *Nosema*)

การติดต่อของโรคหรือการติดเชื้อ เกิดได้โดยการป้อนอาหารโดยส่งต่อจากปากของผึ้งงานตัวหนึ่งสู่ผึ้งอีกตัวหนึ่งที่เรียกว่า trophallaxis (Webster, 1993) รวมทั้งการนำเอาส่วนของรังที่มีสปอร์ของเชื้อปนอยู่เข้าปาก (ingestion of infected comb) หรือมาจากแหล่งน้ำที่ผึ้งนำเข้ามาใช้ในรัง (Bailey & Ball, 1991) เมื่อสปอร์ของเชื้อ *Nosema* เข้าสู่ร่างกายทางปาก สปอร์จะเริ่มพัฒนาภายใน 30 นาที ในกระเพาะอาหาร (ventriculus) และทางเดินอาหารส่วนกลาง (mid gut) โดยเฉพาะที่บริเวณเยื่อบุผิว (epithelium) ของ ventricular fold โดยการยื่น polar tube ที่เป็นตัวนำเอา sporoplasm (รูปที่ ๒.๓) ของเชื้อ เข้าไปในเซลล์เยื่อบุผิวของทางเดินอาหารส่วนกลาง โดยเชื้อจะเพิ่มจำนวนอย่างรวดเร็ว ภายในเวลา 6-10 วัน (Bailey & Ball, 1991) (รูปที่ ๒.๔) สปอร์ของโนซีมาสามารถเจาะผ่านทะเลาะหว่างเซลล์ไปยังเซลล์ข้างเคียงทำให้เซลล์ปกติติดเชื้อ (Bailey & Ball, 1991; de Graaf, Sittig, & Denier van der Gon, 1994) เชื้อที่แพร่พันธุ์และเพิ่มจำนวนในร่างกายจะบวมและพังกตัวในร่างกายของผึ้งงานที่ยังมีชีวิตอยู่ นอกจากนี้สปอร์ของเชื้อยังอาจอยู่ที่ไขผึ้งที่เป็นส่วนประกอบของรัง ปนอยู่ในน้ำผึ้ง และส่วนอื่น ๆ ในรังผึ้ง (Cantwell & Shimanuki, 1970) สปอร์ที่อยู่เซลล์เยื่อบุผิวของทางเดินอาหารส่วนกลางจะถูกกำจัดออกจากทางเดินอาหาร โดยการขจัดเนื้อเยื่อบุผิวของทางเดินอาหารปกติ พร้อมกับการขับน้ำย่อยออกอยู่แล้ว ทำให้สปอร์สามารถเข้าสู่เซลล์อื่น ๆ ของทางเดินอาหารได้และมีสปอร์บางส่วนผ่านต่อไปยังลำไส้ (intestine) และหลุดออกมา กับอุจจาระ (feces) ของผึ้งสู่สิ่งแวดล้อมภายนอกและสามารถเข้าสู่ผึ้งตัวต่อไปได้ใหม่ เมื่อผึ้งมาสัมผัสบริเวณที่มีอุจจาระที่มีสปอร์ปนต่อไป (Malone, Giaccon, & Newton, 1995; Matheson, 1993) พบการระบาดของโรคโนซีมาในฤดูหนาวและฤดูใบไม้ร่วง มักมีการระบาดน้อยในฤดูร้อน (summer) ช่วงฤดูนี้ผึ้งจะมีสปอร์อยู่ภายในร่างกายเล็กน้อย ทำให้ไม่แสดงอาการของโรคและไม่ก่อให้เกิดความเสียหายต่อประชากรภายในรังผึ้งนอกจากนี้สปอร์บางส่วนยังติดอยู่ที่รวงรังและจะแพร่พันธุ์ใหม่อย่างรวดเร็วอีกครั้งเมื่อเริ่มเข้าสู่ฤดูใบไม้ร่วง (autumn) ซึ่งส่งผลให้สูญเสียประชากรผึ้งเป็นจำนวนมากอย่างรวดเร็ว (L. Malone, A. et al., 1995) และเสียหายหนักมากในฤดูหนาว (winter) และจะลดลงอีกครั้งเมื่ออุณหภูมิอุ่นขึ้นในช่วงหน้าร้อน



รูปที่ ๒.๓ แผนภาพของ microsporidian spore ที่แสดง life cycle ในระยะ merogony และ sporogony ของ *Nosema* sp. (Franzen & Müller, 1999)



รูปที่ ๒.๔ วงจรชีวิต (life cycle) ของเชื้อ *Nosema* (Solter, 2010)

๒.๓ ผลกระทบของเชื้อโนซีมาต่อผึ้ง (Effect of *Nosema* on bees)

ไม่พบการติดเชื้อของ *Nosema* ในผึ้งระยะตัวหนอน (larvae) แต่สามารถพบได้ในผึ้งตัวเต็มวัย (adult) บางครั้งผึ้งที่ติดเชื้อจะไม่แสดงอาการเฉพาะของโรคแต่สามารถตรวจสอบได้โดยการตรวจดูทางเดินอาหารส่วนกลางของผึ้งโดยจะพบสปอร์ของ *Nosema* ในกรณีที่ได้รับเชื้อปริมาณมาก ๆ ทำให้ผึ้งที่ได้รับเชื้อเกิดอาการท้องร่วงและตายในที่สุดเนื่องจากเชื้อเข้าไปทำลายเซลล์ ทำให้เซลล์เยื่อบุผิวของทางเดินอาหารส่วนกลางเสียหาย ไม่สามารถผลิตเอ็นไซม์มาย่อยเกสรที่กินเข้าไปได้ (de Graaf et al., 1994; L. Malone, A., Giaccon, & Newton, 1995; A. Matheson, 1993) ตัวอย่าง ในผึ้งหาอาหารของผึ้งพันธุ์ เมื่อได้รับเชื้อจำนวน 100,000 สปอร์ต่อตัว โดยป้อนปนกับสารละลายน้ำตาล ปริมาตร 1 ไมโครลิตร จะมีผลทำให้ทางเดินอาหารส่วนกลางผลิตโปรติโอไลติกเอ็นไซม์ (proteolytic enzyme) ได้น้อยลง (L. Malone & Gatehouse, 1998) และส่งผลให้ผึ้งมีอายุสั้นลง (Ritter, 2001) ส่งผลทำให้ลดจำนวนประชากรภายในรังอย่างรวดเร็ว (Hassanein, 1953; L. Malone, A. et al.,

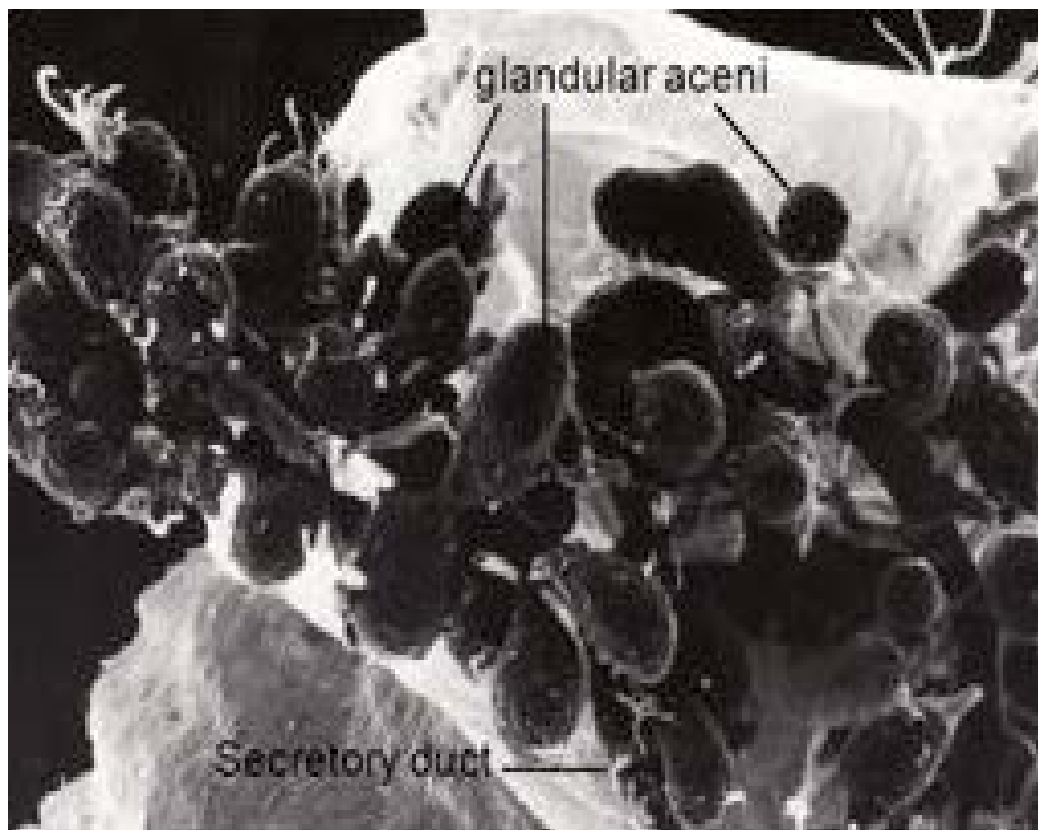
1995; Rinderer & Sylvester, 1978) การติดเชื้อในผึ้งงานกลุ่มหาอาหาร (foragers) จะทำให้การเก็บเกสรดอกไม้และน้ำหวานลดลง ทำให้รังขาดแคลนอาหาร สุขภาพโดยรวมของประชากรภายในรังอ่อนแอ ทำให้ผึ้งเกิดอาการท้องเสียและตายในที่สุด ประชากรภายในรังลดลงอย่างรวดเร็ว ทำให้ผลผลิตภายในรัง (bee products) ลดลงรวมทั้งผลผลิตทางการเกษตร (crop production) เนื่องจากขาดแมลงถ่ายละอองเรณู (Anderson & Giaccon, 1992; Fries, Ekbohm, & Villumstad, 1984; Goodman, Houten, Perry, & Blackmann, 1990) หากผึ้งพยาบาล (nurse bees) ได้รับเชื้อชนิดนี้ส่งผลให้การเจริญของต่อมไฮโปฟาริงค์ (hypopharyngeal glands) ลดลง หรือหยุดชะงัก ซึ่งมีผลต่อการผลิตนมผึ้ง (royal jelly) ได้ไม่เต็มที่ ส่งผลทำให้ผึ้งพยาบาลสูญเสียความสามารถในการเลี้ยงดูตัวอ่อน (Clark, 1980) จากการศึกษาการใช้เชื้อ *Nosema apis* จำนวน 5,000 สปอร์ ต่อตัว แก่ผึ้งงานของผึ้งพันธุ์อายุ 1 วัน พบว่าต่อมไฮโปฟาริงค์ไม่เจริญและฝ่อไปในที่สุด (Der- I. Wang & Moeller, 1971) ส่งผลต่อเนื่องถึงคุณภาพของประชากรผึ้งภายในรังเนื่องจากได้โปรตีนคุณภาพต่ำและไม่เพียงพอต่อการเจริญเติบโต (Anderson & Giaccon, 1992; Clark, 1980; Fries et al., 1984; Goodwin, Perry, & Houten, 1994) ส่งผลต่อเนื่องถึงคุณภาพของประชากรผึ้งภายในรัง และหากผึ้งนางพญา ผลเสียหายโดยรวมทำให้ประชากรผึ้งลดน้อยลงและไม่มีคุณภาพ ผลคือทำให้ผลิตภัณฑ์ผึ้งชนิดต่าง ๆ ลดลงอย่างมาก หรือผึ้งอาจตายยกรัง นอกจากนี้ยังทำให้ระบบนิเวศน์ขาดแคลนแมลงถ่ายละอองเกสรที่สำคัญ โดยเฉพาะในพืชเศรษฐกิจทั้งหลาย ส่งผลให้การติดผลของพืชลดลง ตลอดจนทำให้ความหลากหลายของชนิดพืชลดลงไปด้วย โดยเฉพาะถ้าหากมีการระบาดของเชื้อ *Nosema* ในประชากรของผึ้งต่อเนื่องและยาวนาน (Der-I Wang & Moeller, 1969; Der- I. Wang & Moeller, 1971)

นอกจากนี้ยังมีรายงานผลของเชื้อ *Nosema ceranae* ต่อระดับน้ำตาลใน haemolymph เนื่องจากเมื่อผึ้งงานที่ได้รับเชื้อจะทำให้ทางเดินอาหารส่วนกลางเสียหาย (Suwannapong et al., 2010; Suwannapong et al., 2011) มีอัตราการติดเชื้อในเซลล์มาก ทำให้ผึ้งไม่สามารถย่อยอาหารได้ ทำให้มีผลต่อการขาดสารอาหารพลังงานในเซลล์ ส่งผลให้เกิดสภาวะเครียดของพลังงาน ในผึ้งพันธุ์ (energetic stress) (Mayack & Naug, 2009, 2010) โดยพบว่าระดับน้ำตาล trehalose ซึ่งเป็นน้ำตาลโมเลกุลคู่และเป็นน้ำตาลหลักที่พบในเลือดผึ้ง ลดต่ำลงและต่ำกว่าผึ้งกลุ่มควบคุมที่ไม่ได้รับเชื้อ

อุณหภูมิที่เก็บรักษาเชื้อ *N. ceranae* และ *N. apis* ยังมีผลต่อการมีชีวิต (viability) ของเชื้อโนซีมา ทั้งสองชนิดด้วย โดย *N. ceranae* สามารถทนต่อสภาวะที่อุณหภูมิค่อนข้างสูงเมื่อเปรียบเทียบกับ *N. apis* และยังพบว่าอุณหภูมิต่ำที่ -20 องศาเซลเซียสทำให้อัตรารอดชีวิตของ *N. ceranae* ต่ำมาก (Sanchez Collado et al., 2014)

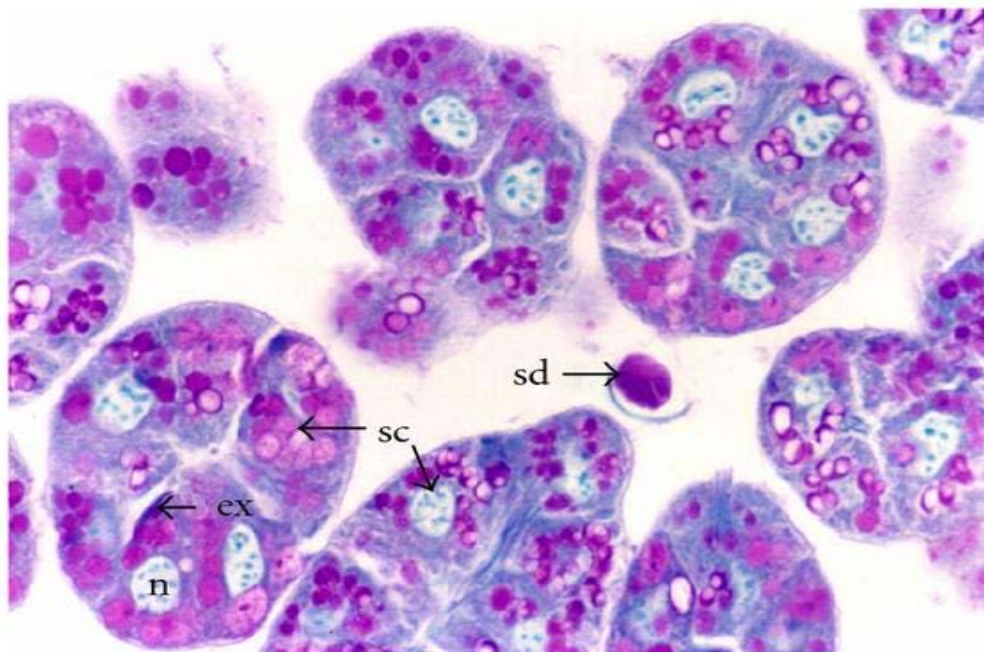
๒.๔ ต่อมไฮโปฟาริงค์ (Hypopharyngeal glands)

ต่อมไฮโปฟาริงค์ (hypopharyngeal glands) เป็นต่อมมีท่อ (exocrine glands) มีอยู่หนึ่งคู่ตั้งอยู่บนส่วนหัว เรียงตัวเป็นสายยาว ข้างตาประกอบ (compound eyes) ทั้งสองข้าง โครงสร้างต่อมมีลักษณะเป็นกระเปาะที่แตกแขนงซับซ้อน (compound alveolar glands) (รูปที่ ๒.๕-๒.๖) ทำหน้าที่ผลิตนมผึ้ง (royal jelly) ที่มีองค์ประกอบหลักเป็นสารอาหารประเภทโปรตีนและคาร์โบไฮเดรต เพื่อเลี้ยงดูตัวอ่อนของผึ้งงาน (workers) อายุ 1-3 วันและนางพญา (queen) ตลอดอายุขัย (Brouwers, 1982) ถ้าต่อมเจริญดีจะสามารถผลิตนมผึ้งที่มีคุณภาพดี คือมีคุณค่าทางอาหารสูงโดยเฉพาะพวกโปรตีนและกรดอะมิโน ส่งผลให้ตัวอ่อนมีความแข็งแรงและเมื่อได้อาหารที่สมบูรณ์จะได้ผึ้งงานตัวเต็มวัยที่แข็งแรง ทำให้รังแข็งแรง (strong colony) นอกจากนี้จะทำให้นางพญาได้รับอาหารที่ดี มีคุณภาพสูง ทำให้นางพญามีสุขภาพดี วางไข่ได้มาก ผลิตเฟอโรโมนควบคุมรังได้ดี ทำให้ควบคุมกิจกรรมต่าง ๆ ภายในรังได้ปกติ (Graham, 1992; Otani *et al.*, 1985; Otis, 1991; Seeley, 1985)



รูปที่ ๒.๕ ภาพจากกล้องจุลทรรศน์อิเล็กตรอนแบบส่องกราด (scanning electron microscope, SEM) ของต่อมไฮโปฟาริงค์ (hypopharyngeal gland) ของผึ้งม้าม (*Apis andreniformis*) วรรณะผึ้งงาน (Suwannapong, *et al.*, 2011)

ต่อมไฮโปฟาริงจในผึ้งที่อายุน้อยจะยังไม่เจริญดีและจะเจริญเต็มที่เมื่อผึ้งเข้าสู่ระยะผึ้งพยาบาล (nurse bees) และยังคงเจริญดีในระยะผึ้งงานระยะหาอาหารซึ่งเป็นกลุ่มผึ้งที่มีอายุมากกว่าผึ้งพยาบาล ต่อมาผึ้งจะเปลี่ยนไปทำหน้าที่ผลิตเอ็นไซม์อินเวอร์เทส (invertase) และกลูโคซิเดส (glucosidase) แทนซึ่งมีบทบาทสำคัญต่อการผลิตน้ำผึ้ง (honey) จากน้ำหวาน (nectar) จากดอกไม้ และต่อมาก็จะเริ่มเสื่อมสลายเมื่อผึ้งเข้าสู่ระยะผึ้งทหาร (guardian bees) (Brouwers, 1982; Huang and Otis, 1989; Otani *et al.*, 1985; Simpson, 1968; Suwannapong *et al.*, 2007) และเนื่องจากผึ้งเป็นแมลงสังคมแท้ชั้นสูง (highly eusocial insect) ที่แบ่งหน้าที่การทำงานออกเป็นวรรณะต่าง ๆ ซึ่งได้แก่ วรรณะผึ้งงาน (workers) ผึ้งนางพญา (queen) และผึ้งตัวผู้ (drones) ในขณะเดียวกันในกลุ่มของวรรณะผึ้งงานยังแบ่งหน้าที่การทำงานออกเป็นกลุ่มย่อยอีกได้แก่ ผึ้งทำความสะอาด (house cleansing bees) มีอายุตั้งแต่โผล่ออกมาจากเซลล์ของดักแด้ถึง 3 วัน ผึ้งพยาบาลมีอายุในช่วง 3-16 วัน มีหน้าที่ผลิตนมผึ้งเพื่อเลี้ยงดูตัวอ่อนและนางพญา ผึ้งงานกลุ่มหาอาหารมีอายุ 16-28 วัน มีหน้าที่หาอาหาร เช่นการเก็บเกสรจากดอกไม้เพื่อผลิตน้ำผึ้ง และกลุ่มผึ้งป้องกันรัง เป็นผึ้งที่มีอายุมากที่สุด (Seeley, 1985) ทำให้สนใจศึกษาการเปลี่ยนแปลงโครงสร้างทางจุลกายวิภาค อัลตราสตรักเจอร์และอัตราร้อยละการติดเชื้อ ปริมาณโปรตีนของต่อมนี้ ระหว่างผึ้งได้รับเชื้อของ *N. ceranae* ความเข้มข้นที่กำหนดระดับต่าง ๆ กับผึ้งปกติ ในผึ้งทั้ง 5 ชนิดที่มีในประเทศไทย

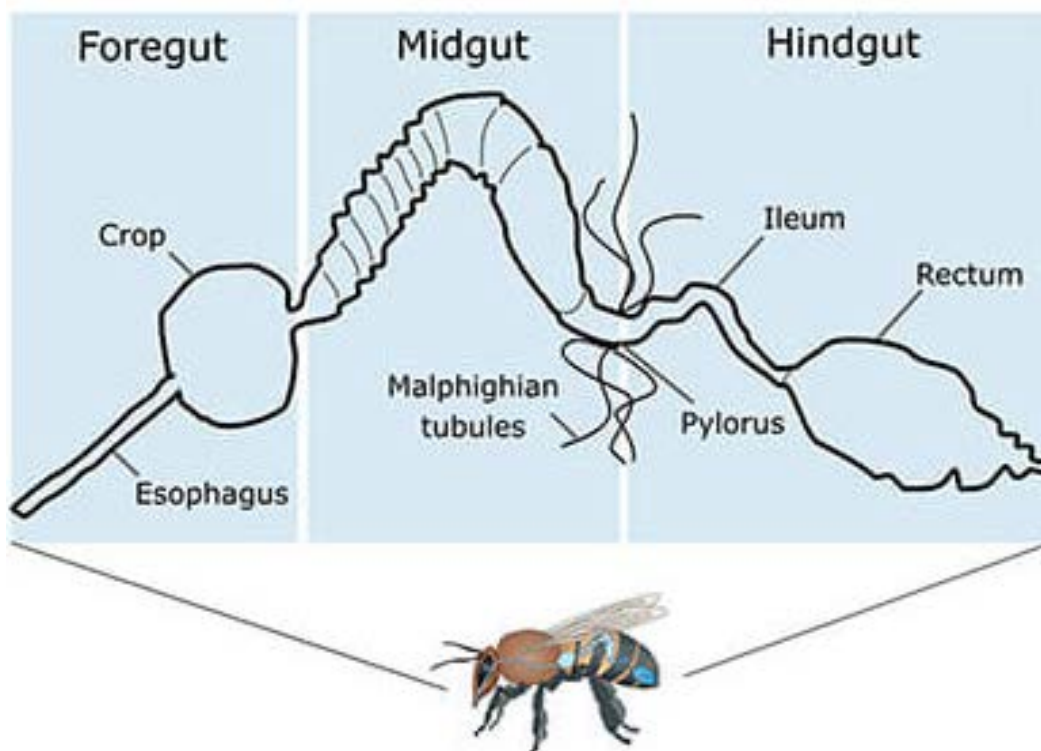


รูปที่ ๒.๖ ภาพจากกล้องจุลทรรศน์แบบใช้แสงของต่อมไฮโปฟาริงค์ของผึ้งโพรงย้อมด้วย PAS, ex: extracellular space; n: nucleus; sc: secretory unit; sd: secretory duct (Suwannapong *et al.*, 2010)

๒.๕ ทางเดินอาหารของผึ้ง (Honeybee gut)

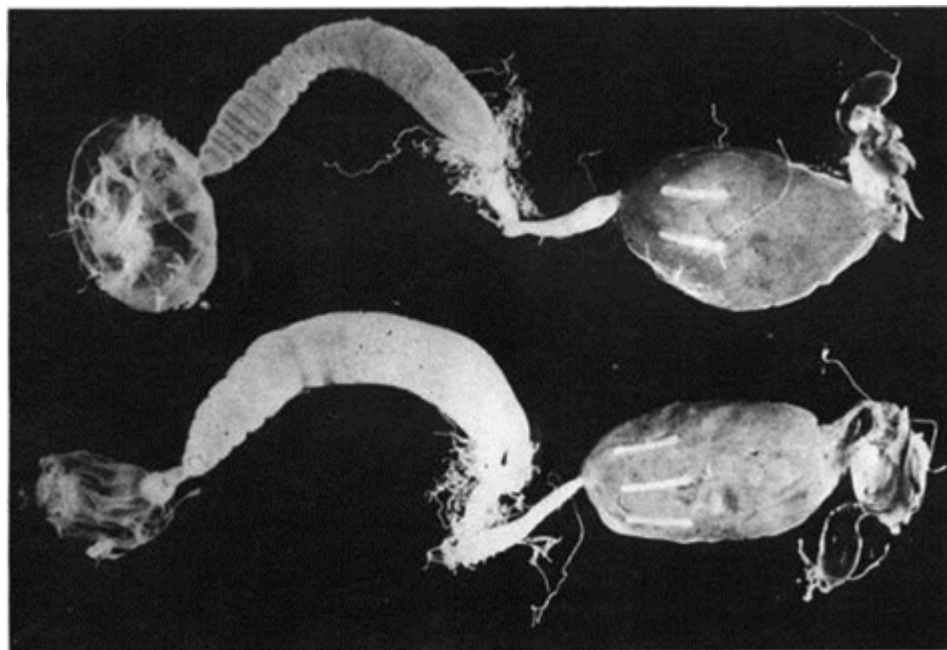
ผึ้งประกอบด้วยท่อทางเดินอาหาร (digestive tract) ซึ่งแบ่งออกเป็น 3 ส่วนคือ ทางเดินอาหารส่วนต้น (foregut) ทางเดินอาหารส่วนกลาง (midgut) และทางเดินอาหารส่วนท้าย (hindgut) (รูปที่ ๒.๗) โดย

ทางเดินอาหารส่วนต้น (foregut) เริ่มจากช่องปาก (cibarium) ถัดลงไปเป็นส่วนที่แคบเข้าและมีกล้ามเนื้อหนาเรียกบริเวณนี้ว่า คอหอย (pharynx) ซึ่งถัดจากคอหอยไปเป็นท่อทางยาวแคบเรียกหลอดอาหาร (esophagus) ซึ่งเริ่มจากส่วนนอกยาวไปจนถึงส่วนหน้าของช่องท้องเชื่อมติดต่อกับกระเพาะเก็บน้ำผึ้ง (honey crop) ที่มีการพัฒนาขยายใหญ่ พบในผึ้งงานเท่านั้น กระเพาะเก็บน้ำผึ้งยังทำหน้าที่เปลี่ยนน้ำหวานจากดอกไม้ให้เป็นน้ำผึ้ง ได้ด้วยการปล่อยเอนไซม์อินเวอร์เตส (invertase) จากต่อมน้ำลาย มาเพื่อย่อย ซูโครส (sucrose) ให้ได้เป็นกลูโคส (glucose) และฟรุคโตส (fructose) ขณะที่ผึ้งบินกลับรัง (สิริวัฒน์, 2532; Snodgrass, 1935) ทางเดินอาหารส่วนนี้เป็นทางผ่านของเชื้อ *Nosema* เพื่อทำลายเชื้อส่งต่อไปที่ทางเดินอาหารส่วนถัดไป ยังไม่มีรายงานการแพร่กระจายหรือความเสียหายของทางเดินอาหารส่วนนี้จากโรค *Nosema*



รูปที่ ๒.๗ ภาพวาดทางเดินอาหารของผึ้งแบ่งออกเป็น 3 ส่วนคือ ทางเดินอาหารส่วนต้น (foregut) ทางเดินอาหารส่วนกลาง (midgut) และทางเดินอาหารส่วนท้าย (hindgut) (McAfee, 2018)

ทางเดินอาหารส่วนกลาง (midgut) เริ่มต้นจากส่วนโพรเวนทริคิวลัส (proventriculus) ซึ่งเชื่อมต่อจากกระเพาะเก็บน้ำผึ้งเป็นท่อสั้น และแคบ ท่อนี้ยื่นเข้าไปในกระเพาะเก็บน้ำหวานมีลิ้นเปิดปิด ประกอบด้วยเนื้อเยื่อรูปสามเหลี่ยม 4 อัน ทำหน้าที่ป้องกันไม่ให้มน้ำผึ้งในกระเพาะเก็บน้ำหวานไหลไปรวมกับอาหารในทางเดินอาหารส่วนกลางหรือเวนทริคิวลัส (ventriculus) และเชื่อว่าทำหน้าที่ในการแยกเกสรดอกไม้ออกจากน้ำหวานที่ผ่านมาจากกระเพาะเก็บน้ำผึ้ง ท่อเวนทริคิวลัสเป็นท่อนำอาหารที่มีขนาดยาวที่สุดของทางเดินอาหารเป็นท่อกลมยาวขนาดใหญ่ขดเป็นรูปตัวยู (U-shape) (รูปที่ ๒.๘) อยู่ในส่วนท้องผนังชั้นในที่ติดอยู่กับช่องภายในเวนทริคิวลัสเคลือบด้วยเยื่อเมือก (gelatinous mass) ซึ่งมีเอนไซม์ที่ใช้ในการย่อยอาหารกระจายอยู่ทั่วไป ซึ่งเอนไซม์ถูกสร้างขึ้นมาจากเซลล์บุผิว (epithelial cells) และจะหลั่งออกมาจากเยื่อเมือกเมื่อมีอาหารอยู่ในเวนทริคิวลัส ทางเดินอาหารส่วนกลางทำหน้าที่ย่อยอาหารที่ยังไม่ได้ย่อยจากทางเดินอาหารส่วนต้น โดยเฉพาะอาหารประเภทโปรตีน ที่สำคัญคือพวกละอองเรณูหรือเกสรของดอกไม้ (pollen grains) และทำหน้าที่ดูดซึมอาหารที่ย่อยแล้วทั้งหมดเข้าสู่เซลล์ต่างๆ ในทางเดินอาหารนี้ด้วย (สิริวัฒน์, 2532; Snodgrass, 1935) ผึ้งที่ได้รับเชื้อ *Nosema* จะทำให้เซลล์ของเยื่อบุผิวบริเวณนี้เสียหาย ไม่สามารถผลิตเอนไซม์ ทำให้ไม่สามารถย่อยพวกเรณูที่ผึ้งกินเข้าไปได้ ผลคือพบเกสรผึ้งหรือเรณูจำนวนมากในผึ้งที่ติดเชื้อ เมื่อติดเชื้อจำนวนมากจะทำให้ผึ้งท้องเสียและตายในที่สุดเนื่องจากเซลล์บริเวณนี้ถูกทำลายเสียหายหนัก (Anderson and Giaccon, 1992; Hassanein, 1953; Rinderer and Elliott, 1977; Higes et al., 2007a)



รูปที่ ๒.๘ ทางเดินอาหารของผึ้งที่ติดเชื้อ *Nosema* (ภาพล่าง) และไม่ติดเชื้อ (ภาพบน) (Various, 1991)

ทางเดินอาหารส่วนท้าย (hindgut) เริ่มต้นจากลำไส้เล็ก (intestine) ซึ่งเชื่อมต่ออยู่กับเวนทริคูลัสบริเวณที่เชื่อมต่อกันนี้จะมีท่อขับถ่าย มัลพีเจียลทิวบูล (Malpighian tubules) เป็นท่อเล็กๆ ยาวจำนวนมากทำหน้าที่ขับถ่ายของเสีย เช่น กรดยูริก (uric acid) และเกลือต่างๆ จากเลือดไปยังลำไส้ใหญ่ถัดจากลำไส้เล็กเป็นไส้ตรงหรือเรคตัม (rectum) ทั้งลำไส้เล็กและไส้ตรงทำหน้าที่ดูดซึมสารอาหารและน้ำที่ย่อยแล้วเป็นครั้งสุดท้ายแล้วปล่อยกากอาหารที่เหลืออยู่ออกสู่ภายนอก ร่างกายทางทวารหนัก (anus) (สิริวัฒน์, 2532; Snodgrass, 1935) พบว่าผึ้งที่ได้รับเชื้อ *N. apis* ทางเดินอาหารส่วนนี้จะประกอบด้วยเกสร (pollen grains) ที่ไม่ถูกย่อยกระจายอยู่เต็มทางเดินอาหารส่วนท้ายนี้ ทำให้บวม โป่งออกและมีสีน้ำตาลเข้ม (รูปที่ ๒.๘) (de Graaf *et al.*, 1994; Higes *et al.*, 2006)

๒.๖ ผึ้งหลวง (*Apis dorsata* Fabricius, 1793)

ผึ้งหลวง *A. dorsata* มีขนาดของลำตัวและรังใหญ่ที่สุด บริเวณส่วนท้องมีสีดำสลับเหลืองอ่อน (รูปที่ ๒.๙) มักสร้างรังบนอาคาร (รูปที่ ๒.๑๐) หน้าผาสูง และต้นไม้สูงห่างจากพื้นดิน ประมาณ 30-60 เมตร (รูปที่ ๒.๑๑) ลักษณะวางรัง เป็นชั้นเดียวรูปครึ่งวงกลมไม่มีที่ปกปิด ขนาดรัง ประมาณ 0.5 x 1.2 เมตร (รูปที่ ๒.๑๒) นิยสร้ายกว่าผึ้งชนิดอื่นๆ พบแพร่กระจายอยู่ทุกประเทศในเอเชียตะวันออกเฉียงใต้ ขึ้นไปจนถึงประเทศจีนตอนใต้ พม่า ศรีลังกา อินเดีย ปากีสถาน นอกจากนี้ยังมีรายงานพบที่เกาะนิวกินี ประเทศออสเตรเลีย ในระบบนิเวศน์ผึ้งหลวงทำหน้าที่เป็นแมลงถ่ายละอองเกสรให้กับพืชดอกหลายชนิดเช่นลำไย ลิ้นจี่ พักทอง ทานตะวัน ทูเรียน พืชตระกูลถั่ว พืชตระกูลแตง ข้าวโพด มะพร้าว ยางพารา เป็นต้น (Suwannapong *et al.*, 2013)



รูปที่ ๒.๙ ผึ้งหลวง (*Apis dorsata*, giant honey bees) (Naree, 2018)

นอกจากนี้ผึ้งหลวงยังให้ผลิตภัณฑ์ที่เป็นประโยชน์ต่อมนุษย์ หลายชนิดเช่น น้ำผึ้ง ซึ่งเชื่อว่ามีคุณค่าสูง เมื่อเทียบกับน้ำผึ้งจากผึ้งชนิดอื่นเนื่องจากผึ้งหลวงเก็บน้ำหวานและเกสรจากดอกไม้จำนวนมากหลายชนิด ทำให้ประกอบด้วยเกสรที่มีความหลากหลายโดยเฉพาะดอกไม้ป่าซึ่งอาจมีพืชสมุนไพรปนในสัดส่วนที่มากกว่า เมื่อเทียบกับน้ำผึ้งจากผึ้งชนิดอื่น โดยเฉพาะน้ำผึ้งที่ได้จากการเก็บจาก monoculture crop เช่น สวนลำไย สวนลิ้นจี่อย่างเดียว เป็นต้น จึงเป็นที่ต้องการ ของมนุษย์ อนึ่ง ประชากรผึ้งหลวงมีจำนวนลดลงอย่างมากเนื่องจากหลายสาเหตุ เช่น การตัดไม้ทำลายแหล่งทำรัง และแหล่งอาหารของผึ้ง การล่าจากมนุษย์ การใช้สารกำจัดศัตรูพืช รวมทั้งโรคผึ้ง โดยเฉพาะโรคโนซีมา (Nosemosis) เมื่อผึ้งหลวงได้รับเชื้อ *Nosema* ที่ระดับต่าง ๆ ที่กำหนด น่าจะส่งผลกระทบต่อการทำกิจกรรมต่าง ๆ ภายในเซลล์ซึ่งอาจก่อให้เกิดความเสียหายอาจถึงขั้นร้ายแรง ที่น่าจะมีผลแตกต่างกัน ซึ่งข้อมูลเหล่านี้จะเป็นประโยชน์ในการศึกษาในระดับลึกต่อไป ซึ่งข้อมูลดังกล่าวจะนำไปสู่การพัฒนาการวิจัยเพื่อนำข้อมูลของความแตกต่างจากความหลากหลายของสิ่งมีชีวิตมาใช้ประโยชน์ให้สูงสุด ไม่ว่าจะเป็นเรื่ององค์ความรู้ เกษตรกรรมและอุตสาหกรรมที่เกี่ยวข้อง



รูปที่ ๒.๑๐ รังผึ้งหลวง (*Apis dorsata*, giant honey bees) ห้อยติดฝ้าเพดานของอาคารบ้านเรือน (Suwannapong, 2018)



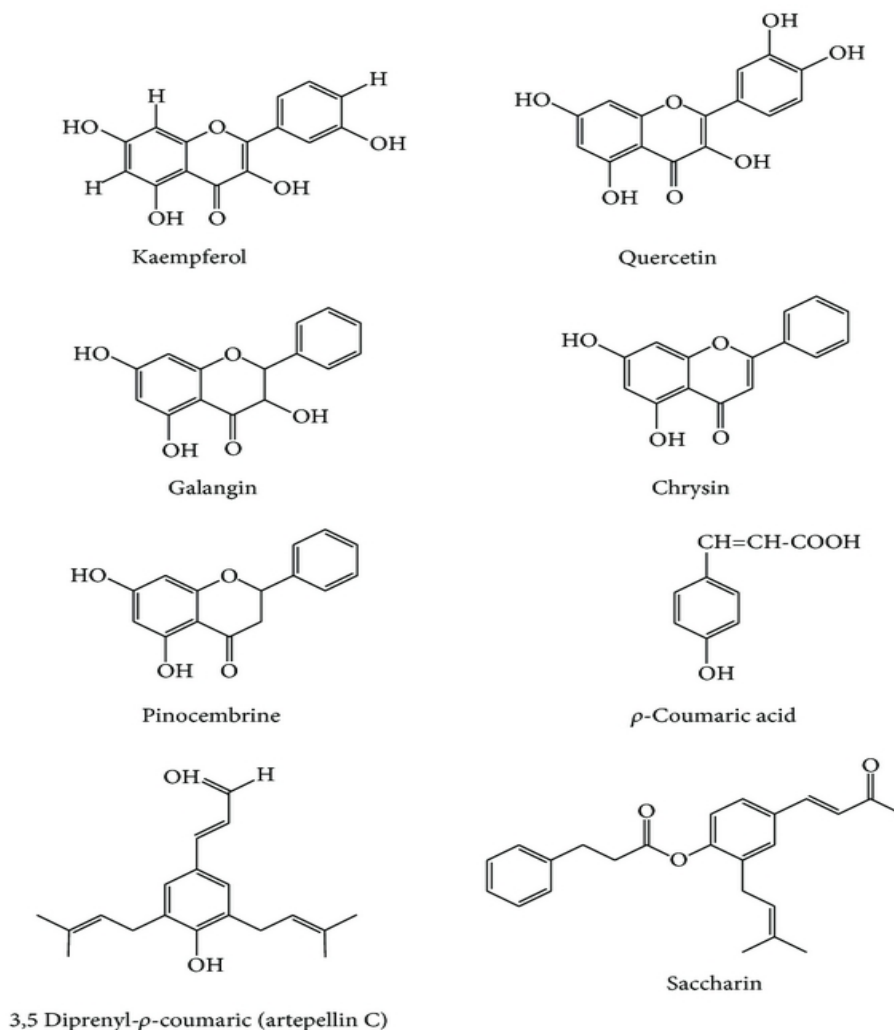
รูปที่ ๒.๑๑ รังผึ้งหลวง (*Apis dorsata*, giant honey bees) ห้อยติดกิ่งไม้ใหญ่บนต้นไม้สูง (Suwannapong, 2018)



รูปที่ ๒.๑๒ รังผึ้งหลวง (*Apis dorsata*, giant honey bees) ห้อยติดกับต้นมะพร้าว (Suwannapong, 2018)

๒.๗ พรอพอลิส (Propolis)

พรอพอลิส เป็นผลิตภัณฑ์ผึ้งที่ได้จากยางไม้ (resins) ประกอบด้วย ยางไม้ (50-70%), ไชผึ้ง (30-50%), เกสรผึ้ง (10%) และน้ำมันหอมระเหย (5-10%) นอกจากนี้ยังประกอบด้วยสารต่าง ๆ มากกว่า 180 ชนิด ทั้งนี้ขึ้นอยู่กับชนิดของพืชและถิ่นที่อยู่อาศัย ตลอดจนฤดูกาลที่ผึ้งไปเก็บมา ผึ้งที่พบการสร้างพรอพอลิสได้แก่ ผึ้งพันธุ์ (*Apis mellifera*) ผึ้งมีมเล็ก (*A. andreniformis*) ผึ้งมีม (*A. florea*) ผึ้งหลวง (*A. dorsata*) ส่วนผึ้งโพรงไม่พบการสร้างพรอพอลิส จึงเป็นที่น่าสนใจเป็นอย่างยิ่งว่าผึ้งโพรงน่าจะมีวิธีการหรือผลิตสารที่ผสมอยู่ในไขผึ้งหรือผลิตภัณฑ์อื่นที่สามารถทำให้สามารถกำจัดเชื้อโรคหรือพวกแบคทีเรียที่เซลล์ของรวงรังแก่ตัวอ่อนได้ ดังนั้นการศึกษาอัตราการติดเชื้อ *Nosema* ของผึ้งโพรง นำข้อมูลที่เป็นประโยชน์อย่างยิ่ง โดยเฉพาะการทดสอบการยับยั้งด้วย พรอพอลิส ในผึ้งชนิดนี้น่าจะให้ผลที่แตกต่างจากผึ้งชนิดอื่นในประเทศไทย รวมทั้งน่าจะให้ผลแตกต่างจากผึ้งต่างประเทศ ด้วยเช่นกัน พรอพอลิสประกอบด้วย phenolic compounds ที่สำคัญหลายชนิด เช่น quercetin , caffeic acid และ ferueic acid ฟลาโวนอยด์ (flavonoid) เอสเทอร์ (ester) กรดฟีโนอิก (phenoeic acid) เทอร์ปีน (terpenes) กรดเบนโซอิก (benzoic acid) กรดซินนามิก (cinnamic acid) กรดคาฟอิก (caffeic acid) กรดซินนาปิก (sinapic acid) กรดไอโซเฟอรูลิก (isoferulic acid) และคริสซิน (chrysin) (Usami *et al.*, 2004) (รูปที่ ๒.๑๓) นอกจากนี้ยังประกอบด้วยสารอื่นๆ เช่น แมกนีเซียม ทองแดง แคลเซียม ธาตุเหล็ก สังกะสี และ วิตามินต่าง ๆ เช่น วิตามินเอ วิตามินบี วิตามินบีหนึ่ง วิตามินบีสอง วิตามินบีหก วิตามินซี และวิตามินอี เป็นต้น (Castaldo and Capasso, 2002) พรอพอลิสมีสีน้ำตาลจนถึงเกือบดำ หรือบางพื้นที่มีสีเขียวหรือขาว ทั้งนี้ขึ้นอยู่กับชนิดของยางไม้ และฤดูกาล ดังนั้นชนิดของสาร สัดส่วนของสารที่เป็นองค์ประกอบของพรอพอลิส จะแตกต่างกันในผึ้งแต่ละชนิดด้วยเช่นกัน (Bankova, Castro and Marcucci, 2000) ผึ้งใช้พรอพอลิส ในการอุดรอยต่อ (sealing) ต่าง ๆ และยึดรวงรัง บางทีจึงถูกเรียกว่า “กาวผึ้ง” (bee glue) ใช้ในการซ่อมแซมรัง หรือใช้อุดหน้าทางเข้ารัง เพื่อลดขนาดรูเปิดเข้ารังให้พอดีเพื่อสะดวกในการดูแล และป้องกันรังผึ้งจากศัตรูไม่ให้เข้ามาในรัง ตลอดจนรักษาความสะอาด และป้องกันการระบาดของเชื้อโรคร้ายในรังด้วย ใช้หุ้มซากของศัตรูที่มีขนาดใหญ่และตายอยู่ในรังไม่สามารถจะนำออกไปทิ้งนอกรังได้เพื่อไม่ให้เชื้อโรคเจริญและแพร่เข้ามาในรังได้ (รูปที่ ๒.๑๔) นอกจากนี้ยังใช้เคลือบรวงรังเพื่อให้แต่ละเซลล์ที่นางพญาจะวางไข่มีสภาพสะอาดปลอดภัยจากเชื้อและปกป้องรังจากศัตรูไม่ให้เข้ามาในรัง (Russo, Longo & Vanella, 2008) สารสกัดจากพรอพอลิสสามารถยับยั้งการเจริญของเชื้อแบคทีเรียในช่องปาก ได้มากกว่า 15 ชนิด จากการใช้พรอพอลิสทดสอบการยับยั้งเชื้อ *Staphylococcus aureus* ที่เลี้ยงในห้องปฏิบัติการสามารถยับยั้งได้ดีเมื่อเทียบกับ คลอแรมเฟนิคอล(chloramphenicol) เซฟาดีน (cefradine) และ โพลีไมซิส บี (polymyxin B) (Castaldo and Capasso, 2002)



รูปที่ ๒.๑๓ โครงสร้างของสารประเภท flavonoids และ phenolics ที่พบใน green propolis ของผึ้งพันธุ์ (*Apis mellifera*) (Toreti, 2013)

นอกจากนี้ยังมีรายงานการทดสอบคุณสมบัติการต้านอนุมูลอิสระของพอรอปอลิสซึ่งสารประกอบในการต้านอนุมูลอิสระของ โดยเฉพาะสารในกลุ่ม flavonoids ที่พบในพอรอปอลิสนั้นช่วยป้องกันการเสื่อมสภาพของวิตามินชนิดต่าง ๆ รวมถึงกรดไขมันที่จำเป็นบางชนิดอีกด้วย (Sroka, 2006) สารสกัดจากพอรอปอลิสมีผลต่อการยับยั้งการเจริญของเซลล์มะเร็งโดยสารที่มีบทบาทสำคัญในพอรอปอลิสที่มีฤทธิ์ในการยับยั้งเซลล์ มะเร็งคือ quercetin, caffeic acid, cleerodane diterpendoid โดย cleerodane และ diterpendoid มีฤทธิ์ในการยับยั้งการแพร่กระจายของเซลล์มะเร็งมากที่สุด สารอพิจินิน (apigenin) ซึ่งเป็นสารประกอบที่มีอยู่ในน้ำผึ้ง และพอรอปอลิสสามารถยับยั้งเนื้องอกได้ (Munoz *et al.*, 2007; Saforcin, 2007; Yaghoubi *et al.*, 2007)



รูปที่ ๒.๑๔ พรอพอลิสนขอบของรังของผึ้งพันธุ์ (*Apis mellifera*) (Lee, 2011)

จากรายงานการใช้สารสกัดพรอพอลิสจากชันโรง (*Trigona apicalis*) ด้วยเอธานอล ใน ผึ้งมัมและผึ้งโพรง พบว่าสารสกัดดังกล่าวทำให้ผึ้งงานของผึ้งทั้งสองชนิดที่ได้รับเชื้อ *N. ceranae* ระดับ 80,000 สปอร์ต่อตัว มีอัตราการรอดชีวิตสูงขึ้น มีอัตราการติดเชื้อในเซลล์ลดลงมีปริมาณ โปรตีนจากต่อมไฮโปฟาริงค์สูงขึ้นเมื่อเทียบกับกลุ่มควบคุม (Suwannapong *et al.*, 2012, 2014)

งานวิจัยในครั้งนี้สนใจนำเอาพรอพอลิสของผึ้งในประเทศไทยมาเพื่อใช้ในการยับยั้งการ เจริญของเชื้อ *N. ceranae* ในผึ้งหลวง เนื่องจากในพรอพอลิสมีสารที่มีคุณสมบัติในการยับยั้ง เชื้อจุลินทรีย์และเชื้อราได้หลายชนิด ดังนั้นอาจเป็นไปได้ว่าพรอพอลิสของชันโรงอาจสามารถยับยั้ง การเจริญของเชื้อ *N. ceranae* ในผึ้งหลวง ที่ได้เชื้อ *N. ceranae* ในปริมาณต่าง ๆ ที่สูงขึ้น

บทที่ ๓
วิธีดำเนินการวิจัย
(Materials and Methods)

๓.๑ วัสดุอุปกรณ์ สารเคมี (Materials, Chemicals)

๓.๑.๑ อุปกรณ์และเครื่องมือ

- เครื่องตัดเนื้อเยื่อ (Rotary microtome; Leica, Germany)
- กล้องจุลทรรศน์ (Light microscope; Nikon, Japan)
- เครื่องกวนสารละลาย (Magnetic stirrer; Heidolph, Germany)
- เครื่องผสมสาร (Vortex; Scientific Industries, USA)
- สเปกโตรโฟโตมิเตอร์ (Spectrophotometer; Shimadzu, Australia)
- ตู้บ่มเชื้อ (Incubator; Memmert, Germany)
- เครื่องชั่งทศนิยม 4 ตำแหน่ง (Analytical balance; Sartorius analytic, Germany)
- อ่างน้ำร้อน (Water bath; Memmert, Germany)
- ฮีโมไซโตมิเตอร์ (Hemocytometer; BOECO, Germany)
- เครื่องปั่นเหวี่ยง (Centrifuge)
- หลอดแคพิลลารี (Capillary tube; BIOMED GROUP, Thailand)
- สไลด์ (Slide; Sail brand, China)
- กระจกปิดสไลด์ (Cover glass; DURAN Group, Germany)
- ปากคีบ (Forceps; Dumont, Switzerland)
- ปีกเกอร์ (Beaker; Pyrex, Germany)
- ใบมีดสำหรับตัดเนื้อเยื่อ (Microtome blade; Feather, Japan)
- หลอดไมโครเซ็นตริฟิวก์ (Microcentrifuge tube; QSP, USA)
- ไมโครปิเปต (Micropipette; Gilson, France)
- ปิเปตทิป (Micropipette tips BIOLOGIX GROUP, USA)
- ขวดเก็บตัวอย่าง (Vials)
- กรงเลี้ยงผึ้ง (Bee cages size 80x130x135 mm²)
- กระดาษกรอง (Filter paper; Whatmann Internation Ltd., England)
- ภาชนะย้อมสี (Staining jars)
- พาราฟิล์ม (Parafilm; EMS, USA)

- ช้อนตักสาร (Spatula)
- การกระดาษชั่งสาร (Weighting papers)
- เครื่องเพิ่มปริมาณดีเอ็นเอ (Thermocycler, TProfessional Biometra, Germany)
- ลูกแก้ว (Glass beads)

๓.๑.๒ สารเคมีสำหรับศึกษาไตกล้องจุลทรรศน์แบบใช้แสง (LM)

- ฟอรัมาลดีไฮด์ (Formaldehyde; Univar, Australis)
- เอทิลแอลกอฮอล์ (Ethyl alcohol; J.T Baker, Malaysia)
- กรดไฮโดรคลอริก (Hydrochloric acid; Merk, Germany)
- กรดอะซิติก (Acetic acid; Analar, England)
- เบสสิคฟุชซิน (Basic fuchsin; Labchem, Australia)
- ไลท์กรีน (Light green; Fluka, Switzerland)
- กรดพีริออดิก (Periodic acid; Merck Chemical)
- เพอร์มัท (Permout; Fisher Chemical, USA)
- ไชลีน (Xylene; Panreac, England)
- พาราพลาสติก (Paraplast; Oxford, USA)
- โซเดียมไบซัลไฟต์ (Sodium bisulfite)
- น้ำกลั่น (Distilled water)

๓.๑.๓ สารเคมีสำหรับวัดโปรตีนโดยวิธี Bradford Protein Assay

- โบวีนซีรัมอัลบูมิน (Bovine serum albumin; Sigma Chemical Company, USA)
- คูแมซีบลู (Coomassie blue; Sigma Chemical Company, USA)
- กลีเซอริน (Glycerin; Ajax, Australia)
- เมทานอล (Methanol; Sigma Chemical Company, USA)
- กรดฟอสฟอริก (Phosphoric acid; Merck KGaA, Germany)
- โซเดียมไฮดรอกไซด์ (Sodium Hydroxide; NSW 2147, Australia)
- น้ำกลั่น (Distilled water)

๓.๑.๔ สารเคมีสำหรับวัดระดับน้ำตาลทรีฮาโลส Trehalose Assay

- แอนโทรน (Anthrone; HIMEDIA, India)
- กรดซัลฟูริก (Sulfuric acid; 95-97%, Merck, Germany)
- โซเดียมคลอไรด์ (Sodium chloride; Assay 99%, UNIVAR, USA)
- น้ำกลั่น (Distilled water)

๓.๑.๕ สารเคมีสำหรับวิเคราะห์ ชนิดของเชื้อโนซีมาโดยวิธี qPCR

- สารละลาย Chelex ความเข้มข้น 5 เปอร์เซ็นต์ (5% Chelex solution, Qiagen, Germany)
- เอทานอล (Ethanol, Qiagen, Germany)
- ไนโตรเจนเหลว (Liquid nitrogen, Qiagen, Germany)
- เอนไซม์โปรตีนเนสเค (Proteinase K, Qiagen, Germany)
- สารละลาย RNase A ความเข้มข้น 100 mg/ml (100 mg/ml RNase A stock solution, Qiagen, Germany)
- พอลิเมอเรส GoTaq® (0.5 U of GoTaq® polymerase, Promega, USA)
- นิวคลีโอไทด์ (dNTP, Promega, USA)
- บัฟเฟอร์ AP1 (Buffer AP1, Qiagen, Germany)
- บัฟเฟอร์ AP2 (Buffer AP2, Qiagen, Germany)
- บัฟเฟอร์ AP3/E (Buffer AP3/E, Qiagen, Germany)
- บัฟเฟอร์ AE (Buffer AE, Qiagen, Germany)
- บัฟเฟอร์ AW (Buffer AW, Qiagen, Germany)
- บัฟเฟอร์ปฏิกิริยา GoTaq® (2x GoTaq® reaction buffer, Promega, USA)
- ชุด DNeasy Plant Mini Kit (DNeasy Plant Mini Kit, Qiagen, Germany)
- ชุด QIAshredder Mini spin column (QIAshredder Mini spin column (lilac), Qiagen, Germany)
- ชุด DNeasy Mini spin column (DNeasy Mini spin column, Qiagen, Germany)
- ไพรเมอร์ฟอร์เวิร์ด Mnapis-F (Mnapis-F forward primer:
5'-GCATGTCTTTGACGACTATG-3')
- ไพรเมอร์ฟอร์เวิร์ด Mnbombi-F (Mnbombi-F forward primer:
5'-TTTATTTTATGTRYACMGCGAG-3')
- ไพรเมอร์ฟอร์เวิร์ด Mnceranae-F (Mnceranae-F forward primer:
5'- CGTTAAAGTGTAGATAAGATGTT-3')
- ไพรเมอร์รีเวิร์ส Muniv-R (Muniv-R reverse primer: 5'-
GACTTAGTAGCCGTCTCTC-3')

๓.๑.๖ สีย้อมและอาหารเลี้ยงเชื้อแบคทีเรีย

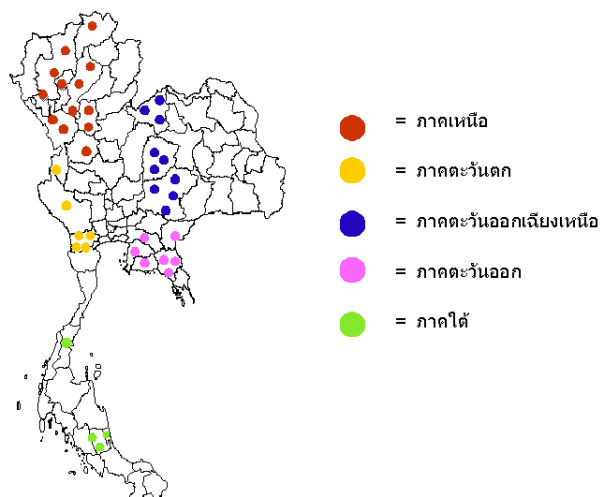
- Crystal Violet
- Gram's iodine
- 95% Alcohol
- Safranin O
- Tryptic soy agar (TSA)
- Tryptic soy broth (TSB)
- Lactobacillus MRS agar (MRS)
- Agarose powder

๓.๒ ตัวอย่างที่ใช้ทดลอง (Specimens)

- ผึ้งโพรง (*Apis cerana*) วรรณะผึ้งงาน (workers)
- ผึ้งหลวง (*A. dorsata*) วรรณะผึ้งงาน (workers)
- ผึ้งมี้ม (*A. florea*) วรรณะผึ้งงาน (workers)
- สปอร์ *Nosema ceranae*

๓.๓ บริเวณที่ศึกษา (Study site)

๓.๓.๑ เก็บตัวอย่างผึ้งหลวงตัวเต็มวัยจากบริเวณ ต่างๆ ทั่วประเทศไทย ดังแสดงในรูปที่ ๓.๑ และตารางที่ ๓.๑



รูปที่ ๓.๑ บริเวณที่เก็บตัวอย่างผึ้งหลวงเพื่อตรวจการติดเชื้อ *Nosema*

ตารางที่ ๓.๑ แสดงพิกัดภูมิศาสตร์ บริเวณที่เก็บตัวอย่างผึ้งหลวงเพื่อตรวจสอบการติดเชื้อ

Nosema spp.

กลุ่มตัวอย่าง ผึ้งหลวง	ภูมิภาค ของประเทศไทย	พิกัดภูมิศาสตร์	
		Latitude	Longitude
AD _N 1- AD _N 36	ภาคเหนือ	17.974133-20.360313	99.587304-99.923476
AD _W 1- AD _W 18	ภาคตะวันตก	13.539033-14.859500	99.328372-98.620979
AD _{NE} 1- AD _{NE} 30	ภาคตะวันออกเฉียงเหนือ	14.419667-17.699735	98.852304-101.676645
AD _E 1- AD _E 21	ภาคตะวันออก	13.283178-12.736600	100.926633-102.217006
AD _S 1- AD _S 14	ภาคใต้	78.049007-76.614614	101.887999-100.081209

๓.๓.๒ การศึกษาทดลองเกี่ยวกับการติดเชื้อ (Experimental infection) *N. ceranae* ในผึ้งหลวง ทำการศึกษาทดลอง ณ ห้องทดลองของภาควิชาชีววิทยา ห้อง BS 3108 อาคารวิทยาศาสตร์ชีวภาพ คณะวิทยาศาสตร์ มหาวิทยาลัยบูรพา

๓.๓.๓ การวิเคราะห์ชนิดของเชื้อโนซีมา โดยใช้วิธีทางชีวโมเลกุล (Molecular identification of *Nosema* species) ณ ห้องปฏิบัติการ Martin-Luther-University, Institute of Biology/Zoology, Hoher Weg 8, Halle (Saale), Germany ร่วมกับ Professor Dr. Robert J. Paxton, และที่ Department of Entomology, University of Hamburg, Hamburg, Germany (ร่วมกับ Professor Dr. Martin Husemann)

๓.๔ วิธีการดำเนินการวิจัย

๓.๔.๑ การศึกษาการแพร่ระบาดของเชื้อ *Nosema ceranae* และการเพิ่มจำนวนเชื้อในห้องปฏิบัติการ

วิธีปฏิบัติ

๓.๔.๑.๑ สุ่มเก็บตัวอย่างผึ้งงานระยะตัวเต็มวัยของผึ้งหลวง (*A. dorsata*) จากภาคต่างๆ ทั่วประเทศ

๓.๔.๑.๒ สุ่มเก็บผึ้งงานจำนวน 50 ตัว/รัง/ชนิด/บริเวณ

๓.๔.๑.๓ นำผึ้งตัวอย่างใส่ลงในสารละลายเอทานอลความเข้มข้นร้อยละ 70% (v/v) ที่บรรจุอยู่ในขวดที่มีฝาปิดสนิท เพื่อนำกลับไปตรวจนับหาเชื้อละอองน้ำจำนวนสปอร์ในห้องปฏิบัติการ (โดยใช้ Hemocytometer)

๓.๔.๑.๔ นำตัวอย่างผึ้งมาดึงเอาทางเดินอาหารส่วนกลาง (midgut) ออก โดยใช้ปากคีบปลายแหลมขนาดเล็ก

๓.๔.๑.๕ นำทางเดินอาหารส่วนกลางใส่ลงใน microcentrifuge tube ขนาด 1.5 ml/ทางเดินอาหารของผึ้ง 20 ตัว ที่ภายในบรรจุน้ำกลั่นปริมาตร 200 ไมโครลิตรแล้วบดด้วย homogenizer ขนาดเล็ก

๓.๔.๑.๖ นำไปปั่นด้วยเครื่อง Centrifuge ที่ 6,000 g เป็นเวลา 10 นาที

๓.๔.๑.๗ ใช้ Pasteur pipette ดูดเอาส่วนที่เป็นตะกอนสีขาวออกมาแล้วใส่ลงใน micro-centrifuge tube ขนาด 1.5 ml อีกอันหนึ่งที่ภายในบรรจุน้ำกลั่นปริมาตร 200 ไมโครลิตร

๓.๔.๑.๘ นำเอา micro-centrifuge tube ในข้อ ๓.๔.๑.๗ ไป vortex ให้เป็นเนื้อเดียวกันแล้วนำไปนับเซลล์ ด้วยเครื่อง Hemocytometer (ในกรณีที่พบสปอร์ของโนซีมา)

๓.๔.๑.๙ บันทึกจำนวนสปอร์ต่อ 1 ไมโครลิตร

๓.๔.๑.๑๐ ทำเช่นเดียวกันในผึ้งทุกชนิด และทุกบริเวณศึกษา จนได้จำนวนสปอร์เพียงพอต่อความต้องการ

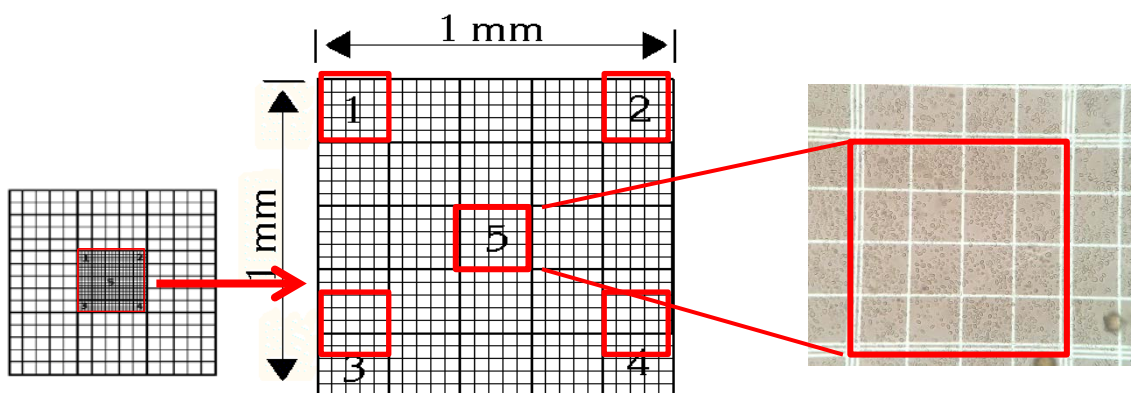
๓.๔.๑.๑๑ นำสปอร์ที่ได้ไปป้อนให้กับผึ้งงานของผึ้งพันธุ์อายุ 1 วัน โดยใช้ 0.5×10^6 สปอร์ต่อผึ้ง 1 ตัว แล้วเลี้ยงใน incubator ที่อุณหภูมิ 34 องศาเซลเซียส ความชื้นสัมพัทธ์ 50 % นำผึ้งที่ตายในแต่ละวันมาตรวจนับ โนซีมาเพื่อเก็บไว้สำหรับการทดลองต่อไป

๓.๔.๒ การนับจำนวนสปอร์ *Nosema ceranae* (Spore Counting)

วิธีปฏิบัติ

๓.๔.๒.๑ ใช้ไมโครปิเปตดูดสปอร์ที่ผสมในน้ำกลั่นจากหลอดไมโครเซ็นทริฟิวก์บรรจุลงใน ฮีโมไซโตมิเตอร์ปริมาตร 6.8 μ l ปิดด้วยกระจกปิดสไลด์

๓.๔.๒.๒ นับจำนวนสปอร์ *N. ceranae* ในช่อง 5 ช่อง (1, 1) (1, 5) (3, 3) (5, 1) (5, 5) จากทั้งหมด 25 ช่องของฮีโมไซโตมิเตอร์ ดังภาพที่ ๓.๒



รูปที่ ๓.๒ การนับจำนวนสปอร์ *N. ceranae* โดยใช้ฮีโมไซโตมิเตอร์ (hemocytometer)

นับจำนวนสปอร์และนำไปคำนวณจำนวนสปอร์/ปริมาตร ได้ดังนี้
 จากปริมาตรของเหลวในฮีโมไซโทมิเตอร์ เท่ากับ ความกว้าง x ความยาว x ความลึก
 เท่ากับ 1 มม. X 1 มม. X 0.1 มม.
 เท่ากับ 0.1 ลบ.มม. หรือ 0.0001 ลบ.ซม.
 เท่ากับ 10^{-4} มล.

ดังนั้น จำนวนเซลล์ (Cell count) = x cell x (25/5) ช่อง x 10^4 เซลล์/มิลลิลิตร
 หรือ x cell x (25/5) ช่อง x 10 เซลล์/ไมโครลิตร

๓.๔.๓ ศึกษาอัตราการตาย (Mortality) ของผึ้งงานของผึ้งหลวง หลังจากที่ได้รับเชื้อ
N. ceranae ระดับต่าง ๆ

วิธีปฏิบัติ

๓.๔.๓.๑ นำคอนผึ้งหลวงที่ประกอบด้วยดักแด้ที่กำลังจะออกมาเป็นตัวเต็มวัย จากรัง
 ของบริเวณที่พบในสถานที่ต่าง ๆ ใส่ในกรงผึ้งแล้วนำมาใส่ใน incubator ที่ตั้งอุณหภูมิที่ 34 องศา
 เซลเซียส ความชื้นสัมพัทธ์ 50 % เพื่อให้ผึ้งฟักออกมาเป็นตัวเต็มวัย โดยใช้เวลาประมาณ 24-30
 ชั่วโมง

๓.๔.๓.๒ นำผึ้งตัวเต็มวัยที่ฟักออกมา (ซึ่งถือว่าเป็นผึ้งงานอายุ 1 วัน) จาก incubator

๓.๔.๓.๓ แบ่งผึ้งออกเป็น 4 กลุ่มคือ กลุ่มละ 50 ตัว/รัง ชนิดละ 3 รัง

กลุ่มที่ 1 กลุ่มควบคุม ป้อนด้วยสารละลายซูโครส 50% ปริมาตร 2 ไมโครลิตร/ผึ้ง
 1 ตัว

กลุ่มที่ 2 ป้อนด้วยสารละลายซูโครส 50% ที่มีสปอร์ของโนซีมา ความเข้มข้น
 0.5×10^6 สปอร์ / 2 ไมโครลิตร (ป้อนปริมาตร 2 ไมโครลิตร) / ผึ้ง 1 ตัว

กลุ่มที่ 3 ป้อนด้วยสารละลายซูโครส 50% ที่มีสปอร์ของโนซีมา ความเข้มข้น ความ
 เข้มข้น 0.5×10^6 สปอร์ / 2 ไมโครลิตร (ป้อนปริมาตร 2 ไมโครลิตร) / ผึ้ง 1 ตัว
 ไม่ให้สารละลายไคโตซาน

กลุ่มที่ 4 ป้อนด้วยสารละลายซูโครส 50% ที่มีสปอร์ของโนซีมา ความเข้มข้น
 0.5×10^6 สปอร์ / 2 ไมโครลิตร (ป้อนปริมาตร 2 ไมโครลิตร) / ผึ้ง 1 ตัว ให้
 สารละลายไคโตซานความเข้มข้น 1 ppm

๓.๔.๓.๔ นำผึ้งในข้อ **๓.๔.๓.๓** ใส่ในกรงเลี้ยงขนาดเล็ก (Bee cage) ขนาด
 $80 \times 135 \times 130 \text{ mm}^3$ (ผาด้านหน้ามีแผ่นเลื่อนเพื่อสะดวกต่อการนำเอาผึ้งออก ผงด้านหลังในกรง
 บรรจุ queen pheromone ที่ยึดติดกับกระดาษแข็งยึดไว้แน่นกับกรง) โดยแยกใส่กรงละ 50

ตัว/treatment ผึ้งแต่ละกลุ่มในแต่ละกรงจะให้อาหารโดยใช้ สารละลายซูโครส 50% เกสรผสม สารละลายน้ำตาลซูโครส 50% และน้ำกลั่น

๓.๔.๓.๕ นำกรงผึ้งทั้งหมด ใส่ใน Incubator ที่ตั้งอุณหภูมิที่ 34 °C ความชื้นสัมพัทธ์ 50%

๓.๔.๓.๖ ตรวจสอบอัตราการตายของผึ้งแต่ละกลุ่มทุกวัน จนกระทั่งผึ้งตายหมด

๓.๔.๓.๗ ตรวจสอบหาเชื้อและนับจำนวนสปอร์ของผึ้งแต่ละตัวของกลุ่มที่ให้เชื้อโดยใช้วิธีการเดียวกันกับข้างต้น

๓.๔.๓.๘ บันทึกข้อมูลเพื่อนำวิเคราะห์ ค่าทางสถิติต่อไป

๓.๔.๔ ศึกษาอัตราการติดเชื้อ *Nosema ceranae* โดยศึกษาร้อยละระหว่างเซลล์ที่มีสปอร์ (infected cells) กับเซลล์ที่ไม่มีสปอร์ (non infected cells) ของเซลล์เยื่อบุทางเดินอาหารส่วนกลางของผึ้งงานผึ้งหลวง

วิธีปฏิบัติ

๓.๔.๔.๑ นำคอนผึ้งหลวงที่ประกอบด้วยดักแด่ที่กำลังจะออกมาเป็นตัวเต็มวัย จากรังของบริเวณที่พบในสถานที่ต่าง ๆ ใส่ในกรงผึ้งแล้วนำมาใส่ใน incubator ที่ตั้งอุณหภูมิที่ 34 องศาเซลเซียส ความชื้นสัมพัทธ์ 50 % เพื่อให้ผึ้งฟักออกมาเป็นตัวเต็มวัย โดยใช้เวลาประมาณ 24-30 ชั่วโมง

๓.๔.๔.๒ นำผึ้งตัวเต็มวัยที่ฟักออกมา (ซึ่งถือว่าเป็นผึ้งงานอายุ 1 วัน) จาก incubator

๓.๔.๔.๓ แบ่งผึ้งออกเป็น 4 กลุ่มคือ กลุ่มละ 50 ตัว/รัง ชนิดละ 3 รัง

กลุ่มที่ 1 กลุ่มควบคุม ป้อนด้วยสารละลายซูโครส 50% ปริมาตร 2 ไมโครลิตร/ผึ้ง 1 ตัว

กลุ่มที่ 2 ป้อนด้วยสารละลายซูโครส 50% ที่มีสปอร์ของโนซีมา ความเข้มข้น 0.5×10^6 สปอร์ / 2 ไมโครลิตร (ป้อนปริมาตร 2 ไมโครลิตร) / ผึ้ง 1 ตัว

กลุ่มที่ 3 ป้อนด้วยสารละลายซูโครส 50% ที่มีสปอร์ของโนซีมา ความเข้มข้น ความเข้มข้น 1.0×10^6 สปอร์ / 2 ไมโครลิตร (ป้อนปริมาตร 2 ไมโครลิตร) / ผึ้ง 1 ตัว ไม่ให้สารละลายไคโตซาน

กลุ่มที่ 4 ป้อนด้วยสารละลายซูโครส 50% ที่มีสปอร์ของโนซีมา ความเข้มข้น 0.5×10^6 สปอร์ / 2 ไมโครลิตร (ป้อนปริมาตร 2 ไมโครลิตร) / ผึ้ง 1 ตัว ให้สารละลายไคโตซานความเข้มข้น 1 ppm

๓.๔.๔.๔ นำผึ้งในข้อ **๓.๔.๔.๓** ใส่ในกรงเลี้ยงขนาดเล็ก (Bee cage) ขนาด $80 \times 135 \times 130 \text{ mm}^3$ (ผาด้านหน้ามีแผ่นเลื่อนเพื่อสะดวกต่อการนำเอาผึ้งออก ผงด้านหลังในกรง

บรรจุ queen pheromone ที่ยึดติดกับกระดาษแข็งยึดใ้แน่นกับกรง) โดยแยกใส่กรงละ 50 ตัว/treatment ผึ่งแต่ละกลุ่มในแต่ละกรงจะให้อาหารโดยใช้ สารละลายซูโครส 50% เกสรผสม สารละลายน้ำตาลซูโครส 50% และน้ำกลั่น

๓.๔.๔.๕ นำกรงผึ้งทั้งหมด ใส่ใน Incubator ที่ตั้งอุณหภูมิที่ 34 °C ความชื้นสัมพัทธ์ 50%

๓.๔.๔.๖ นำผึ้งแต่ละกรง ในวันที่ 10 และ วันที่ 15 มา กรงละ 10 ตัว โดยแบ่ง ออกเป็น 2 กลุ่ม ๆ ละ 5 ตัว มาตั้งเอาทางเดินอาหารส่วนกลางออกมาเพื่อไปเตรียมตัวอย่างเพื่อ ศึกษาภายใต้กล้องจุลทรรศน์แบบใช้แสง (LM) และกล้องจุลทรรศน์อิเล็กตรอนแบบส่องผ่าน (TEM)

๓.๔.๔.๗ นับจำนวนเซลล์ที่พบสปอร์ในหนึ่งร้อยเซลล์ เพื่อหาร้อยละของการติดเชื้อ ภายในเซลล์ (infection ratio) และศึกษาโครงสร้างของเซลล์

๓.๔.๔.๘ นำข้อมูลที่ได้วิเคราะห์ทางสถิติ

๓.๔.๕ ขั้นตอนสำหรับการเตรียมการศึกษาภายใต้กล้องจุลทรรศน์แบบใช้แสง (LM)
(Protocol for studying by light microscopy)

วิธีปฏิบัติ

๓.๔.๕.๑ นำตัวอย่างผึ่งแต่ละกลุ่ม มาศึกษาใต้กล้องจุลทรรศน์ด้วยวิธี Paraffin technique (Modified Humason, 1972) ดังนี้

นำตัวอย่างทางเดินอาหารใส่ในขวดเก็บตัวอย่าง (Vials) แช่ในน้ำยารักษาสภาพ Bouin's fluid solution เป็นเวลา 24 ชั่วโมง

↓
ล้างด้วย 70% ethanol 3 ครั้ง จนสีเหลืองจางลง

↓
ดึงน้ำออกโดยแช่ตัวอย่างใน ethanol 70%, 90%, 90% และ 95% อย่างละ 6 ชั่วโมง

↓
นำตัวอย่างแช่ใน n-butyl 1 ชั่วโมง

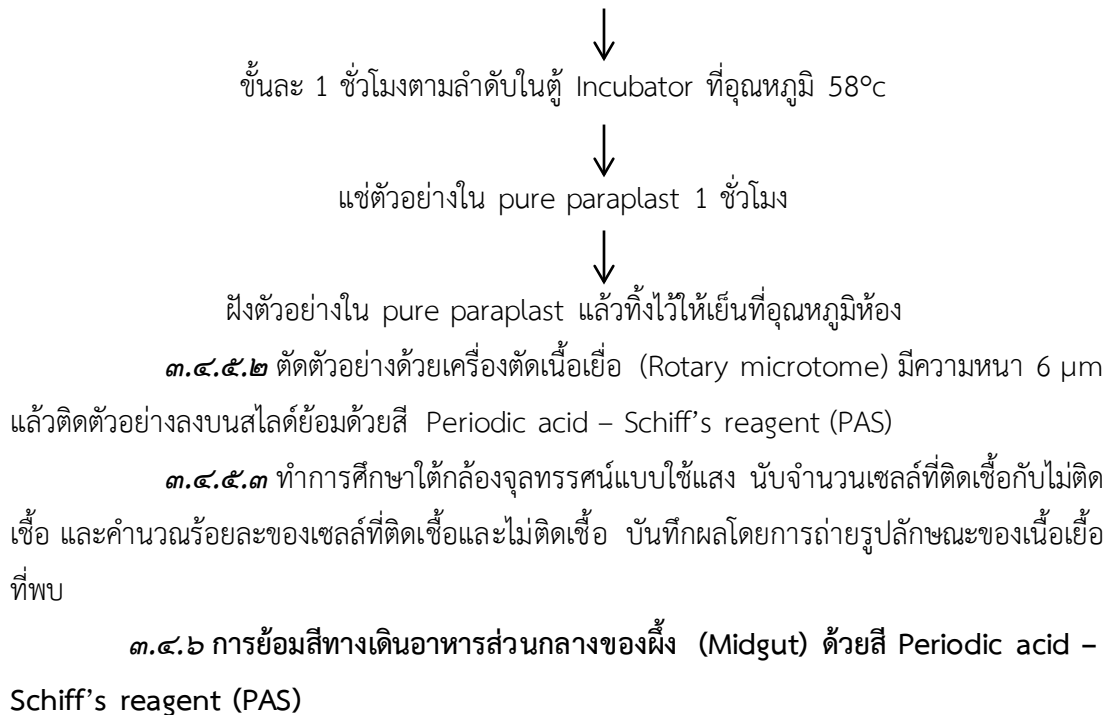
↓
นำตัวอย่างแช่ใน xylene : paraplast ในอัตราส่วน

2 : 1

1 : 1

1 : 2

↓



วิธีปฏิบัติ

แช่สไลด์ใน Staining jar ที่มี Xylene ซ้ำ 2 ครั้ง ครั้งละ 5 นาที

↓

แช่ด้วย Absolute alcohol 5 นาที

↓

แช่ด้วย Alcohol 95% 90% และ 70% อย่างละ 5 นาที

↓

แช่ด้วยน้ำกลั่น 5 นาที

↓

แช่ด้วย Periodic acid 5 นาที

↓

แช่ด้วยน้ำกลั่น 3 นาที

↓

แช่ด้วย Schiff's Leuco - fuchsin 15 นาที

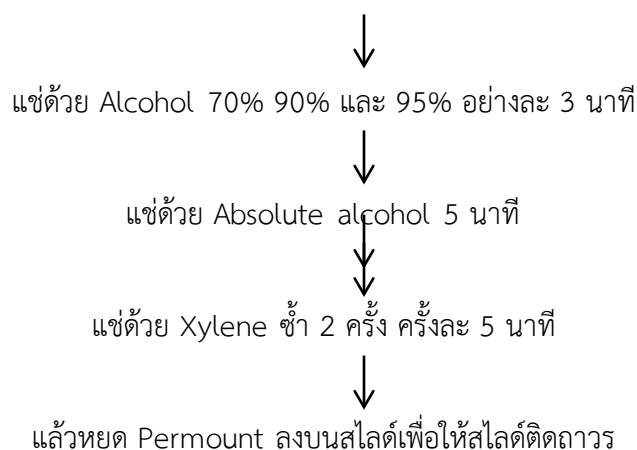
↓

ล้างโดยปล่อยน้ำไหลผ่าน 10 นาที

↓

แช่ด้วย Light green 30 วินาที





๓.๔.๗ ศึกษาการเปลี่ยนแปลงโครงสร้างและอัตราการติดเชื้อ *Nosema ceranae*

ศึกษาร้อยละระหว่างเซลล์ที่มีสปอร์ (infected cells) กับเซลล์ที่ไม่มีสปอร์ (non infected cells) ของเซลล์สร้างสาร (secretory cells) ของต่อมไฮโปฟาริงค์ (hypopharyngeal glands) ของผึ้งงานกลุ่มผึ้งพยาบาล (nurse bees)

วิธีปฏิบัติ

๓.๔.๗.๑ นำคอนผึ้งหลวงที่ประกอบด้วยดักแด้ที่กำลังจะออกมาเป็นตัวเต็มวัย จากรังของบริเวณที่พบในสถานที่ต่าง ๆ ใส่ในกรงผึ้งแล้วนำมาใส่ใน incubator ที่ตั้งอุณหภูมิที่ 34 องศาเซลเซียส ความชื้นสัมพัทธ์ 50 % เพื่อให้ผึ้งฟักออกมาเป็นตัวเต็มวัย โดยใช้เวลาประมาณ 24-30 ชั่วโมง

๓.๔.๗.๒ นำผึ้งตัวเต็มวัยที่ฟักออกมา (ซึ่งถือว่าเป็นผึ้งงานอายุ 1 วัน) จาก incubator

๓.๔.๗.๓ แบ่งผึ้งออกเป็น 4 กลุ่มคือ กลุ่มละ 50 ตัว/รัง ชนิดละ 3 รัง

กลุ่มที่ 1 กลุ่มควบคุม ป้อนด้วยสารละลายซูโครส 50% ปริมาตร 2 ไมโครลิตร / ผึ้ง 1 ตัว

กลุ่มที่ 2 ป้อนด้วยสารละลายซูโครส 50% ที่มีสปอร์ของโนซีมา ความเข้มข้น 0.5×10^6 สปอร์ / 2 ไมโครลิตร (ป้อนปริมาตร 2 ไมโครลิตร) / ผึ้ง 1 ตัว

กลุ่มที่ 3 ป้อนด้วยสารละลายซูโครส 50% ที่มีสปอร์ของโนซีมา ความเข้มข้น ความเข้มข้น 1.0×10^6 สปอร์ / 2 ไมโครลิตร (ป้อนปริมาตร 2 ไมโครลิตร) / ผึ้ง 1 ตัว ไม่ให้สารละลายไคโตซาน

กลุ่มที่ 4 ป้อนด้วยสารละลายซูโครส 50% ที่มีสปอร์ของโนซีมา ความเข้มข้น 0.5×10^6 สปอร์ / 2 ไมโครลิตร (ป้อนปริมาตร 2 ไมโครลิตร) / ผึ้ง 1 ตัว ให้สารละลายไคโตซานความเข้มข้น 1 ppm 50

๓.๔.๗.๔ นำผึ้งในข้อ **๓.๔.๗.๓** ใส่ในกรงเลี้ยงขนาดเล็ก (Bee cage) ขนาด $80 \times 135 \times 130 \text{ mm}^3$ (ผาด้านหน้ามีแผ่นเลื่อนเพื่อสะดวกต่อการนำเอาผึ้งออก ผงด้านหลังในกรงบรรจุ queen pheromone ที่ยึดติดกับกระดาษแข็งยึดไว้แน่นกับกรง) โดยแยกใส่กรงละ 50 ตัว/treatment ผึ้งแต่ละกลุ่มในแต่ละกรงจะให้อาหารโดยใช้ สารละลายซูโครส 50% เกสรผสม สารละลายน้ำตาลซูโครส 50% และน้ำกลั่น

๓.๔.๗.๕ นำกรงผึ้งทั้งหมด ใส่ใน Incubator ที่ตั้งอุณหภูมิที่ 34°C ความชื้นสัมพัทธ์ 50%

๓.๔.๗.๖ นำผึ้งแต่ละกรง ในวันที่ 10 และ วันที่ 15 มา กรงละ 10 ตัว โดยแบ่งออกเป็น 2 กลุ่ม ๆ ละ 5 ตัว มาตั้งเอาทางเดินอาหารส่วนกลางออกมาเพื่อไปเตรียมตัวอย่างเพื่อศึกษาภายใต้กล้องจุลทรรศน์แบบใช้แสง (LM) และกล้องจุลทรรศน์อิเล็กตรอนแบบส่องผ่าน (TEM)

๓.๔.๗.๗ นับจำนวนเซลล์ที่พบสปอร์ในหนึ่งร้อยเซลล์ เพื่อหาร้อยละของการติดเชื้อภายในเซลล์ (Infection ratio) รวมทั้งศึกษาโครงสร้างของเซลล์ และนำข้อมูลที่ได้อธิบายทางสถิติ

๓.๔.๘ ศึกษาผลของเชื้อ *Nosema ceranae* ต่อระดับน้ำตาล Trehalose ใน Haemolymph ของผึ้งหลวง

วิธีปฏิบัติ

๓.๔.๘.๑ นำคอนผึ้งหลวงที่ประกอบด้วยดักแด่ที่กำลังจะออกมาเป็นตัวเต็มวัย จากรังของบริเวณที่พบในสถานที่ต่าง ๆ ใส่ในกรงผึ้งแล้วนำมาใส่ใน incubator ที่ตั้งอุณหภูมิที่ 34°C องศาเซลเซียส ความชื้นสัมพัทธ์ 50 % เพื่อให้ผึ้งฟักออกมาเป็นตัวเต็มวัย โดยใช้เวลาประมาณ 24-30 ชั่วโมง

๓.๔.๘.๒ นำผึ้งตัวเต็มวัยที่ฟักออกมา (ซึ่งถือว่าเป็นผึ้งงานอายุ 1 วัน) จาก incubator

๓.๔.๘.๓ แบ่งผึ้งออกเป็น 4 กลุ่มคือ กลุ่มละ 50 ตัว/รัง ชนิดละ 3 รัง

กลุ่มที่ 1 กลุ่มควบคุม ป้อนด้วยสารละลายซูโครส 50% ปริมาตร 2 ไมโครลิตร/ผึ้ง 1 ตัว

กลุ่มที่ 2 ป้อนด้วยสารละลายซูโครส 50% ที่มีสปอร์ของโนซีมา ความเข้มข้น 0.5×10^6 สปอร์ / 2 ไมโครลิตร (ป้อนปริมาตร 2 ไมโครลิตร) / ผึ้ง 1 ตัว

กลุ่มที่ 3 ป้อนด้วยสารละลายซูโครส 50% ที่มีสปอร์ของโนซีมา ความเข้มข้น ความเข้มข้น 1.0×10^6 สปอร์ / 2 ไมโครลิตร (ป้อนปริมาตร 2 ไมโครลิตร) / ผึ้ง 1 ตัว ไม่ให้สารละลายไคโตซาน

กลุ่มที่ 4 ป้อนด้วยสารละลายซูโครส 50% ที่มีสปอร์ของโนซีมา ความเข้มข้น 0.5×10^6 สปอร์ / 2 ไมโครลิตร (ป้อนปริมาตร 2 ไมโครลิตร) / ผี 1 ตัว ให้สารละลายไคโตซานความเข้มข้น 1 ppm

๓.๔.๘.๔ นำผีในข้อ ๓.๔.๘.๓ ใส่ในกรงเลี้ยงขนาดเล็ก ขนาด $80 \times 135 \times 130 \text{ mm}^3$ (ผาด้านหน้ามีแผ่นเลื่อนเพื่อสะดวกต่อการนำเอาผีออก ผงด้านหลังในกรงบรรจุ Queen pheromone ที่ยึดติดกับกระดาษแข็งยึดไว้แน่นกับกรง) โดยแยกใส่กรงละ 50 ตัว/treatment ผีในแต่ละกลุ่มในแต่ละกรงจะให้อาหารโดยใช้ สารละลายซูโครส 50% เกสรผสมสารละลายน้ำตาลซูโครส 50% และน้ำกลั่น

๓.๔.๘.๕ นำกรงผีทั้งหมด ใส่ใน Incubator ที่ตั้งอุณหภูมิที่ $34 \text{ }^\circ\text{C}$ ความชื้นสัมพัทธ์ 50%

๓.๔.๘.๖ นำผีแต่ละกรง ในวันที่ 3 6 10 และ วันที่ 14 มา กรงละ 10 ตัว เพื่อดูดเอา Haemolymph ให้ได้ปริมาตรรวม 50 ไมโครลิตรต่อกลุ่ม เพื่อไปเตรียมตัวอย่างเพื่อศึกษาระดับของน้ำตาล Trehalose ใน Haemolymph (Suwannapong et al., 2014, under review in journal of Plos one)

๓.๔.๘.๗ นับจำนวนเซลล์ที่พบสปอร์ในหนึ่งร้อยเซลล์ เพื่อหาร้อยละของการติดเชื้อภายในเซลล์ (infection ratio) และศึกษาโครงสร้างของเซลล์

๓.๔.๘.๘ นำข้อมูลที่ได้วิเคราะห์ทางสถิติ

๓.๔.๙ การวัดระดับน้ำตาลทรีฮาโลส (Trehalose Assay)

วิธีปฏิบัติ

๓.๔.๙.๑ นำผีหลวงกลุ่มติดเชื้อและกลุ่มควบคุมในวันที่ 6 10 และ 14 ออกจากกรงกรงละ 10 ตัว จากนั้นเก็บรักษาที่อุณหภูมิ $-20 \text{ }^\circ\text{C}$ เวลา 5 นาที แล้วนำผีมาเก็บตัวอย่าง Haemolymph

๓.๔.๙.๒ ใช้หลอดแคพิลลารีดูด Haemolymph $5 \mu\text{l}$ ต่อตัวแล้วใส่ในหลอดทดลองที่มีสารละลาย normal saline $45 \mu\text{l}$

๓.๔.๙.๓ เติมสารละลาย Anthrone 2.9 ml แล้วนำไปปั่นด้วย Vortexer 30 วินาที ก่อนนำไปแช่ในอ่างน้ำเดือดทิ้งไว้ 15 นาที แล้วแช่ในอ่างน้ำเย็นทิ้งไว้ 20 นาที

๓.๔.๙.๔ อ่านค่าการดูดกลืนแสงด้วย spectrophotometer ที่ความยาวคลื่น 620 nm และสร้างกราฟมาตรฐานด้วยสารละลาย Trehalose ที่เตรียมขึ้น แล้วนำไปวิเคราะห์ข้อมูลทางสถิติโดยให้โปรแกรม PAST ต่อไป

๓.๔.๑๐ ศึกษาผลเชื้อ *Nosema ceranae* ต่อปริมาณโปรตีนของต่อมไฮโปฟาริงค์ของ ผึ้งหลวง

วิธีปฏิบัติ

๓.๔.๑๐.๑ นำคอนผึ้งหลวงที่ประกอบด้วยดักแด่ที่กำลังจะออกมาเป็นตัวเต็มวัย จากรังของบริเวณที่พบในสถานที่ต่าง ๆ ใส่ในกรงผึ้งแล้วนำมาใส่ใน incubator ที่ตั้งอุณหภูมิที่ 34 องศาเซลเซียส ความชื้นสัมพัทธ์ 50 % เพื่อให้ผึ้งฟักออกมาเป็นตัวเต็มวัย โดยใช้เวลาประมาณ 24-30 ชั่วโมง

๓.๔.๑๐.๒ นำผึ้งตัวเต็มวัยที่ฟักออกมา (ซึ่งถือว่าเป็นผึ้งงานอายุ 1 วัน) จาก incubator

๓.๔.๑๐.๓ แบ่งผึ้งออกเป็น 4 กลุ่มคือ กลุ่มละ 50 ตัว/รัง ชนิดละ 3 รัง

กลุ่มที่ 1 กลุ่มควบคุม ป้อนด้วยสารละลายซูโครส 50% ปริมาตร 2 ไมโครลิตร/ ผึ้ง 1 ตัว

กลุ่มที่ 2 ป้อนด้วยสารละลายซูโครส 50% ที่มีสปอร์ของโนซีมา ความเข้มข้น 0.5×10^6 สปอร์ / 2 ไมโครลิตร (ป้อนปริมาตร 2 ไมโครลิตร) / ผึ้ง 1 ตัว

กลุ่มที่ 3 ป้อนด้วยสารละลายซูโครส 50% ที่มีสปอร์ของโนซีมา ความเข้มข้น ความเข้มข้น 1.0×10^6 สปอร์ / 2 ไมโครลิตร (ป้อนปริมาตร 2 ไมโครลิตร) / ผึ้ง 1 ตัว ไม่ให้สารละลายไคโตซาน

กลุ่มที่ 4 ป้อนด้วยสารละลายซูโครส 50% ที่มีสปอร์ของโนซีมา ความเข้มข้น 0.5×10^6 สปอร์ / 2 ไมโครลิตร (ป้อนปริมาตร 2 ไมโครลิตร) / ผึ้ง 1 ตัว ให้สารละลายไคโตซานความเข้มข้น 1 ppm

๓.๔.๑๐.๔ นำผึ้งในข้อ **๓.๔.๑๐.๓** ใส่ในกรงเลี้ยงขนาด $80 \times 135 \times 130 \text{ mm}^3$ (ผาด้านหน้ามีแผ่นเลื่อนเพื่อสะดวกต่อการนำเอาผึ้งออก ผ่นด้านหลังในกรงบรรจุ queen pheromone ที่ยึดติดกับกระดาษแข็งยึดไว้แน่นกับกรง) โดยแยกใส่กรงละ 50 ตัว/treatment ผึ้งแต่ละกลุ่มในแต่ละกรงจะให้อาหารโดยใช้ สารละลายซูโครส 50% เกสรผสมสารละลายน้ำตาลซูโครส 50% และน้ำกลั่น

๓.๔.๑๐.๕ นำกรงผึ้งทั้งหมด ใส่ใน Incubator ที่ตั้งอุณหภูมิที่ 34 °C ความชื้นสัมพัทธ์ 50%

๓.๔.๑๐.๖ นำผึ้งแต่ละกรง ในวันที่ 3 6 10 และ วันที่ 14 มา กรงละ 10 ตัว เพื่อนำมาผ่าตัดเอาต่อมไฮโปฟาริงค์ออกและนำไปวัดค่า โปรตีนโดยใช้ Bradford standard assay (Bradford, 1976)

๓.๔.๑๐.๗ นับจำนวนเซลล์ที่พบสปอร์ในหนึ่งร้อยเซลล์ เพื่อหาร้อยละของการติดเชื้อภายในเซลล์ (infection ratio) และศึกษาโครงสร้างของเซลล์

๓.๔.๑๐.๘ นำข้อมูลที่ได้วิเคราะห์ทางสถิติ

๓.๔.๑๑ การวัดปริมาณโปรตีนบริเวณต่อมไฮโปฟาริงจ์ (Hypopharyngeal gland protein contents: Bradford assay)

วิธีปฏิบัติ

๓.๔.๑๑.๑ นำผึ้งหลวงกลุ่มติดเชื้อและกลุ่มควบคุมในวันที่ 6 10 และ 14 ออกจากกรงกรงละ 10 ตัว จากนั้นเก็บรักษาที่อุณหภูมิ -20 °c เวลา 5 นาที แล้วทำการผ่าต่อมไฮโปฟาริงจ์ (Hypopharyngeal gland) ทั้งสองข้างใส่ลงใน 1.5 ml micro-centrifuge tubes ที่มี phosphate buffer 50 µl ที่ค่า pH 7.8 และแช่ไว้ในน้ำแข็ง เมื่อผ่าครบทั้ง 10 ตัวแล้วให้นำไปปั่นเหวี่ยงด้วย micro-centrifuge ที่ 1,000 g เป็นเวลา 2 นาที

๓.๔.๑๑.๒ ปิเปตสารละลาย supernatant เพื่อนำไปวิเคราะห์ปริมาณโปรตีนจากต่อมไฮโปฟาริงค์ของผึ้งแต่ละตัว โดยใช้วิธี Bradford protein assay (Bradford, 1976)

๓.๔.๑๑.๓ เตรียมกราฟมาตรฐานจาก bovine serum albumin (BSA) ทำการวัดค่าการดูดกลืนแสงของโปรตีนในช่วงคลื่น 595 nm โดยใช้ Shimadzu UV-visible spectrophotometer (UV-1610)

๓.๔.๑๑.๔ นำค่าการดูดกลืนแสงที่ได้มาคำนวณหาความเข้มข้นของโปรตีน โดยการเปรียบเทียบกับกราฟมาตรฐานที่เตรียมไว้ และวิเคราะห์ข้อมูลทางสถิติโดยให้โปรแกรม PAST ต่อไป

๓.๔.๑๒ การวิเคราะห์ชนิดของเชื้อ *Nosema ceranae* โดยอาศัยการจำแนกทางชีวโมเลกุล (molecular identification)

วิธีปฏิบัติ

ทำ ณ ห้องปฏิบัติการ Martin-Luther-University, Institute of Biology/Zoology, Hoher Weg 8, Halle (Saale), Germany

๓.๔.๑๒.๑ นำตัวอย่างผึ้งงานที่เก็บจากแต่ละบริเวณของประเทศไทย มาตั้งเอาทางเดินอาหารส่วนกลางออกเพื่อนำไปสกัดเอาดีเอ็นเอ

๓.๔.๑๒.๒ นำไปสกัด DNA และนำไปจำแนกชนิดโดยใช้เทคนิค qPCR (Higes et al., 2013)

๓.๔.๑๓ ศึกษาชนิดและปริมาณของแบคทีเรียในทางเดินอาหารของผึ้งหลวงที่บริเวณต่างๆ ในประเทศไทย เปรียบเทียบกับผึ้งมิมและผึ้งโพรง

วิธีปฏิบัติ

๓.๔.๑๓.๑ นำตัวอย่างผึ้งวรรณะผึ้งงานจำนวน 5 ตัว แช่ลงใน 70% ethanol เป็นเวลา 1 นาที, 5% sodium hypochlorite เป็นเวลา 1 นาที และ น้ำกลั่นที่ปราศจากเชื้อ เป็นเวลา 1 นาที ตามลำดับ

๓.๔.๑๓.๒ ดึงทางเดินอาหารของผึ้งใส่ในหลอดทดลองที่มี 0.85% NaCl ปริมาตร 200 ไมโครลิตร จากนั้นบดให้ละเอียด

๓.๔.๑๓.๓ เจือจางตัวอย่างแบบ ten-fold serial dilution โดยใช้สารละลาย 0.85% NaCl เจือจางจนได้ระดับความเจือจางที่ต้องการ (10, 100, 1,000, 10,000 เท่า)

๓.๔.๑๓.๔ นำตัวอย่างที่เจือจางแล้วในแต่ละระดับการเจือจางปริมาตร 100 ไมโครลิตรลงในอาหารเลี้ยงเชื้อ MRS agar จากนั้นทำการเกลี่ย (spread) ตัวอย่างให้ทั่วผิวน้ำอาหาร

๓.๔.๑๓.๕ นำจานอาหารเลี้ยงเชื้อที่ลงเชื้อแล้วทั้งหมด บ่มใน Incubator ที่ตั้งอุณหภูมิที่ 34 °C ในสภาวะไม่มีออกซิเจน เป็นเวลา 48 ชั่วโมง

๓.๔.๑๓.๖ นับจำนวนแบคทีเรียแต่ละชนิดที่ขึ้นบนจานอาหารเลี้ยงเชื้อ

๓.๔.๑๓.๗ นำข้อมูลที่ได้วิเคราะห์ทางสถิติ

๓.๔.๑๔ ศึกษาผลเชื้อ *Nosema ceranae* ต่อชนิดและปริมาณของแบคทีเรียในทางเดินอาหารของผึ้งหลวง เปรียบเทียบกับผึ้งมิมและผึ้งโพรง

วิธีปฏิบัติ

๓.๔.๑๔.๑ นำคอนผึ้งที่ประกอบด้วยดักแด้ที่กำลังจะออกมาเป็นตัวเต็มวัย จากรังของบริเวณที่พบในสถานที่ต่าง ๆ ใส่ในกรงผึ้งแล้วนำมาใส่ใน incubator ที่ตั้งอุณหภูมิที่ 34 องศาเซลเซียส ความชื้นสัมพัทธ์ 50 % เพื่อให้ผึ้งฟักออกมาเป็นตัวเต็มวัย โดยใช้เวลาประมาณ 24-30 ชั่วโมง

๓.๔.๑๔.๒ นำผึ้งตัวเต็มวัยที่ฟักออกมา(ซึ่งถือว่าเป็นผึ้งงานอายุ 1 วัน) จาก incubator

๓.๔.๑๔.๓ แบ่งผึ้งออกเป็น 2 กลุ่มคือ กลุ่มละ 50 ตัว/รัง ชนิดละ 3 รัง

กลุ่มที่ 1 กลุ่มควบคุม ป้อนด้วยสารละลายซูโครส 50% ปริมาตร 2 ไมโครลิตร/ผึ้ง 1 ตัว

กลุ่มที่ 2 ป้อนด้วยสารละลายซูโครส 50% ที่มีสปอร์ของโนซีมา ความเข้มข้น 0.2×10^6 สปอร์ / 2 ไมโครลิตร (ป้อนปริมาตร 2 ไมโครลิตร) / ผึ้ง 1 ตัว

๓.๔.๑๔.๔ นำผึ้งในข้อ **๓.๔.๑๔.๓** ใส่ในกรงเลี้ยงขนาด 80x135x130 mm³ (ผาด้านหน้ามีแผ่นเลื่อนเพื่อสะดวกต่อการนำเอาผึ้งออก ผ่นด้านหลังในกรงบรรจุ queen pheromone ที่ยึดติดกับกระดาษแข็งยึดไว้แน่นกับกรง) โดยแยกใส่กรงละ 50 ตัว/treatment ผึ้งแต่ละกลุ่มในแต่ละกรงจะให้อาหารโดยใช้ สารละลายซูโครส 50% เกสรผสมสารละลายน้ำตาลซูโครส 50% และน้ำกลั่น

๓.๔.๑๔.๕ นำกรงผึ้งทั้งหมด ใส่ใน Incubator ที่ตั้งอุณหภูมิที่ 34 °C ความชื้นสัมพัทธ์ 50%

๓.๔.๑๔.๖ นำผึ้งแต่ละกรง ในวันที่ 5 และ วันที่ 10 มา กรงละ 5 ตัว เพื่อตั้งทางเดินอาหารของผึ้งเพื่อวิเคราะห์หาชนิดและปริมาณของแบคทีเรียโดยวิธีการเพาะเชื้อลงบนอาหารเลี้ยงเชื้อ

๓.๔.๑๔.๗ นับจำนวนแบคทีเรียแต่ละชนิดที่ขึ้นบนจานอาหารเลี้ยงเชื้อ

๓.๔.๑๔.๘ นำข้อมูลที่ได้วิเคราะห์ทางสถิติ

๓.๔.๑๕ การวิเคราะห์หาชนิดและปริมาณของแบคทีเรียโดยวิธีการเพาะเชื้อลงบนอาหารเลี้ยงเชื้อ

วิธีปฏิบัติ

๓.๔.๑๕.๑ นำตัวอย่างผึ้งวรรณะผึ้งงานจำนวน 5 ตัว แช่ลงใน 70% ethanol เป็นเวลา 1 นาที, 5% sodium hypochlorite เป็นเวลา 1 นาที และ น้ำกลั่นที่ปราศจากเชื้อ เป็นเวลา 1 นาที ตามลำดับ

๓.๔.๑๕.๒ ตั้งทางเดินอาหารของผึ้งใส่ในหลอดทดลองที่มี 0.85% NaCl ปริมาตร 200 ไมโครลิตร จากนั้นบดให้ละเอียด

๓.๔.๑๕.๓ เจือจางตัวอย่างแบบ ten-fold serial dilution โดยใช้สารละลาย 0.85% NaCl เจือจางจนได้ระดับความเจือจางที่ต้องการ (10, 100, 1,000, 10,000 เท่า)

๓.๔.๑๕.๔ นำตัวอย่างที่เจือจางแล้วในแต่ละระดับการเจือจางปริมาตร 100 ไมโครลิตรลงในอาหารเลี้ยงเชื้อ MRS agar จากนั้นทำการเกลี่ย (spread) ตัวอย่างให้ทั่วผิวน้ำอาหาร

๓.๔.๑๕.๕ นำจานอาหารเลี้ยงเชื้อที่ลงเชื้อแล้วทั้งหมด บ่มใน Incubator ที่ตั้งอุณหภูมิที่ 34 °C ในสภาวะไม่มีออกซิเจน เป็นเวลา 48 ชั่วโมง

๓.๔.๑๕.๖ นับจำนวนแบคทีเรียแต่ละชนิดที่ขึ้นบนจานอาหารเลี้ยงเชื้อ

๓.๔.๑๕.๗ นำข้อมูลที่ได้วิเคราะห์ทางสถิติ

๓.๕ ระยะเวลาทำการวิจัย และแผนการดำเนินงานตลอดโครงการวิจัย (ให้ระบุขั้นตอนอย่างละเอียด)

๓.๕.๑ ระยะเวลาที่ทำการวิจัยจะทำต่อเนื่องโดยใช้เวลาเบื้องต้น 3 ปี เริ่มตั้งแต่รับเงินสนับสนุนงวดแรกในปีงบประมาณ 2559 จนถึงปี 2561

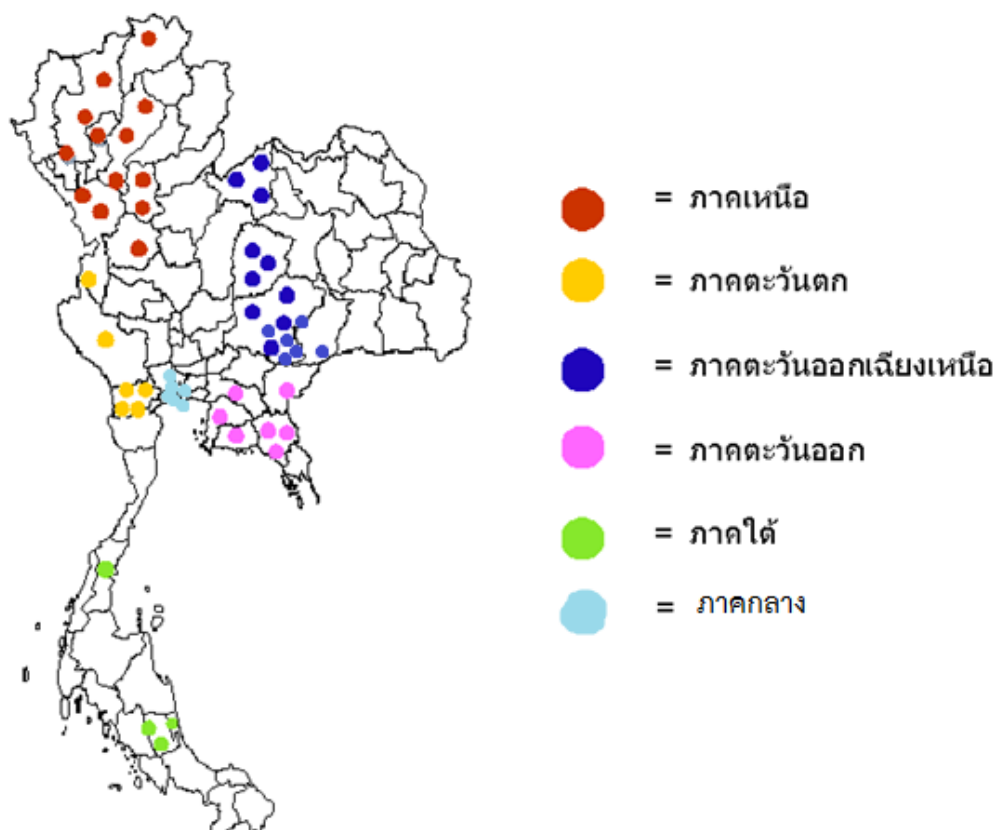
๓.๕.๒ สถานที่เก็บตัวอย่าง ทุกภาคของประเทศไทย ได้แก่ ภาคกลาง ภาคตะวันออก ภาคตะวันออกเฉียงเหนือ ภาคเหนือ และภาคใต้

๓.๕.๓ สถานที่ทำการทดลองในห้องปฏิบัติการ ห้อง BS 3108-3110 ภาควิชาชีววิทยาคณะวิทยาศาสตร์ มหาวิทยาลัยบูรพา อ. เมือง จ. ชลบุรี และ ณ ห้องปฏิบัติการ Martin-Luther-University, Institute of Biology/Zoology, Hoher Weg 8, Halle (Saale), Germany

บทที่ 4
ผลการศึกษา
(Results)

๔.๑ การระบาดของเชื้อ *Nosema ceranae* ในประเทศไทย

ตรวจสอบการระบาดของเชื้อ *N. ceranae* โดยตรวจนับสปอร์ในห้องปฏิบัติการ (โดยใช้ Hemocytometer) จากรังผึ้งที่เก็บจากจังหวัดต่างๆ ของประเทศไทยพบการระบาดทุกพื้นที่ ทำการศึกษาเพิ่มเติมในบริเวณใกล้เคียงกับที่เคยสำรวจ (รูปที่ ๔.๑) โดยสำรวจเพิ่มเติมในระยะเวลาช่วงที่ ๓ รวมทั้งสิ้น ๑๒๔ รัง ติดเชื้อ *Nosema* ทั้งสิ้น ๘๘ รัง จำนวนตัวอย่างผึ้งงานของผึ้งหลวงทั้งหมด วิเคราะห์ผลด้วย qPCR พบ *N. ceranae* และ *Nosema* อื่น รูปที่ ๔.๓-๔.๘



รูปที่ ๔.๑ บริเวณที่เก็บตัวอย่างผึ้งหลวงเพื่อตรวจการติดเชื้อ *Nosema* จากการเพิ่มการสำรวจ ระยะเวลาช่วงที่ ๓ :วงกลมแสดงตำแหน่งที่เก็บตัวอย่าง; สีแสดงภาคต่าง ๆ ของประเทศไทย ที่เก็บตัวอย่าง

ตารางที่ ๔.๑ พิกัดที่เก็บตัวอย่างผึ้งหลวงจากภาคต่าง ๆ ของประเทศไทย

กลุ่มตัวอย่าง ผึ้งหลวง	ภูมิภาค ของประเทศไทย	พิกัดภูมิศาสตร์	
		Latitude	Longitude
AD _N 1- AD _N 36	ภาคเหนือ	17.974133-20.360313	99.587304-99.923476
AD _W 1- AD _W 18	ภาคตะวันตก	13.539033-14.859500	99.328372-98.620979
AD _{NE} 1- AD _{NE} 30	ภาคตะวันออกเฉียงเหนือ	14.419667-17.699735	98.852304-101.676645
AD _E 1- AD _E 21	ภาคตะวันออก	13.283178-12.736600	100.926633-102.217006
AD _S 1- AD _S 14	ภาคใต้	78.049007-76.614614	101.887999-100.081209
AD _C 1- AD _C 5	ภาคกลาง	13.420852-13.481914	99.95048-99.954294

ตารางที่ ๔.๒ ผลการตรวจการติดเชื้อ *Nosema* จากทางเดินอาหารส่วนกลางของผึ้งหลวง (*A. dorsata*) จำนวน ๑๙ ตัว ภายใต้กล้องจุลทรรศน์แบบใช้แสงจากรังที่แจ้ซ็อน จังหวัดลำปาง

ตัวอย่างผึ้งหลวง	ผลการตรวจวิเคราะห์	ตัวอย่างผึ้งหลวง	ผลการตรวจวิเคราะห์
ตัวที่ 1	-	ตัวที่ 11	-
ตัวที่ 2	-	ตัวที่ 12	-
ตัวที่ 3	-	ตัวที่ 13	+
ตัวที่ 4	-	ตัวที่ 14	-
ตัวที่ 5	-	ตัวที่ 15	-
ตัวที่ 6	-	ตัวที่ 16	-
ตัวที่ 7	-	ตัวที่ 17	-
ตัวที่ 8	-	ตัวที่ 18	-
ตัวที่ 9	-	ตัวที่ 19	-
ตัวที่ 10	-		

หมายเหตุ - หมายถึง ไม่พบสปอร์ของ *Nosema*, + หมายถึง พบสปอร์ของ *Nosema*

ตารางที่ ๔.๓ ผลการตรวจการติดเชื้อ *Nosema* จากทางเดินอาหารส่วนกลางของผึ้งหลวง (*A. dorsata*) จำนวน ๑๓ ตัว ภายใต้กล้องจุลทรรศน์แบบใช้แสงจากรังที่เขาใหญ่ จังหวัด นครราชสีมา

ตัวอย่างผึ้งหลวง	ผลการตรวจวิเคราะห์	ตัวอย่างผึ้งหลวง	ผลการตรวจวิเคราะห์
ตัวที่ 1	-	ตัวที่ 8	-
ตัวที่ 2	-	ตัวที่ 9	-
ตัวที่ 3	-	ตัวที่ 10	-
ตัวที่ 4	-	ตัวที่ 11	-
ตัวที่ 5	-	ตัวที่ 12	-
ตัวที่ 6	-	ตัวที่ 13	-
ตัวที่ 7	-		

หมายเหตุ - หมายถึง ไม่พบสปอร์ของ *Nosema*, + หมายถึง พบสปอร์ของ

ตารางที่ ๔.๔ ผลการตรวจการติดเชื้อ *Nosema* จากทางเดินอาหารส่วนกลางของผึ้งหลวง (*A. dorsata*) จำนวน ๒๘ ตัว ภายใต้กล้องจุลทรรศน์แบบใช้แสงจากรังที่เวียงโกศัย จังหวัด แพร่

ตัวอย่างผึ้งหลวง	ผลการตรวจวิเคราะห์	ตัวอย่างผึ้งหลวง	ผลการตรวจวิเคราะห์
ตัวที่ 1	-	ตัวที่ 15	+
ตัวที่ 2	-	ตัวที่ 16	-
ตัวที่ 3	-	ตัวที่ 17	-
ตัวที่ 4	-	ตัวที่ 18	+
ตัวที่ 5	-	ตัวที่ 19	-
ตัวที่ 6	-	ตัวที่ 20	-
ตัวที่ 7	-	ตัวที่ 21	-
ตัวที่ 8	+	ตัวที่ 22	-
ตัวที่ 9	-	ตัวที่ 23	-
ตัวที่ 10	-	ตัวที่ 24	+
ตัวที่ 11	+	ตัวที่ 25	-
ตัวที่ 12	-	ตัวที่ 26	-
ตัวที่ 13	-	ตัวที่ 27	-
ตัวที่ 14	+	ตัวที่ 28	-

หมายเหตุ - หมายถึง ไม่พบสปอร์ของ *Nosema*, + หมายถึง พบสปอร์ของ

ตารางที่ ๔.๕ ผลการตรวจการติดเชื้อ *Nosema* จากทางเดินอาหารส่วนกลางของผึ้งหลวง (*A. dorsata*) จำนวน ๕๐ ตัว ภายใต้กล้องจุลทรรศน์แบบใช้แสงจากรังที่บ้านขาม จังหวัดลำปาง

ตัวอย่างผึ้งหลวง	ผลการตรวจวิเคราะห์	ตัวอย่างผึ้งหลวง	ผลการตรวจวิเคราะห์
ตัวที่ 1	-	ตัวที่ 26	-
ตัวที่ 2	-	ตัวที่ 27	-
ตัวที่ 3	-	ตัวที่ 28	-
ตัวที่ 4	-	ตัวที่ 29	-
ตัวที่ 5	-	ตัวที่ 30	-
ตัวที่ 6	-	ตัวที่ 31	-
ตัวที่ 7	-	ตัวที่ 32	+
ตัวที่ 8	-	ตัวที่ 33	-
ตัวที่ 9	-	ตัวที่ 34	+
ตัวที่ 10	-	ตัวที่ 35	-
ตัวที่ 11	-	ตัวที่ 36	-
ตัวที่ 12	-	ตัวที่ 37	-
ตัวที่ 13	-	ตัวที่ 38	-
ตัวที่ 14	-	ตัวที่ 39	+
ตัวที่ 15	-	ตัวที่ 40	-
ตัวที่ 16	-	ตัวที่ 41	-
ตัวที่ 17	+	ตัวที่ 42	-
ตัวที่ 18	-	ตัวที่ 43	-
ตัวที่ 19	-	ตัวที่ 44	-
ตัวที่ 20	-	ตัวที่ 45	-
ตัวที่ 21	-	ตัวที่ 46	+
ตัวที่ 22	-	ตัวที่ 47	-
ตัวที่ 23	-	ตัวที่ 48	-
ตัวที่ 24	-	ตัวที่ 49	-
ตัวที่ 25	+	ตัวที่ 50	-

หมายเหตุ - หมายถึง ไม่พบสปอร์ของ *Nosema*, + หมายถึง พบสปอร์ของ

ตารางที่ ๔.๖ ผลการตรวจการติดเชื้อ *Nosema* จากทางเดินอาหารส่วนกลางของผึ้งหลวง (*A. dorsata*) จำนวน ๕๐ ตัว ภายใต้กล้องจุลทรรศน์แบบใช้แสงจากรังที่ดอยขุนตาล จังหวัดลำพูน

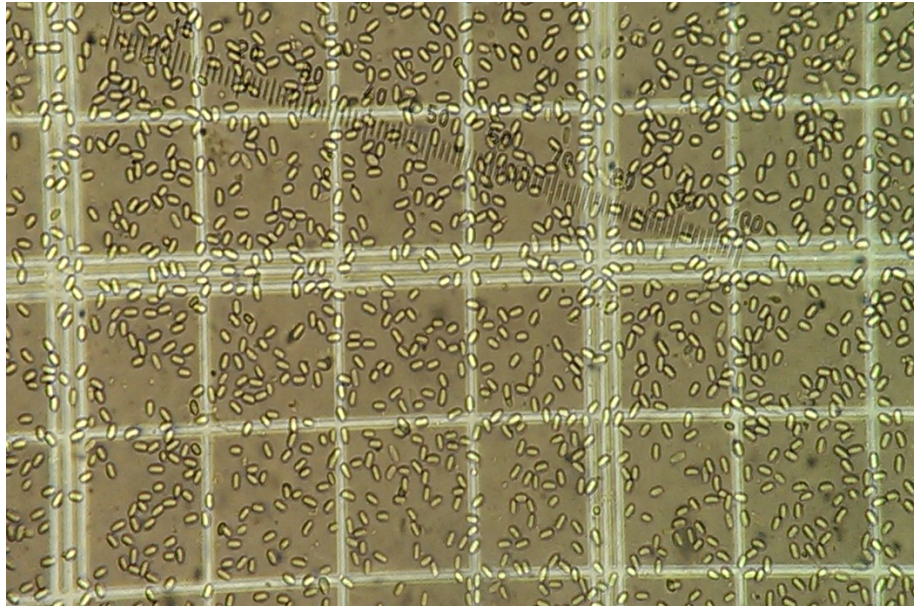
ตัวอย่างผึ้งหลวง	ผลการตรวจวิเคราะห์	ตัวอย่างผึ้งหลวง	ผลการตรวจวิเคราะห์
ตัวที่ 1	-	ตัวที่ 26	-
ตัวที่ 2	-	ตัวที่ 27	-
ตัวที่ 3	-	ตัวที่ 28	-
ตัวที่ 4	-	ตัวที่ 29	-
ตัวที่ 5	-	ตัวที่ 30	-
ตัวที่ 6	-	ตัวที่ 31	-
ตัวที่ 7	-	ตัวที่ 32	-
ตัวที่ 8	-	ตัวที่ 33	-
ตัวที่ 9	-	ตัวที่ 34	-
ตัวที่ 10	-	ตัวที่ 35	-
ตัวที่ 11	-	ตัวที่ 36	-
ตัวที่ 12	-	ตัวที่ 37	-
ตัวที่ 13	-	ตัวที่ 38	-
ตัวที่ 14	-	ตัวที่ 39	-
ตัวที่ 15	-	ตัวที่ 40	-
ตัวที่ 16	-	ตัวที่ 41	-
ตัวที่ 17	-	ตัวที่ 42	-
ตัวที่ 18	-	ตัวที่ 43	-
ตัวที่ 19	-	ตัวที่ 44	-
ตัวที่ 20	-	ตัวที่ 45	-
ตัวที่ 21	-	ตัวที่ 46	-
ตัวที่ 22	-	ตัวที่ 47	-
ตัวที่ 23	-	ตัวที่ 48	-
ตัวที่ 24	-	ตัวที่ 49	-
ตัวที่ 25	-	ตัวที่ 50	-

หมายเหตุ - หมายถึง ไม่พบสปอร์ของ *Nosema*, + หมายถึง พบสปอร์ของ

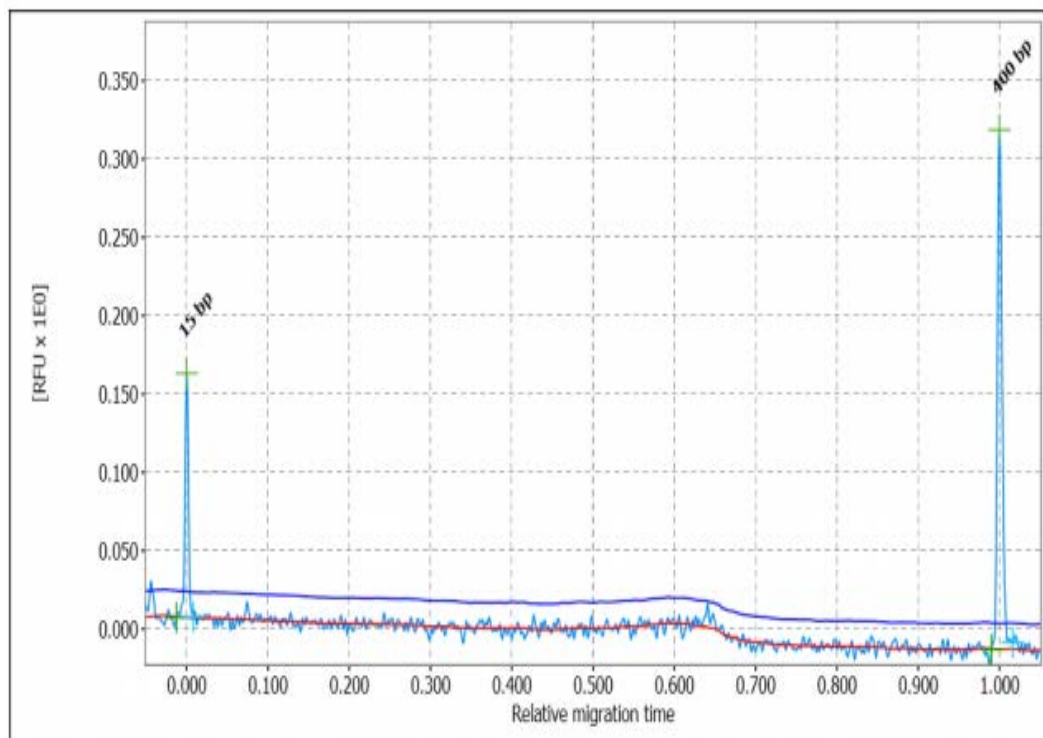
ตารางที่ ๔.๗ ผลการตรวจการติดเชื้อ *Nosema* จากทางเดินอาหารส่วนกลางของมิ่งหลวง
(*A. dorsata*) จำนวน ๕๐ ตัว ภายใต้กล้องจุลทรรศน์แบบใช้แสงจากรังที่จังหวัดพัทลุง

ตัวอย่างมิ่งหลวง	ผลการตรวจวิเคราะห์	ตัวอย่างมิ่งหลวง	ผลการตรวจวิเคราะห์
ตัวที่ 1	-	ตัวที่ 26	-
ตัวที่ 2	-	ตัวที่ 27	-
ตัวที่ 3	-	ตัวที่ 28	-
ตัวที่ 4	-	ตัวที่ 29	-
ตัวที่ 5	-	ตัวที่ 30	-
ตัวที่ 6	-	ตัวที่ 31	-
ตัวที่ 7	-	ตัวที่ 32	-
ตัวที่ 8	-	ตัวที่ 33	-
ตัวที่ 9	-	ตัวที่ 34	-
ตัวที่ 10	-	ตัวที่ 35	+
ตัวที่ 11	-	ตัวที่ 36	-
ตัวที่ 12	-	ตัวที่ 37	-
ตัวที่ 13	-	ตัวที่ 38	+
ตัวที่ 14	-	ตัวที่ 39	-
ตัวที่ 15	-	ตัวที่ 40	-
ตัวที่ 16	-	ตัวที่ 41	-
ตัวที่ 17	-	ตัวที่ 42	-
ตัวที่ 18	-	ตัวที่ 43	-
ตัวที่ 19	-	ตัวที่ 44	-
ตัวที่ 20	-	ตัวที่ 45	-
ตัวที่ 21	-	ตัวที่ 46	-
ตัวที่ 22	-	ตัวที่ 47	-
ตัวที่ 23	-	ตัวที่ 48	-
ตัวที่ 24	-	ตัวที่ 49	-
ตัวที่ 25	-	ตัวที่ 50	-

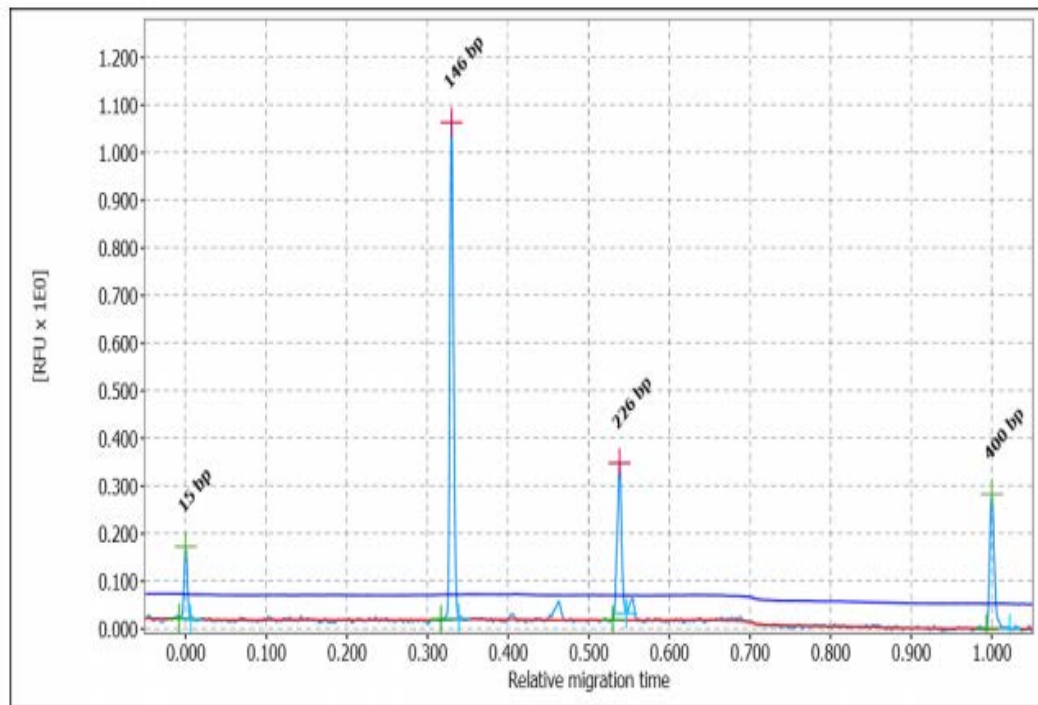
หมายเหตุ - หมายถึง ไม่พบสปอร์ของ *Nosema*, + หมายถึง พบสปอร์ของ



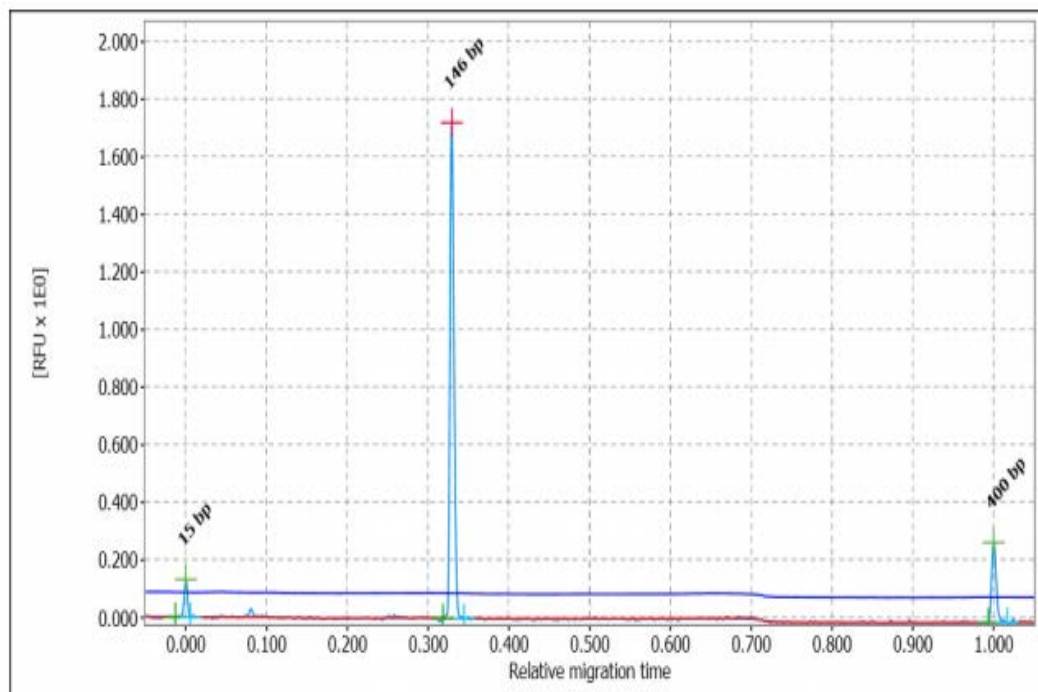
รูปที่ ๔.๒ สปอร์ของเชื้อ *Nosema* แยกออกจากทางเดินอาหารส่วนกลางผึ้งหลวงภายใต้กล้องจุลทรรศน์แบบใช้แสง กำลังขยาย 400 เท่า



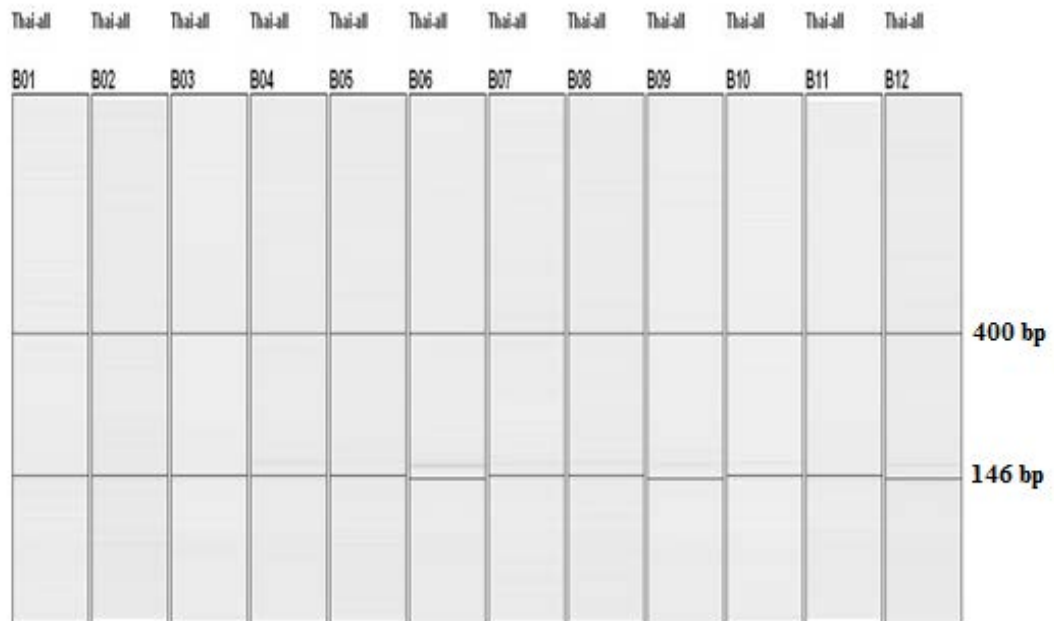
รูปที่ ๔.๓ PCR products โดย qPCR ของ Negative control ซึ่ง 15 bp peak = a marker และ 400 bp = a marker



รูปที่ ๔.๔ PCR products โดย qPCR ของ Positive control ซึ่ง 15 bp peak = a marker, 146 bp peak = *N. ceranae*, 226 bp peak = *N. apis* และ 400 bp = a marker



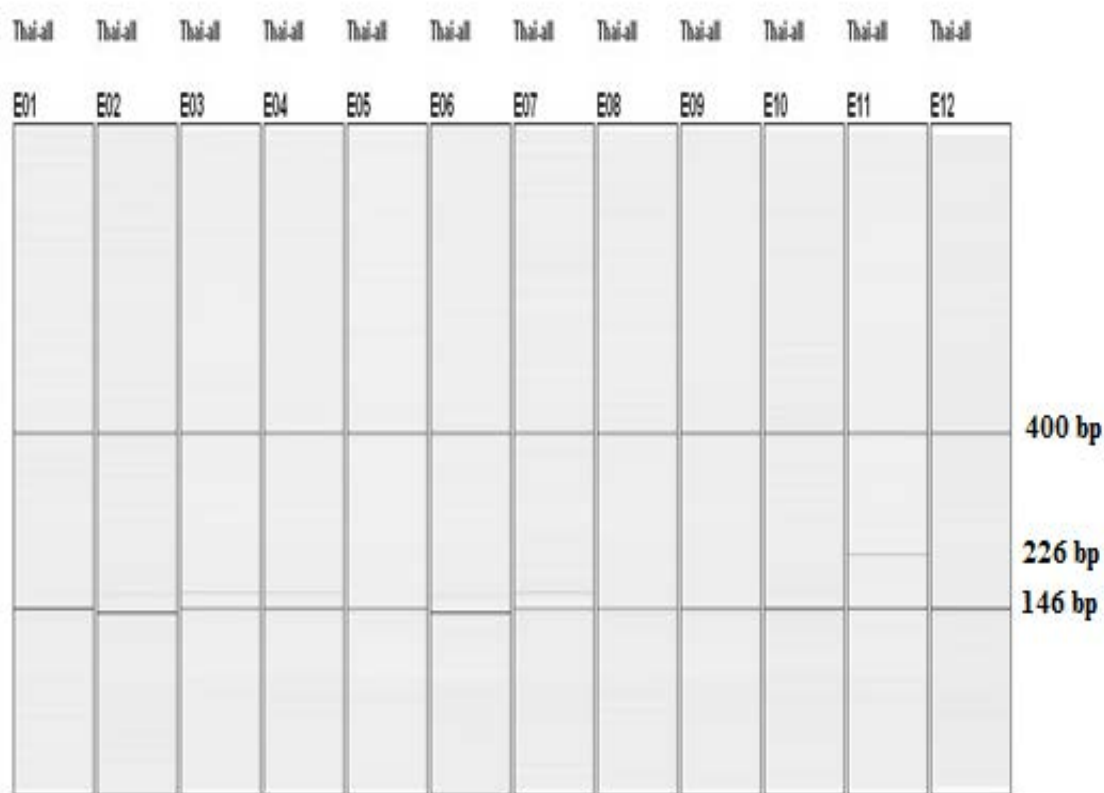
รูปที่ ๔.๕ PCR products โดย qPCR ของ *N. ceranae* ที่พบในทางเดินอาหารส่วนกลางของผึ้งหลวง ซึ่ง 15 bp peak = a marker, 146 bp peak = *N. ceranae* และ 400 bp = a marker



รูปที่ ๔.๖ PCR products ของ *N. ceranae* ที่พบในทางเดินอาหารส่วนกลางของผึ้งหลวงจำนวน 12 ตัวอย่าง (B01-B12) ; 146 bp peak = *N. ceranae* และ 400 bp peak = a marker พบเชื้อ *N. ceranae* จำนวน 12 ตัวอย่าง



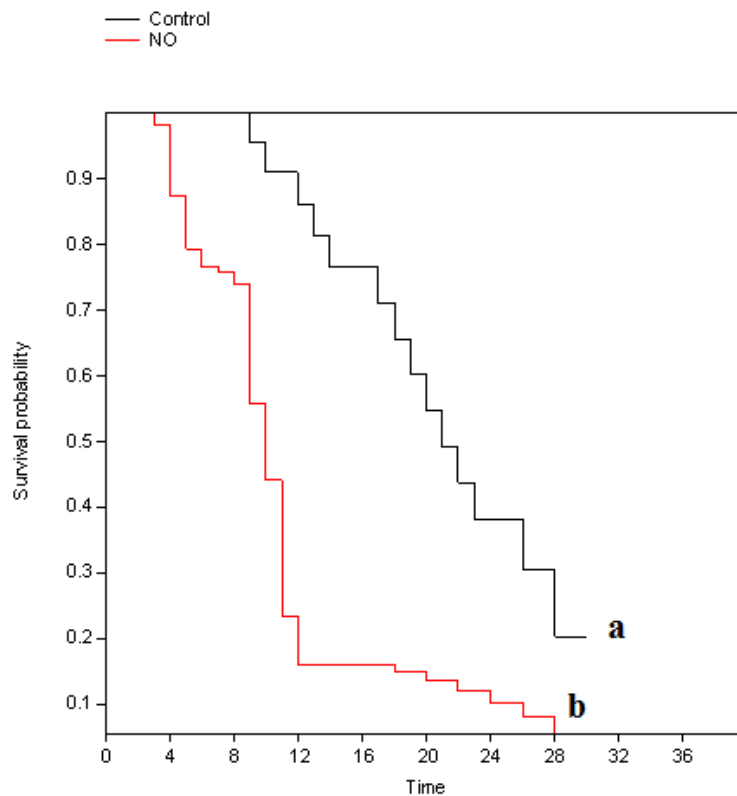
รูปที่ ๔.๗ PCR products ของ *N. ceranae* ที่พบในทางเดินอาหารส่วนกลางของผึ้งหลวงจำนวน 12 ตัวอย่าง (C01-C12) ; 146 bp peak = *N. ceranae* และ 400 bp peak = a marker พบเชื้อ *N. ceranae* จำนวน 12 ตัวอย่าง



รูปที่ ๔.๘ PCR products ของ *N. ceranae* ที่พบในทางเดินอาหารส่วนกลางของผึ้งหลวงจำนวน 12 ตัวอย่าง (E01-E12) ; 146 bp peak = *N. ceranae*, 226 bp peak = *N. apis* และ 400 bp peak = a marker พบเชื้อ *N. ceranae* จำนวน 12 ตัวอย่าง และ *N. apis* จำนวน 1 ตัวอย่าง

๔.๒ ผลของเชื้อ *Nosema ceranae* ต่ออัตราการตาย (Mortality) ของผึ้งหลวงวรรณะผึ้งงาน

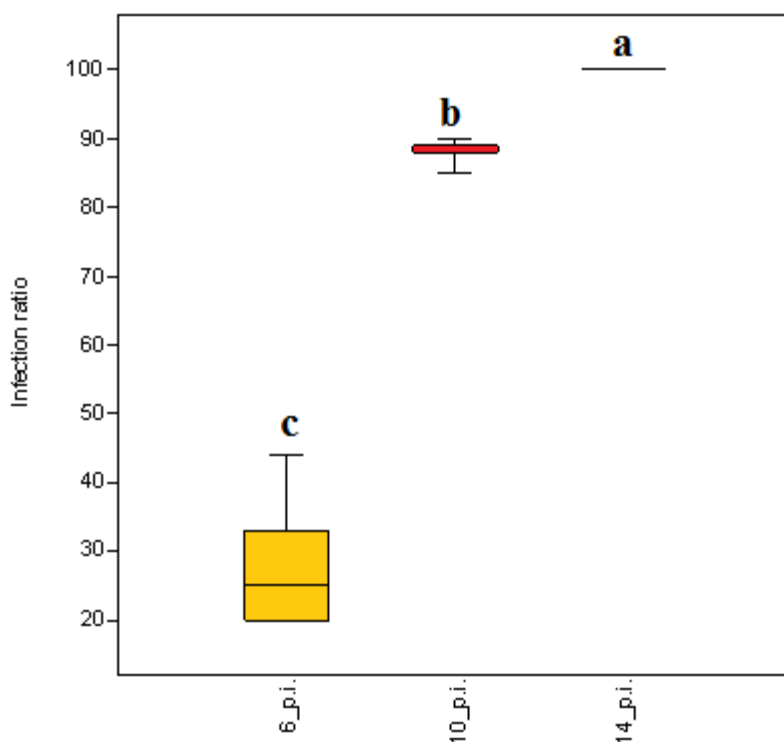
จากการทดลองหาอัตราการรอดชีวิตของผึ้งหลวงวรรณะผึ้งงานหลังได้รับเชื้อ *N. ceranae* ที่ระดับ 1,000,000 สปอร์ต่อตัว โดยวิธี force feeding พบว่าอัตราการรอดชีวิตของผึ้งหลวงในกลุ่มที่ติดเชื้อ *N. ceranae* ต่ำกว่าผึ้งหลวงในกลุ่มที่ไม่ได้รับเชื้อ *N. ceranae* ($p < 0.0001$) ดังรูปที่ ๔.๙ แสดงว่าเชื้อ *N. ceranae* ทำให้ผึ้งหลวงวรรณะผึ้งงานตายมากขึ้นเมื่อเทียบกลับกลุ่มที่ไม่ได้รับเชื้อ *N. ceranae*



รูปที่ ๔.๙ อัตราการรอดชีวิตของ *A. dorsata* ที่รับเชื้อโนซีมาที่ระดับ 1,000,000 สปอร์ต่อตัว, และกลุ่มควบคุม 30 วัน อักษรที่แตกต่างแสดงถึงค่านัยสำคัญทางสถิติที่ต่างกัน, อักษรย่อ: NO, *Nosema* infected bees (Log rank; $\chi^2 = 20.928, p < 0.0001$)

๔.๓ ผลของเชื้อ *Nosema ceranae* ต่ออัตราการติดเชื้อในเซลล์ลำไส้ส่วนกลาง (infection ratio) ของผึ้งหลวงวรรณะผึ้งงาน

จากการทดลองหาอัตราการติดเชื้อในเซลล์ลำไส้ส่วนกลางของผึ้งหลวงวรรณะผึ้งงานหลังได้รับเชื้อ *N. ceranae* ที่ระดับ 1,000,000 สปอร์ต่อตัว ด้วยการนับจำนวนเซลล์ในลำไส้ส่วนกลางที่ติดเชื้อต่อจำนวนเซลล์ที่ไม่ติดเชื้อ ของวันที่ 6, 10 และ 14 หลังการรับเชื้อ พบว่าอัตราการติดเชื้อในลำไส้ส่วนกลางของผึ้งหลวงหลังจากติดเชื้อ 6 วัน ต่ำกว่า กลุ่มที่ได้รับเชื้อ *N. ceranae* เป็นเวลา 10 และ 14 วัน อย่างมีนัยสำคัญทางสถิติ ($p < 0.0001$) ดังภาพที่ ๔.๑๐ โดยอัตราการติดเชื้อในลำไส้ส่วนกลาง (infection ratio) ของผึ้งหลวงในกลุ่มที่ได้รับเชื้อ *N. ceranae* เป็นเวลา 6, 10 และ 14 วัน เท่ากับ 28.40 ± 4.57 , 88.20 ± 0.81 และ 100.00 ± 0.00 เปอร์เซ็นต์ ตามลำดับ

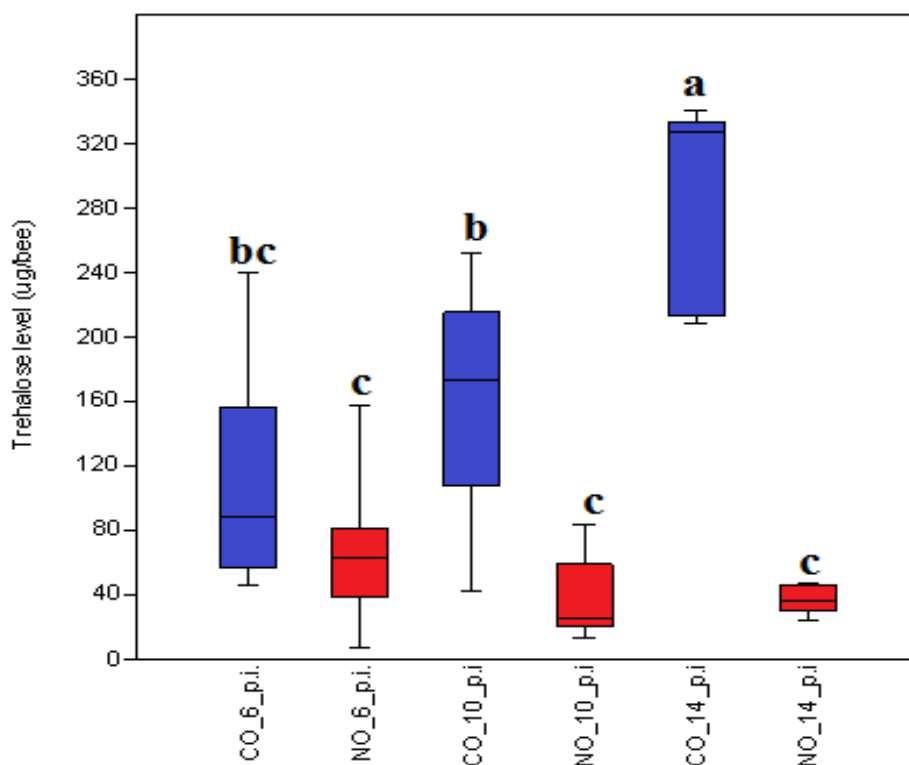


รูปที่ ๔.๑๐ ค่าเฉลี่ย (mean± SE) อัตราการติดเชื้อ (infection ratio) ของฝิ่งหลวง *A. dorsata* หลังรับเชื้อ *N. ceranae* ที่ระดับ 1,000,000 สปอร์ต่อตัว เป็นเวลา 6, 10 และ 14 วัน; อักษรที่แตกต่างแสดงถึงค่านัยสำคัญทางสถิติที่แตกต่างกัน (ANOVA; $F_2 = 203.5, p < 0.0001$)

๔.๔ ผลของเชื้อ *N. ceranae* ต่อระดับน้ำตาลทรีฮาโลสในน้ำเลือดของฝิ่งหลวงระยะฝิ่งงาน

จากการทดลองหาระดับน้ำตาลทรีฮาโลสในน้ำเลือดของฝิ่งหลวงระยะฝิ่งงานหลังได้รับเชื้อ *N. ceranae* ที่ระดับ 1,000,000 สปอร์ต่อตัว โดยเก็บตัวอย่างมาทดสอบ ในวันที่ 6, 10 และ 14 หลังจากรับเชื้อ พบว่าระดับน้ำตาลทรีฮาโลสในน้ำเลือดของฝิ่งหลวงกลุ่มที่ติดเชื้อ *N. ceranae* เป็นเวลา 6 วัน ไม่แตกต่างจากกลุ่มที่ไม่ได้รับเชื้อ *N. ceranae* ($p = 0.6067$) ดังภาพที่ ๔.๑๑ โดยระดับน้ำตาลทรีฮาโลสในน้ำเลือด เท่ากับ 67.32 ± 13.81 และ 111.73 ± 22.87 ไมโครกรัมต่อตัว ตามลำดับ ส่วนระดับน้ำตาลทรีฮาโลสในน้ำเลือดของฝิ่งหลวงกลุ่มที่ติดเชื้อ *N. ceranae* เป็นเวลา 10 วัน ต่ำกว่ากลุ่มที่ไม่ได้รับเชื้อ *N. ceranae* อย่างมีนัยสำคัญทางสถิติ ($p = 0.0023$) ดังภาพที่ ๔.๑๑ โดยระดับน้ำตาลทรีฮาโลสในน้ำเลือด เท่ากับ 39.71 ± 8.56 และ 154.38 ± 21.67 ไมโครกรัมต่อตัว ตามลำดับ ส่วน ระดับน้ำตาลทรีฮาโลสในน้ำเลือดของฝิ่งหลวงกลุ่มที่ติดเชื้อ *N. ceranae* เป็น

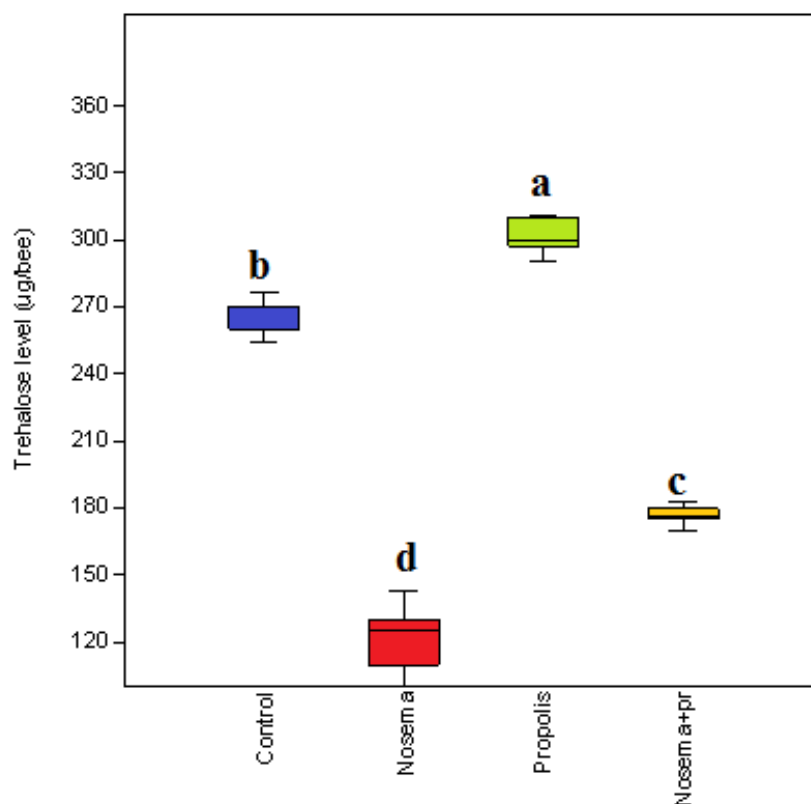
เวลา 14 วัน ต่ำกว่ากลุ่มที่ไม่ได้รับเชื้อ *N. ceranae* อย่างมีนัยสำคัญทางสถิติ ($p= 0.0001$) ดังภาพที่ ๔.๑๗ โดยระดับน้ำตาลทรีฮาโลสในน้ำเลือด เท่ากับ 37.10 ± 4.62 และ 287.23 ± 21.96 ไมโครกรัมต่อตัว ตามลำดับ แสดงว่าเชื้อ *N. ceranae* ทำให้ระดับน้ำตาลทรีฮาโลสในน้ำเลือดของผึ้งหลวง วรรณะฝั้่งงานที่ติดเชื้อ *N. ceranae* ต่ำลง



รูปที่ ๔.๑๗ ค่าเฉลี่ย (mean \pm SE) ระดับน้ำตาลทรีฮาโลสในน้ำเลือดของผึ้งหลวงวรรณะฝั้่งงานหลังได้รับเชื้อ *N. ceranae* ที่ระดับ 1,000,000 สปอร์ต่อตัว เป็นเวลา 6, 10 และ 14 วัน; อักษรที่แตกต่างแสดงถึงค่านัยสำคัญทางสถิติที่ต่างกัน (ANOVA; $F_5 = 22.69, p < 0.0001$)

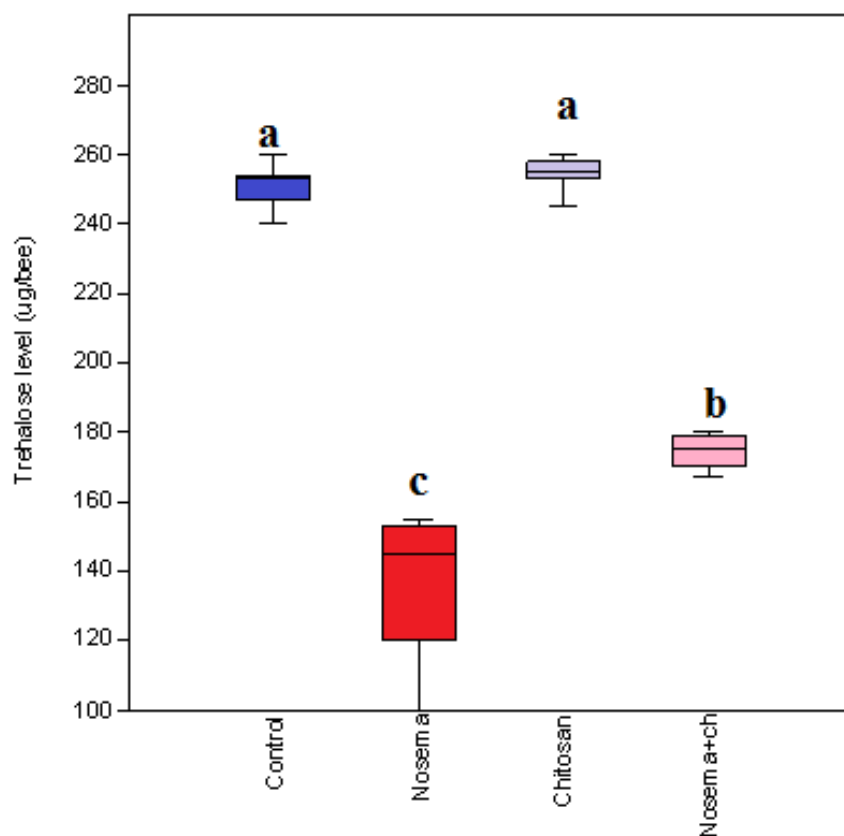
จากการทดลองหาระดับน้ำตาลทรีฮาโลสในน้ำเลือดของผึ้งหลวงวรรณะฝั้่งงานหลังได้รับเชื้อ *N. ceranae* ที่ระดับ 1,000,000 สปอร์ต่อตัว แล้วให้สารสกัดพรอพอลิสิกความเข้มข้นร้อยละ 50 โดยเก็บตัวอย่างมาทดสอบ ในวันที่ 10 หลังจากได้รับเชื้อ พบว่าระดับน้ำตาลทรีฮาโลสในน้ำเลือดของผึ้งหลวงกลุ่มที่ติดเชื้อ *N. ceranae* แล้วให้สารสกัดพรอพอลิสิกความเข้มข้นร้อยละ 50 สูงกว่า กลุ่มที่ได้รับเชื้อ *N. ceranae* แต่ไม่ได้ให้สารสกัดพรอพอลิสิกอย่างมีนัยสำคัญทางสถิติ ($p= 0.0002$) ดังรูปที่ ๔.๑๖ แต่ต่ำกว่า กลุ่มที่ไม่ได้รับเชื้อ *N. ceranae* (Control) อย่างมีนัยสำคัญทางสถิติ ($p= 0.0002$) ดังรูปที่ ๔.๑๖ ส่วนระดับน้ำตาลทรีฮาโลสในน้ำเลือดของผึ้งหลวงกลุ่มที่ให้สารสกัดพรอพอลิสิก

เข้มข้นร้อยละ 50 อย่างเดียว สูงกว่า กลุ่มอื่นๆ อย่างมีนัยสำคัญทางสถิติ ($p= 0.0002$) ดังรูปที่ ๔.๑๒ โดยระดับน้ำตาลทรีฮาโลสในน้ำเลือดของผึ้งหลวงวรรณะผึ้งงานกลุ่มที่ไม่ได้รับเชื้อ *N. ceranae* (Control) กลุ่มที่ได้เชื้อ *N. ceranae* อย่างเดียว (Nosema) กลุ่มที่ให้สารสกัดพรอพอลิสอย่างเดียว (Propolis) และกลุ่มที่ได้เชื้อ *N. ceranae* แล้วให้สารสกัดพรอพอลิส (Nosama+pr) เท่ากับ 264.00 ± 3.95 , 121.60 ± 7.55 , 301.60 ± 3.98 และ 176.80 ± 2.22 ไมโครกรัมต่อตัว ตามลำดับ แสดงว่าสารสกัดพรอพอลิสความเข้มข้นร้อยละ 50 ช่วยส่งเสริมกระบวนการที่ทำให้ระดับน้ำตาลทรีฮาโลสในน้ำเลือดของผึ้งหลวงวรรณะผึ้งงานที่ติดเชื้อ *N. ceranae* สูงขึ้น



รูปที่ ๔.๑๒ ค่าเฉลี่ย (mean \pm SE) ระดับน้ำตาลทรีฮาโลสในน้ำเลือดของผึ้งหลวงวรรณะผึ้งงานหลังได้รับเชื้อ *N. ceranae* ที่ระดับ 1,000,000 สปอร์ต่อตัว แล้วให้สารสกัดพรอพอลิสความเข้มข้นร้อยละ 50 (Nosama+pr) กลุ่มที่ไม่ได้รับเชื้อ *N. ceranae* (Control) กลุ่มที่ได้เชื้อ *N. ceranae* อย่างเดียว (Nosema) และกลุ่มที่ให้สารสกัดพรอพอลิสอย่างเดียว (Propolis) หลังการรับเชื้อ 10 วัน; อักษรที่แตกต่างแสดงถึงค่านัยสำคัญทางสถิติที่แตกต่างกัน (ANOVA; $F_3 = 286.5$, $p < 0.0001$)

จากการทดลองหาระดับน้ำตาลทรีฮาโลสในน้ำเลือดของผึ้งหลวงวรรณะผึ้งงานหลังได้รับเชื้อ *N. ceranae* ที่ระดับ 1,000,000 สปอร์ต่อตัว แล้วให้สารละลายไคโตซานความเข้มข้น 0.1 ppm โดยเก็บตัวอย่างมาทดสอบ ในวันที่ 10 หลังจากรับเชื้อ พบว่าระดับน้ำตาลทรีฮาโลสในน้ำเลือดของผึ้งหลวงกลุ่มที่ติดเชื้อ *N. ceranae* แล้วให้สารละลายไคโตซานความเข้มข้น 1 ppm สูงกว่า กลุ่มที่ได้รับเชื้อ *N. ceranae* แต่ไม่ได้ให้สารสกัดพรอพออลิสอย่างมีนัยสำคัญทางสถิติ ($p=0.0002$) ดังรูปที่ ๔.๑๓ แต่ต่ำกว่า กลุ่มที่ไม่ได้รับเชื้อ *N. ceranae* (Control) อย่างมีนัยสำคัญทางสถิติ ($p=0.0002$) ดังรูปที่ ๔.๑๓

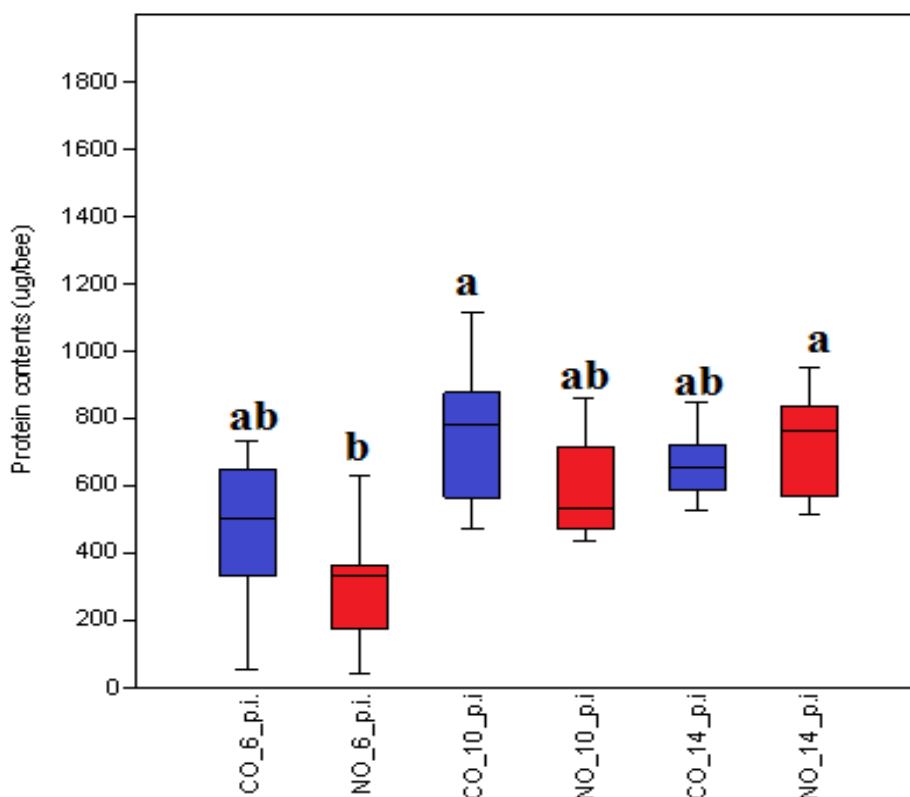


รูปที่ ๔.๑๓ ค่าเฉลี่ย (mean \pm SE) ระดับน้ำตาลทรีฮาโลสในน้ำเลือดของผึ้งหลวงวรรณะผึ้งงานหลังได้รับเชื้อ *N. ceranae* ที่ระดับ 1,000,000 สปอร์ต่อตัว แล้วให้สารละลายไคโตซานความเข้มข้น 0.1 ppm (Nosema+ch) กลุ่มที่ไม่ได้รับเชื้อ *N. ceranae* (Control) กลุ่มที่ได้เชื้อ *N. ceranae* อย่างเดียว (Nosema) และกลุ่มที่ให้สารละลายไคโตซานความเข้มข้น 1 ppm อย่างเดียว (Chitosan) หลังจากรับเชื้อ 10 วัน; อักษรที่แตกต่างแสดงถึงค่านัยสำคัญทางสถิติที่แตกต่างกัน (ANOVA; $F_3 = 100.40, p < 0.0001$)

ส่วนระดับน้ำตาลทรีฮาโลสในน้ำเลือดของผึ้งหลวงกลุ่มที่ให้สารละลายไคโตซานความเข้มข้น 1 ppm อย่างเดียว สูงกว่า กลุ่มที่ได้เชื้อ *N. ceranae* อย่างเดียว (Nosema) และกลุ่มที่ได้เชื้อ *N. ceranae* แล้วให้สารละลายไคโตซานความเข้มข้น 0.1 ppm (Nosama+ch) อย่างมีนัยสำคัญทางสถิติ ($p= 0.0002$) ดังรูปที่ ๔.๑๓ โดยระดับน้ำตาลทรีฮาโลสในน้ำเลือดของผึ้งหลวงวรรณะผึ้งงานกลุ่มที่ไม่ได้รับเชื้อ *N. ceranae* (Control) กลุ่มที่ได้เชื้อ *N. ceranae* อย่างเดียว (Nosema) กลุ่มที่ให้สารละลายไคโตซานอย่างเดียว (Chitosan) และกลุ่มที่ได้เชื้อ *N. ceranae* แล้วให้สารละลายไคโตซาน (Nosama+ch) เท่ากับ 250.80 ± 3.40 , 134.60 ± 10.66 , 254.20 ± 2.60 และ 174.20 ± 2.52 ไมโครกรัมต่อตัว ตามลำดับ แสดงว่าสารละลายไคโตซานความเข้มข้น 1 ppm ช่วยส่งเสริมกระบวนการที่ทำให้ระดับน้ำตาลทรีฮาโลสในน้ำเลือดของผึ้งหลวงวรรณะผึ้งงานที่ติดเชื้อ *N. ceranae* สูงขึ้น

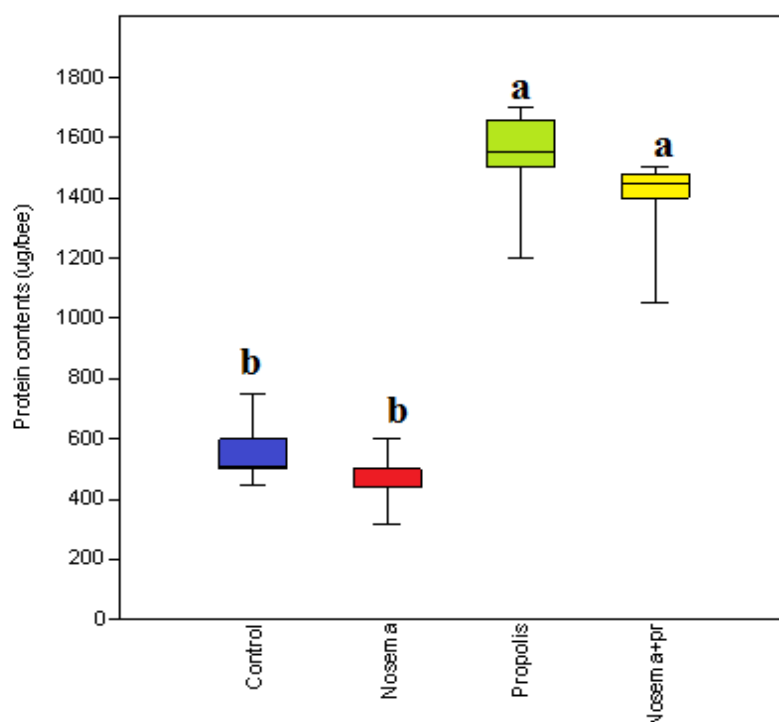
๔.๕ ผลของเชื้อ *N. ceranae* ต่อปริมาณโปรตีนของต่อมไฮโปฟาริงค์ของผึ้งหลวงวรรณะผึ้งงาน

จากการทดลองหาปริมาณโปรตีนของต่อมไฮโปฟาริงค์ของผึ้งหลวงวรรณะผึ้งงานหลังได้รับเชื้อ *N. ceranae* ที่ระดับ 1,000,000 สปอร์ต่อตัว โดยเก็บตัวอย่างมาทดสอบ ในวันที่ 6, 10 และ 14 หลังจากรับเชื้อ พบว่าปริมาณโปรตีนของต่อมไฮโปฟาริงค์ของผึ้งหลวงกลุ่มที่ติดเชื้อ *N. ceranae* เป็นเวลา 6 วัน ไม่แตกต่างจากกลุ่มที่ไม่ได้รับเชื้อ *N. ceranae* ($p= 0.3304$) ดังภาพที่ ๔.๑๔ โดยปริมาณโปรตีนของต่อมไฮโปฟาริงค์ของผึ้งหลวงวรรณะผึ้งงาน เท่ากับ 306.88 ± 50.80 และ 446.88 ± 59.65 ไมโครกรัมต่อตัว ตามลำดับ ส่วนปริมาณโปรตีนของต่อมไฮโปฟาริงค์ของผึ้งหลวงกลุ่มที่ติดเชื้อ *N. ceranae* เป็นเวลา 10 วัน ไม่แตกต่างจากกลุ่มที่ไม่ได้รับเชื้อ *N. ceranae* ($p= 0.3958$) ดังภาพที่ ๔.๑๔ โดยปริมาณโปรตีนของต่อมไฮโปฟาริงค์ของผึ้งหลวงวรรณะผึ้งงาน เท่ากับ 604.10 ± 50.22 และ 756.21 ± 55.59 ไมโครกรัมต่อตัว ตามลำดับ ส่วนปริมาณโปรตีนของต่อมไฮโปฟาริงค์ของผึ้งหลวงกลุ่มที่ติดเชื้อ *N. ceranae* เป็นเวลา 14 วัน ไม่แตกต่างจากกลุ่มที่ไม่ได้รับเชื้อ *N. ceranae* ($p= 0.9894$) ดังภาพที่ ๔.๑๔ โดยปริมาณโปรตีนของต่อมไฮโปฟาริงค์ของผึ้งหลวงวรรณะผึ้งงาน เท่ากับ 711.80 ± 68.02 และ 663.14 ± 35.47 ไมโครกรัมต่อตัว ตามลำดับ



รูปที่ ๔.๑๔ ค่าเฉลี่ย (mean \pm SE) ปริมาณโปรตีนของต่อมไฮโปฟาริงค์ของผึ้งหลวงวรรณะผึ้งงาน หลังได้รับเชื้อ *N. ceranae* ที่ระดับ 1,000,000 สปอร์ต่อเป็นเวลา 6, 10 และ 14 วัน; อักษรที่แตกต่างแสดงถึงค่านัยสำคัญทางสถิติที่ต่างกัน (ANOVA; $F_5 = 9.863, p < 0.0001$)

จากการทดลองหาปริมาณโปรตีนของต่อมไฮโปฟาริงค์ของผึ้งหลวงวรรณะผึ้งงานหลังได้รับเชื้อ *N. ceranae* ที่ระดับ 1,000,000 สปอร์ต่อตัว แล้วให้สารสกัดพรอพอลิสมความเข้มข้นร้อยละ 50 โดยเก็บตัวอย่างมาทดสอบ ในวันที่ 10 หลังจากรับเชื้อ พบว่าปริมาณโปรตีนของต่อมไฮโปฟาริงค์ของผึ้งหลวงกลุ่มที่ติดเชื้อ *N. ceranae* แล้วให้สารสกัดพรอพอลิสมความเข้มข้นร้อยละ 50 สูงกว่า กลุ่มที่ได้รับเชื้อ *N. ceranae* แต่ไม่ได้ให้สารสกัดพรอพอลิสมอย่างมีนัยสำคัญทางสถิติ ($p = 0.0002$) และ สูงกว่า กลุ่มที่ไม่ได้รับเชื้อ *N. ceranae* (Control) อย่างมีนัยสำคัญทางสถิติ ($p = 0.0002$) แต่ไม่ต่างจากกลุ่มที่ให้สารสกัดพรอพอลิสมอย่างเดียว (Propolis) ($p = 0.4746$) ดังรูปที่ ๔.๑๕

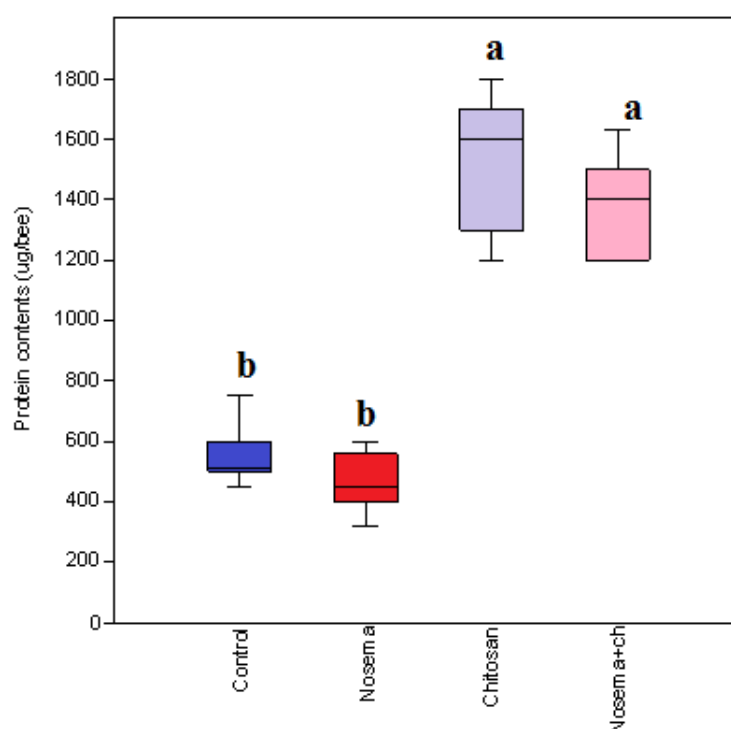


รูปที่ ๔.๑๕ ค่าเฉลี่ย (mean± SE) ปริมาณโปรตีนของต่อมไฮโปฟาริงค์ของผึ้งหลวงวรรณะผึ้งงาน หลังได้รับเชื้อ *N. ceranae* ที่ระดับ 1,000,000 สปอร์ต่อตัว แล้วให้สารสกัดพรอพอลิส ความเข้มข้นร้อยละ 50 (Nosama+pr) กลุ่มที่ไม่ได้รับเชื้อ *N. ceranae* (Control) กลุ่มที่ได้เชื้อ *N. ceranae* อย่างเดียว (Nosema) และกลุ่มที่ให้สารสกัดพรอพอลิสอย่างเดียว (Propolis) หลังการรับเชื้อ 10 วัน; อักษรที่แตกต่างแสดงถึงค่านัยสำคัญทางสถิติที่แตกต่างกัน (ANOVA; $F_3 = 60.07, p < 0.0001$)

โดยปริมาณโปรตีนของต่อมไฮโปฟาริงค์ของผึ้งหลวงวรรณะผึ้งงานกลุ่มที่ไม่ได้รับเชื้อ *N. ceranae* (Control) กลุ่มที่ได้เชื้อ *N. ceranae* อย่างเดียว (Nosema) กลุ่มที่ให้สารสกัดพรอพอลิสอย่างเดียว (Propolis) และกลุ่มที่ได้เชื้อ *N. ceranae* แล้วให้สารสกัดพรอพอลิส (Nosama+pr) เท่ากับ 562.00 ± 52.86 , 472.00 ± 45.87 , $1,522.00 \pm 88.23$ และ $1,376.00 \pm 83.22$ ไมโครกรัมต่อตัว ตามลำดับ แสดงว่าสารสกัดพรอพอลิสความเข้มข้นร้อยละ 50 ช่วยส่งเสริมกระบวนการผลิตโปรตีนของต่อมไฮโปฟาริงค์ของผึ้งหลวงวรรณะผึ้งงานทั้งที่ติดเชื้อ *N. ceranae* และไม่ติดเชื้อ

จากการทดลองหาปริมาณโปรตีนของต่อมไฮโปฟาริงค์ของผึ้งหลวงวรรณะผึ้งงานหลังได้รับเชื้อ *N. ceranae* ที่ระดับ 1,000,000 สปอร์ต่อตัว แล้วให้สารละลายไคโตซานความเข้มข้น 1 ppm

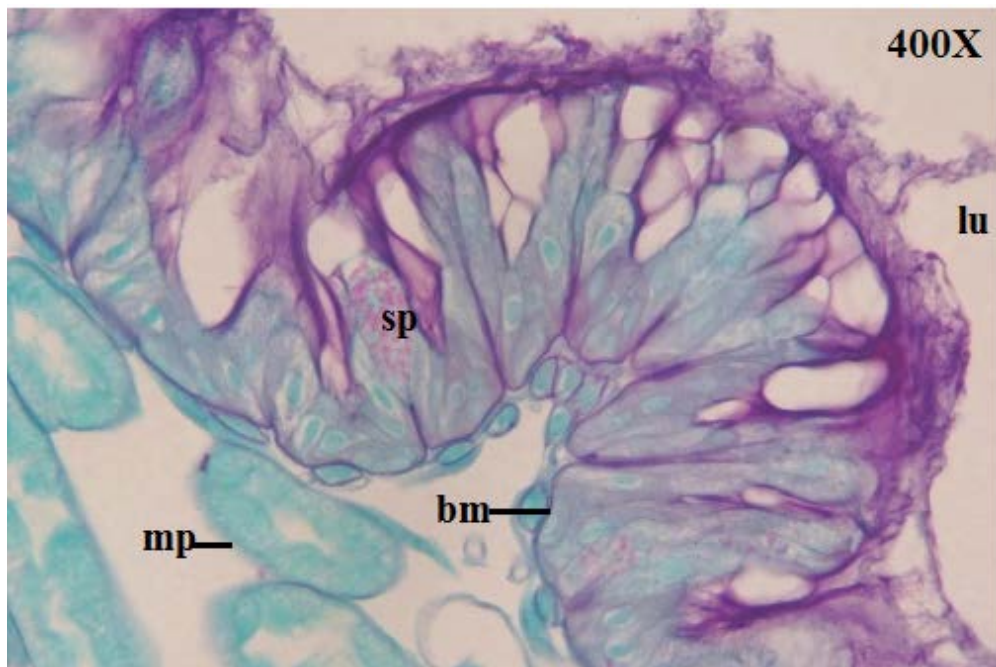
โดยเก็บตัวอย่างมาทดสอบ ในวันที่ 10 หลังจากรับเชื้อ พบว่าปริมาณโปรตีนของต่อมไฮโปฟาริงค์ของ ผึ้งหลวงกลุ่มที่ติดเชื้อ *N. ceranae* แล้วให้สารละลายไคโตซานความเข้มข้น 0.1 ppm สูงกว่า กลุ่มที่ได้รับเชื้อ *N. ceranae* แต่ไม่ได้ให้สารสกัดพอลิซอสอย่างมีนัยสำคัญทางสถิติ ($p= 0.0002$) และ สูงกว่า กลุ่มที่ไม่ได้รับเชื้อ *N. ceranae* (Control) อย่างมีนัยสำคัญทางสถิติ ($p= 0.0002$) แต่ไม่ต่าง จากกลุ่มที่ให้สารละลายไคโตซานอย่างเดียว (Chitosan) ($p= 0.6494$) ดังรูปที่ ๔.๑๖ โดยปริมาณ โปรตีนของต่อมไฮโปฟาริงค์ของผึ้งหลวงวรรณะฝั้่งงานกลุ่มที่ไม่ได้รับเชื้อ *N. ceranae* (Control) กลุ่มที่ได้เชื้อ *N. ceranae* อย่างเดียว (Nosema) กลุ่มที่ให้สารละลายไคโตซานอย่างเดียว (Chitosan) และกลุ่มที่ได้เชื้อ *N. ceranae* แล้วให้สารละลายไคโตซาน (Nosama+ch) เท่ากับ 562.00 ± 52.86 , 466.00 ± 51.34 , $1,520.00 \pm 115.76$ และ $1,386.00 \pm 84.24$ ไมโครกรัมต่อตัว ตามลำดับ แสดงว่าสารละลายไคโตซานความเข้มข้น 0.1 ppm ช่วยส่งเสริมกระบวนการผลิตโปรตีน ของต่อมไฮโปฟาริงค์ของผึ้งหลวงวรรณะฝั้่งงานทั้งที่ติดเชื้อ *N. ceranae* และไม่ติดเชื้อ



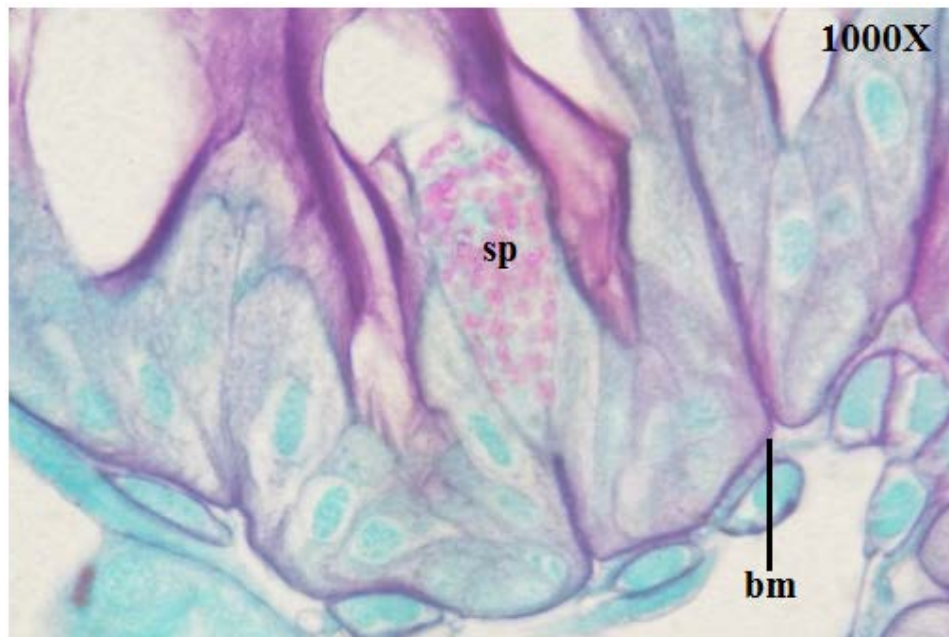
รูปที่ ๔.๑๖ ค่าเฉลี่ย (mean \pm SE) ปริมาณโปรตีนของต่อมไฮโปฟาริงค์ของผึ้งหลวงวรรณะฝั้่งงาน หลังได้รับเชื้อ *N. ceranae* ที่ระดับ 1,000,000 สปอร์ต่อตัว แล้วให้สารละลายไคโตซาน ความเข้มข้น 0.1 ppm (Nosama+ch) กลุ่มที่ไม่ได้รับเชื้อ *N. ceranae* (Control) กลุ่มที่ได้เชื้อ *N. ceranae* อย่างเดียว (Nosema) และกลุ่มที่ให้สารละลายไคโตซานความเข้มข้น อย่างเดียว (Chitosan) หลังการรับเชื้อ 10 วัน; อักษรที่แตกต่างแสดงถึงค่านัยสำคัญทาง สถิติที่แตกต่างกัน (ANOVA; $F_3= 46.04$, $p < 0.0001$)

๔.๖ ผลของเชื้อ *N. ceranae* ต่ออัตราการติดเชื้อในเซลล์เยื่อทางเดินอาหารส่วนกลางของผึ้งหลวง

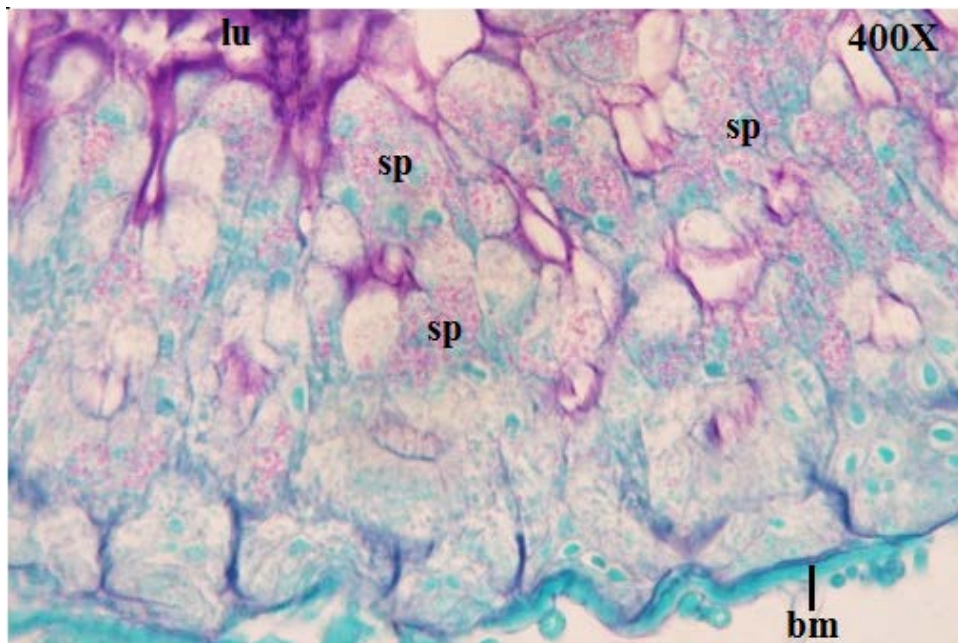
จากการทดลองหาอัตราการติดเชื้อในเซลล์ลำไส้ส่วนกลางของผึ้งหลวงวรรณะผึ้งงานหลังได้รับเชื้อ *N. ceranae* ที่ระดับ 1,000,000 สปอร์ต่อตัว ด้วยการนับจำนวนเซลล์ในลำไส้ส่วนกลางที่ติดเชื้อต่อจำนวนเซลล์ที่ไม่ติดเชื้อ โดยการตัดเนื้อเยื่อทางเดินอาหารส่วนกลาง ย้อมด้วยสี Periodic acid Schiff's reagent (PAS) พบสปอร์ของเชื้อ *N. ceranae* ติดสีชมพูม่วงอย่างเห็นได้ชัด เนื่องจากโครงสร้างของเยื่อหุ้มสปอร์ประกอบด้วยสารอนุพันธ์ของคาร์โบไฮเดรต จะเห็นสปอร์ติดสีชมพูกระจาย อยู่ทั่วเซลล์เยื่อทางเดินอาหารของผึ้งหลวงวรรณะผึ้งงานที่ได้รับเชื้อไปแล้ว 6, 10 และ 14 วัน โดยพบสปอร์ มากบริเวณฐานของเซลล์ (basement membrane) กระจายไปจนถึงยอดเซลล์ (apical part) และเริ่มพบว่าบริเวณปลายอิสระ (free end) มีการเสียหายของไมโครวิลไล และเยื่อหุ้มเซลล์ ดังรูปที่ ๔.๑๗-๔.๒๒



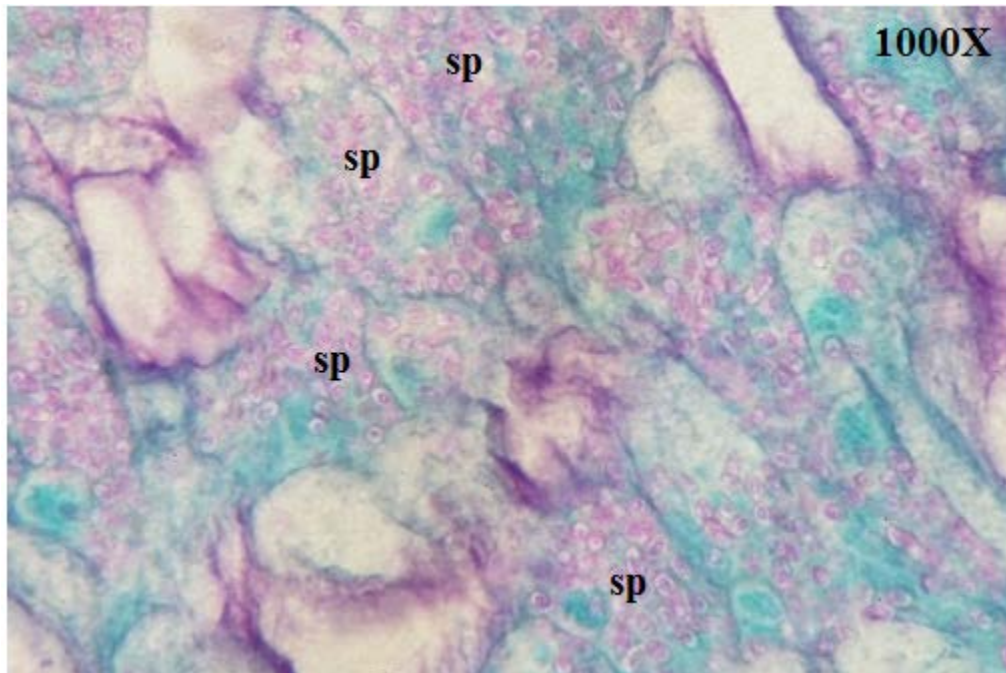
รูปที่ ๔.๑๗ เนื้อเยื่อผิวหนังของทางเดินอาหารส่วนกลางของผึ้งหลวงวรรณะผึ้งงาน ที่ได้รับเชื้อ *N. ceranae* ที่ระดับ 1,000,000 สปอร์ต่อตัว หลังป้อนเชื้อ 6 วัน ย้อมด้วยสี PAS ส่องภายใต้กล้องจุลทรรศน์แบบใช้แสงกำลังขยาย 400 เท่า, อักษรย่ออักษรย่อ: bm, basement membrane; lu, a lumen of the midgut; mp, midgut tubule; sp, *N. ceranae* spores



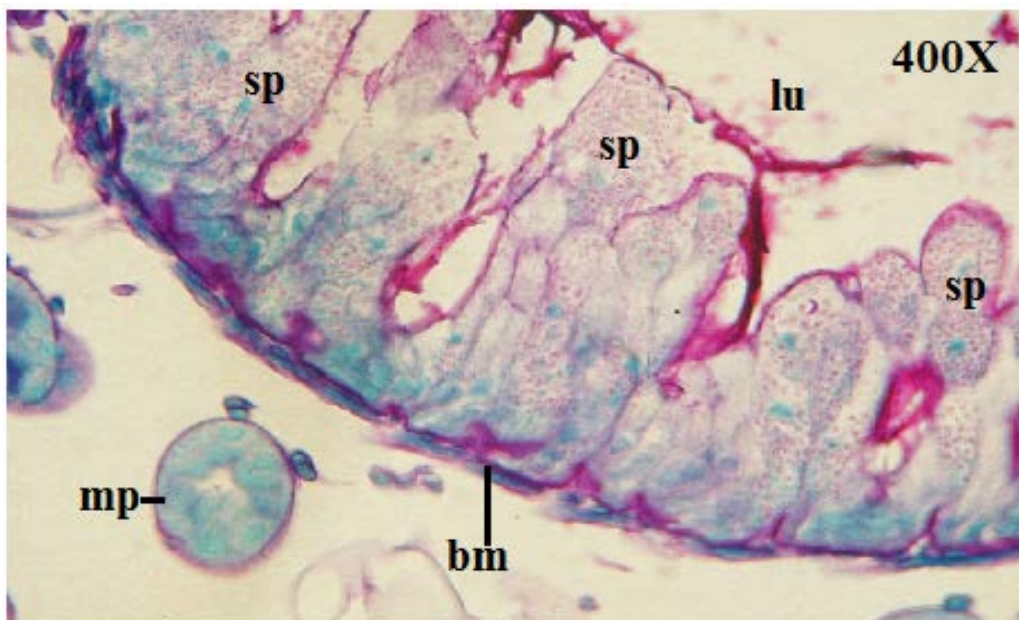
รูปที่ ๔.๑๘ เนื้อเยื่อบุผิวของทางเดินอาหารส่วนกลางของผึ้งหลวงวรวงศ์ผึ้งงาน ที่ได้รับเชื้อ *N. ceranae* ที่ระดับ 1,000,000 สปอร์ต่อตัว หลังป้อนเชื้อ 6 วัน ย้อมด้วยสี PAS ส่องภายใต้กล้องจุลทรรศน์แบบใช้แสงกำลังขยาย 1,000 เท่า, อักษรย่ออักษรย่อ: bm, basement membrane; sp, *N. ceranae* spores



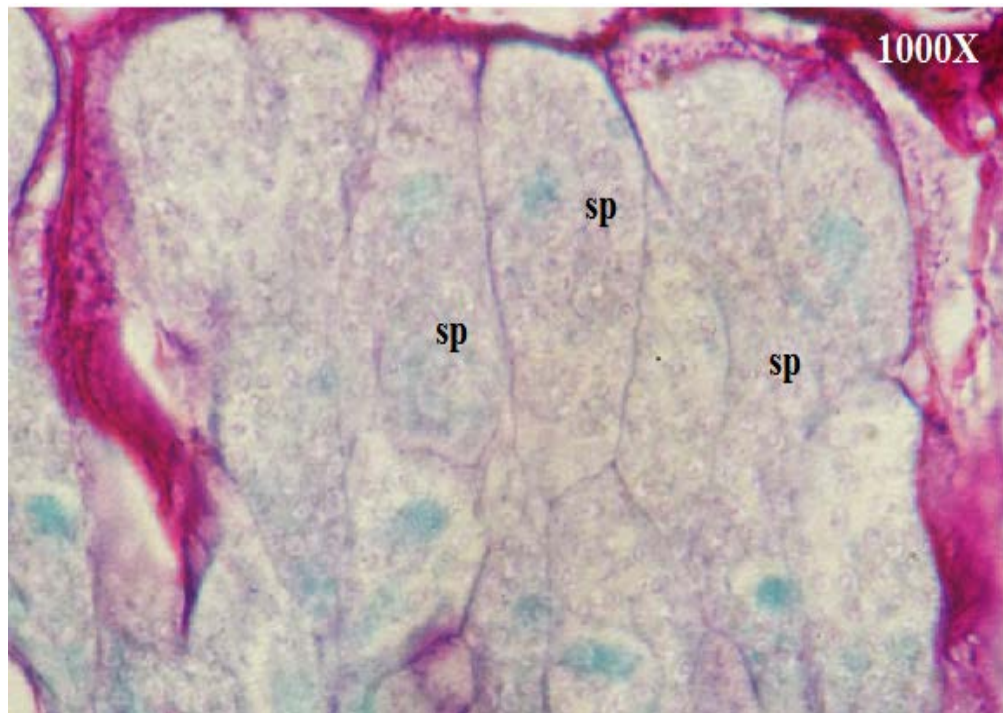
รูปที่ ๔.๑๙ เนื้อเยื่อบุผิวของทางเดินอาหารส่วนกลางของผึ้งหลวงวรวงศ์ผึ้งงาน ที่ได้รับเชื้อ *N. ceranae* ที่ระดับ 1,000,000 สปอร์ต่อตัว หลังป้อนเชื้อ 10 วัน ย้อมด้วยสี PAS ส่องภายใต้กล้องจุลทรรศน์แบบใช้แสงกำลังขยาย 400 เท่า, อักษรย่ออักษรย่อ: bm, basement membrane; lu, a lumen of the midgut; sp, *N. ceranae* spores



รูปที่ ๔.๒๐ เนื้อเยื่อบุผิวของทางเดินอาหารส่วนกลางของผีเสื้อกลางคืนที่ได้รับเชื้อ *N. ceranae* ที่ระดับ 1,000,000 สปอร์ต่อตัว หลังป้อนเชื้อ 10 วัน ย้อมด้วยสี PAS ส่องภายใต้กล้องจุลทรรศน์แบบใช้แสงกำลังขยาย 1,000 เท่า, อักษรย่ออักษรย่อ: sp, *N. ceranae* spores



รูปที่ ๔.๒๑ เนื้อเยื่อบุผิวของทางเดินอาหารส่วนกลางของผีเสื้อกลางคืนที่ได้รับเชื้อ *N. ceranae* ที่ระดับ 1,000,000 สปอร์ต่อตัว หลังป้อนเชื้อ 14 วัน ย้อมด้วยสี PAS ส่องภายใต้กล้องจุลทรรศน์แบบใช้แสงกำลังขยาย 400 เท่า, อักษรย่ออักษรย่อ: sp, *N. ceranae* spores



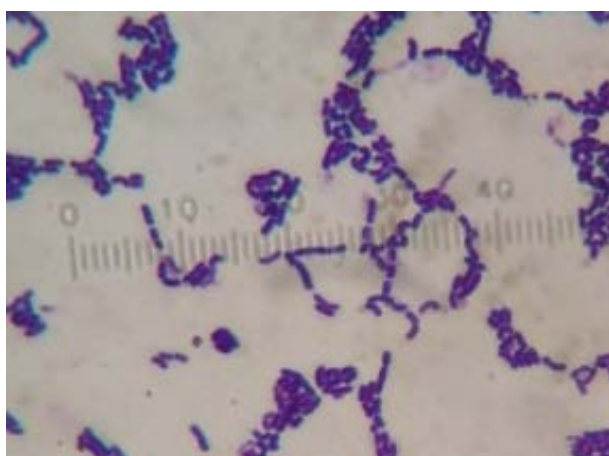
รูปที่ ๔.๒๒ เนื้อเยื่อบุผิวของทางเดินอาหารส่วนกลางของผึ้งหลวงวรรณะผึ้งงาน ที่ได้รับเชื้อ *N. ceranae* ที่ระดับ 1,000,000 สปอร์ต่อตัว หลังป้อนเชื้อ 14 วัน ย้อมด้วยสี PAS ส่องภายใต้กล้องจุลทรรศน์แบบใช้แสงกำลังขยาย 1,000 เท่า, อักษรย่ออักษรย่อ: sp, *N. ceranae* spores

๔.๗ ผลของเชื้อ *N. ceranae* ต่อชนิดและปริมาณของแบคทีเรียในทางเดินอาหารของผึ้งหลวงวรรณะผึ้งงาน

จากการทดลองหาชนิดและปริมาณของแบคทีเรียในลำไส้ส่วนกลางของผึ้งหลวง วรรณะผึ้งงานหลังได้รับเชื้อ *N. ceranae* ที่ระดับ 200,000 สปอร์ต่อตัว เป็นเวลา 5 วัน และ 10 วัน ด้วยการลงตัวอย่างลำไส้ผึ้งที่บดละเอียดบนอาหารเลี้ยงเชื้อ MRA agar แล้วนับจำนวนแบคทีเรียแต่ละชนิดที่เจริญบนอาหาร พบว่ามีแบคทีเรียจำนวน 2 ชนิด ที่เจริญบนอาหาร MRS agar โดยแบคทีเรียชนิดที่ 1 มีลักษณะโคโลนี สีขาว, ขนาด 3 mm, รูปร่างกลมมน, ผิวเรียบมัน ดังภาพที่ ๔.๒๓ เมื่อทำการย้อมสีแบคทีเรียโดยวิธี Gram stain ผลพบว่า เป็นแบคทีเรียแกรมบวก (Gram-positive bacteria) มีรูปร่างเป็นท่อน (bacilli) ดังภาพที่ ๔.๒๔ จากนั้นส่งตัวอย่างเพื่อวิเคราะห์หาชนิดโดยใช้ 16s rRNA gene ผลปรากฏว่าแบคทีเรียชนิดที่ 1 เป็น *Bifidobacterium* sp.

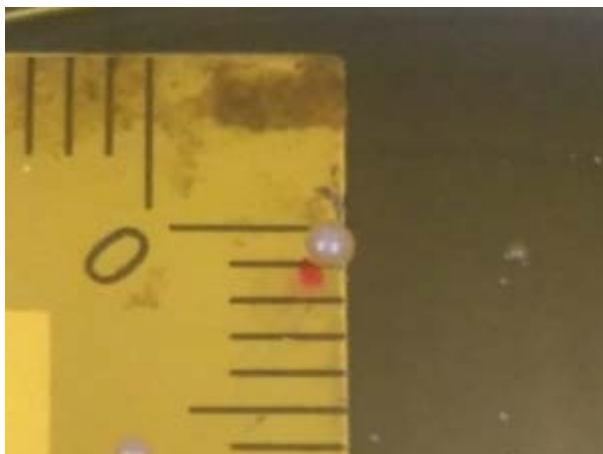


รูปที่ ๔.๒๓ ลักษณะโคโลนีชนิดที่ 1 ที่แยกได้ทางเดินอาหารของผึ้งวรรณะผึ้งงาน



รูปที่ ๔.๒๔ ลักษณะรูปร่างของเซลล์แบคทีเรียชนิดที่ 1 ที่แยกได้ทางเดินอาหารของผึ้งวรรณะผึ้งงาน ที่ย้อมสีด้วยวิธี Gram stain

จากการทดลองหาชนิดและปริมาณของแบคทีเรียในลำไส้ส่วนกลางของผึ้งหลวงวรรณะผึ้งงานหลังได้รับเชื้อ *N. ceranae* ที่ระดับ 200,000 สปอร์ต่อตัว เป็นเวลา 5 วัน และ 10 วัน ด้วยการลงตัวอย่างลำไส้ผึ้งที่บดละเอียดบนอาหารเลี้ยงเชื้อ MRA agar แล้วนับจำนวนแบคทีเรียแต่ละชนิดที่เจริญบนอาหาร พบว่ามีแบคทีเรียจำนวน 2 ชนิด ที่เจริญบนอาหาร MRS agar โดยแบคทีเรียชนิดที่ 2 มีลักษณะโคโลนี สีครีม, ขนาด 1 mm, รูปร่างกลมมน, ผิวเรียบมัน ดังภาพที่ ๔.๒๕ เมื่อทำการย้อมสีแบคทีเรียโดยวิธี Gram stain ผลพบว่า เป็นแบคทีเรียแกรมบวก (Gram-positive bacteria) มีรูปร่างเป็นท่อน (bacilli) ดังภาพที่ ๔.๒๖ จากนั้นส่งตัวอย่างเพื่อวิเคราะห์หาชนิดโดยใช้ 16s rRNA gene ผลปรากฏว่าแบคทีเรียชนิดที่ 2 เป็น *Lactobacillus kunkeei*



รูปที่ ๔.๒๕ ลักษณะโคโลนีชนิดที่ 2 ที่แยกได้ทางเดินอาหารของผึ้งวรรณะผึ้งงาน

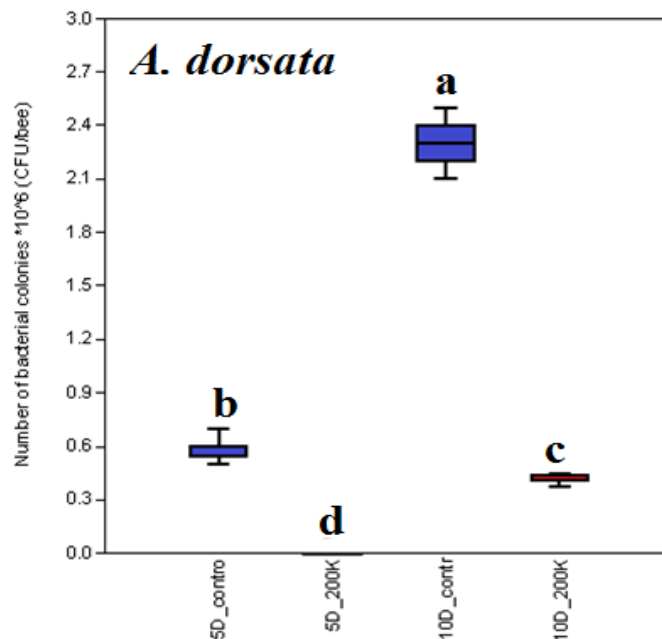


รูปที่ ๔.๒๖ ลักษณะรูปร่างของเซลล์แบคทีเรียชนิดที่ 2 ที่แยกได้ทางเดินอาหารของผึ้งวรรณะผึ้งงาน ที่ย้อมสีด้วยวิธี Gram stain

จากการทดลองหาชนิดและปริมาณของแบคทีเรียในลำไส้ส่วนกลางของผึ้งหลวงวรรณะผึ้งงานหลังได้รับเชื้อ *N. ceranae* ที่ระดับ 200,000 สปอร์ต่อตัว เป็นเวลา 5 วัน และ 10 วัน ด้วยการลงตัวอย่างลำไส้ผึ้งที่บดละเอียดบนอาหารเลี้ยงเชื้อ MRA agar แล้วนับจำนวนแบคทีเรียแต่ละชนิดที่เจริญบนอาหาร พบว่ามีแบคทีเรียจำนวน 2 ชนิด ที่เจริญบนอาหาร MRS agar คือ *Bifidobacterium* sp. และ *Lactobacillus kunkeei*

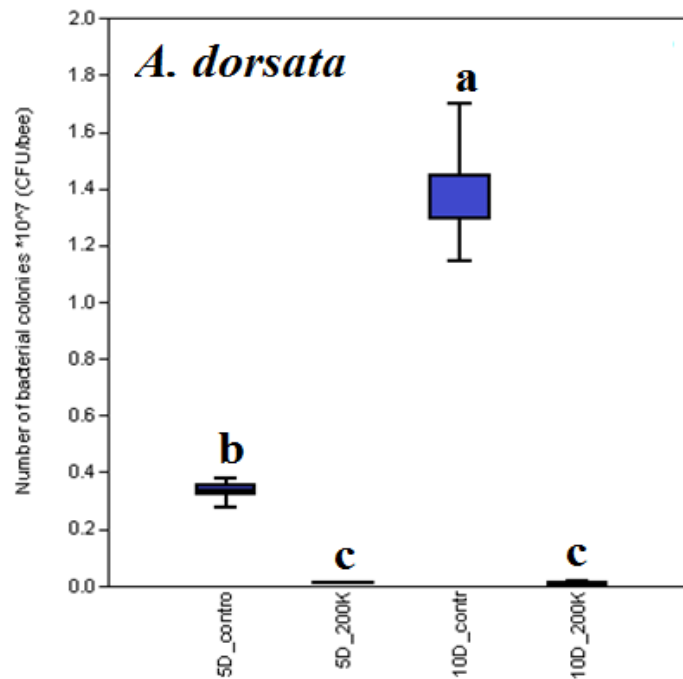
โดยจำนวนของ *Bifidobacterium* sp. ที่แยกได้จากลำไส้ส่วนกลางของผึ้งหลวงวรรณะผึ้งงานกลุ่มที่ได้รับเชื้อ *N. ceranae* ที่ระดับ 200,000 สปอร์ต่อตัว เป็นเวลา 5 วัน น้อยกว่าที่ไม่ได้รับเชื้อ (กลุ่มควบคุม) อย่างมีนัยสำคัญทางสถิติ ($p = 0.0002$) ดังภาพที่ ๔.๒๗ ซึ่งมีจำนวนเท่ากับ $1.62 \pm 0.20 \times 10^3$ และ $5.90 \pm 0.33 \times 10^5$ CFU ต่อตัว ตามลำดับ ส่วนจำนวนของ *Bifidobacterium* sp. ที่แยกได้จากลำไส้ส่วนกลางของผึ้งหลวงวรรณะผึ้งงานกลุ่มที่ได้รับเชื้อ *N. ceranae* ที่ระดับ

200,000 สปอร์ต่อตัว เป็นเวลา 10 วัน น้อยกว่าที่ไม่ได้รับเชื้อ (กลุ่มควบคุม) อย่างมีนัยสำคัญทางสถิติ ($p= 0.0002$) ดังภาพที่ ๔.๒๗ ซึ่งมีจำนวนเท่ากับ $4.18 \pm 0.13 \times 10^5$ และ $2.30 \pm 0.07 \times 10^6$ CFU ต่อตัว ตามลำดับ



รูปที่ ๔.๒๗ ค่าเฉลี่ย (Mean \pm S.E.) ของ *Bifidobacterium* sp. ที่แยกได้ทางเดินอาหารของผึ้งหลวง (*A. dorsata*) วรรณะผึ้งงานหลังจากได้รับเชื้อ *N. ceranae* ที่ระดับ 200,000 สปอร์ต่อตัว เป็นเวลา 5 วัน และ 10 วัน เปรียบเทียบกับกลุ่มที่ไม่ได้รับเชื้อ (กลุ่มควบคุม); อักษรที่แตกต่างแสดงถึงค่านัยสำคัญทางสถิติที่แตกต่างกัน (ANOVA; $F_3 = 653.6$, $p < 0.0001$)

ส่วนจำนวนของ *L. kunkei* ที่แยกได้จากลำไส้ส่วนกลางของผึ้งหลวงวรรณะผึ้งงานกลุ่มที่ได้รับเชื้อ *N. ceranae* ที่ระดับ 200,000 สปอร์ต่อตัว เป็นเวลา 5 วัน น้อยกว่าที่ไม่ได้รับเชื้อ (กลุ่มควบคุม) อย่างมีนัยสำคัญทางสถิติ ($p= 0.0002$) ดังภาพที่ ๔.๒๘ ซึ่งมีจำนวนเท่ากับ $1.28 \pm 0.05 \times 10^5$ และ $3.38 \pm 0.17 \times 10^6$ CFU ต่อตัว ตามลำดับ ส่วนจำนวนของ *L. kunkei* ที่แยกได้จากลำไส้ส่วนกลางของผึ้งหลวงวรรณะผึ้งงานกลุ่มที่ได้รับเชื้อ *N. ceranae* ที่ระดับ 200,000 สปอร์ต่อตัว เป็นเวลา 10 วัน น้อยกว่าที่ไม่ได้รับเชื้อ (กลุ่มควบคุม) อย่างมีนัยสำคัญทางสถิติ ($p= 0.0002$) ดังภาพที่ ๔.๒๘ ซึ่งมีจำนวนเท่ากับ $1.19 \pm 0.22 \times 10^5$ และ $1.38 \pm 0.09 \times 10^7$ CFU ต่อตัว ตามลำดับ

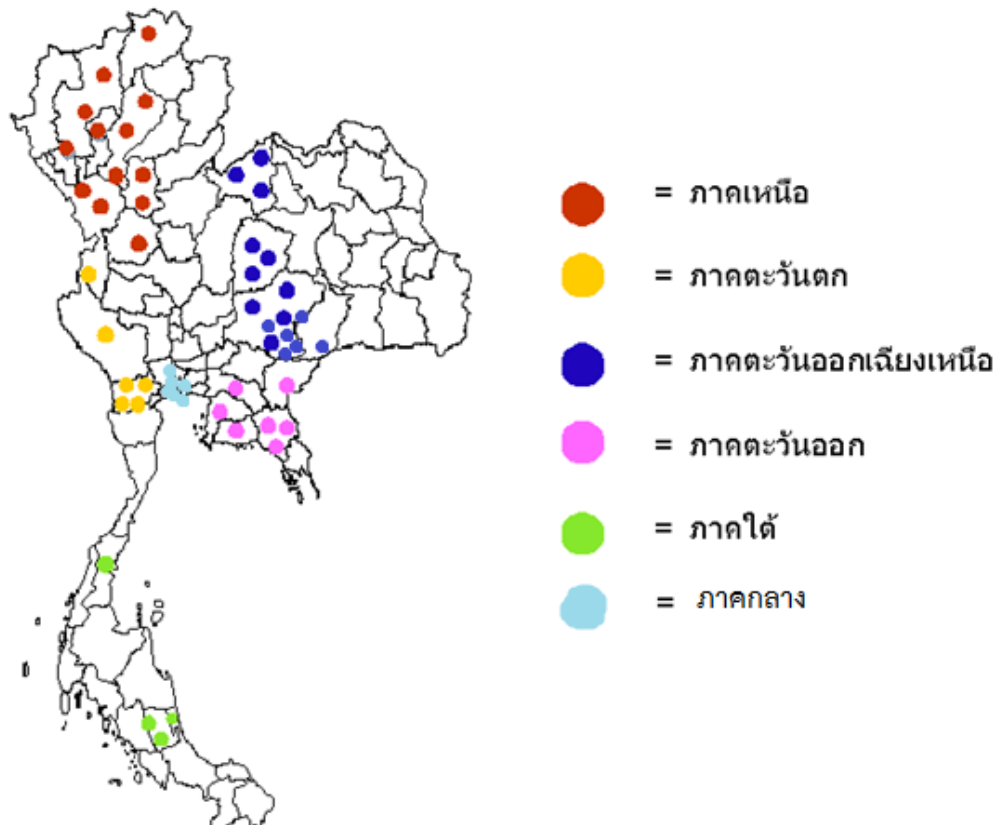


รูปที่ ๔.๒๘ ค่าเฉลี่ย (Mean \pm S.E.) ของ *L. kunkeei* ที่แยกได้ทางเดินอาหารของผึ้งหลวง (*A. dorsata*) วรรณะผึ้งงานหลังจากได้รับเชื้อ *N. ceranae* ที่ระดับ 200,000 สปอร์ต่อตัว เป็นเวลา 5 วัน และ 10 วัน เปรียบเทียบกับกลุ่มที่ไม่ได้รับเชื้อ (กลุ่มควบคุม); อักษรที่แตกต่างแสดงถึงค่านัยสำคัญทางสถิติที่แตกต่างกัน (ANOVA; $F_3 = 187.9, p < 0.0001$)

บทที่ 5

สรุปและอภิปรายผลการทดลอง (Conclusions and Discussions)

จากผลการศึกษาระบาดของเชื้อ *N. ceranae* โดยตรวจนับสปอร์ในห้องปฏิบัติการ (โดยใช้ Hemocytometer) จากผึ้งหลวงที่เก็บจากจังหวัดต่างๆ ของประเทศไทยพบการระบาดทุกพื้นที่ทำการศึกษาดังรูปที่ ๕.๑ พบว่าผึ้งหลวง ๑๒๔ บริเวณ จากภาคเหนือ ภาคตะวันออกเฉียงเหนือ ภาคตะวันออก ภาคตะวันตก ภาคตะวันออกเฉียงเหนือ ภาคใต้ และภาคกลาง ในระยะเวลาช่วงที่ ๓ พบการติดเชื้อ ๘๘ รัง จำนวนตัวอย่างผึ้งงานของผึ้งหลวงทั้งหมดวิเคราะห์ผลด้วย qPCR พบ *N. ceranae* และ *N. apis* อื่น



รูปที่ ๕.๑ บริเวณที่เก็บตัวอย่างผึ้งหลวงเพื่อตรวจการติดเชื้อ *Nosema* จากการเพิ่มการสำรวจ ระยะเวลาช่วงที่ ๓ : วงกลมแสดงตำแหน่งที่เก็บตัวอย่าง; สีแสดงภาคต่าง ๆ ของประเทศไทย ที่ เก็บตัวอย่าง

ตารางที่ ๕.๑ สรุปผลการทดลองการศึกษากลูโคส *N. ceranae* ที่ระดับ 1,000,000 สปอร์ต่อตัว ต่อผึ้ง
หลวงวรรณะผึ้งงาน

กลุ่ม	Infection ratio (%)	Trehalose level ($\mu\text{g}/\text{bee}$)	Protein contents ($\mu\text{g}/\text{bee}$)	Remark
Control 6 p.i.	na	111.73 ± 22.87 ^{bc}	446.88 ± 59.65 ^{ab}	
<i>Nosema</i> 6 p.i.	28.40 ± 4.57 ^c	67.32 ± 13.81 ^c	306.88 ± 50.80 ^b	
Control 10 p.i.	na	154.38 ± 21.67 ^b	756.21 ± 55.59 ^a	
<i>Nosema</i> 10 p.i.	88.20 ± 0.86 ^b	39.71 ± 8.56 ^c	609.10 ± 50.22 ^{ab}	
Control 14 p.i.	na	287.23 ± 21.96 ^a	663.14 ± 35.47 ^{ab}	
<i>Nosema</i> 14 p.i.	100.00 ± 0.00 ^a	37.10 ± 4.62 ^c	711.80 ± 68.02 ^a	

หมายเหตุ อักษรที่แตกต่างกันแสดงนัยสำคัญทางสถิติที่แตกต่างกัน, na หมายถึง ไม่ได้ทำการทดสอบ

เชื้อ *N. ceranae* ที่ระดับ 1,000,000 สปอร์ต่อตัว ทำให้ผึ้งหลวงวรรณะผึ้งงานมีอัตราการรอดชีวิตที่ต่ำลง เมื่อเทียบกับกลุ่มควบคุม เนื่องมาจากเชื้อชนิดนี้ ก่อให้เกิดโรคที่มีชื่อว่า **Nosema disease** (Bailey & Ball, 1991; Fries, 1989) ทำให้ระบบทางเดินอาหารส่วนกลางของผึ้งหลวงเสียหาย เป็นสาเหตุทำให้ระบบย่อยอาหารผิดปกติ อาหารไม่ย่อยและเกิดอาการท้องเสียทำให้ผึ้งมีอายุสั้นลง (Anderson & Giacomini, 1992; Hassanein, 1953; Higes et al., 2007; Rinderer & Dell Elliott, 1977) นั้นเป็นสาเหตุที่ทำให้ผึ้งหลวงวรรณะผึ้งงานตาย

จากการหาอัตราการติดเชื้อในเซลล์ลำไส้ส่วนกลาง (infection ratio) ของผึ้งหลวงในกลุ่มที่ติดเชื้อ *N. ceranae* ที่ระดับ 1,000,000 สปอร์ต่อตัว เป็นเวลา 6, 10 และ 14 วัน พบว่าสปอร์ของเชื้อ *N. ceranae* จะพบมากในเซลล์เยื่อบุผิวของทางเดินอาหารของผึ้งหลวงขึ้นอยู่กับระยะเวลาของการติดเชื้อ ติดเชื้อเป็นเวลานานก็พบจำนวนสปอร์มากกว่าการติดเชื้อในช่วงระยะเวลาที่สั้น เนื่องมาจาก เชื้อสปอร์ของ *N. ceranae* จะใช้เวลาในการเพิ่มจำนวนในเซลล์เยื่อบุผิวของทางเดินอาหารของผึ้งหลวงรวมใช้เวลาประมาณ 13 วันก่อนที่จะทำลายเซลล์แล้วกระจายออกมาบริเวณ

lumen เพื่อเข้าไปติดเชื้อบริเวณเซลล์อื่นๆ ต่อไป ดังนั้นจึงพบปริมาณของเชื้อในวันที่ 14 หลังการติดเชื้อมากกว่าวันที่ 10 และ 6 หลังการติดเชื้อ

ตารางที่ ๕.๒ สรุปผลการทดลองการศึกษาค่าผลของสารสกัดพรอพอลิสความเข้มข้นร้อยละ 50 ต่อผึ้งหลวงวรรณะผึ้งงานหลังได้รับเชื้อ *N. ceranae* ที่ระดับ 1,000,000 สปอร์ต่อตัว

กลุ่ม	Trehalose level (µg/bee)	Protein contents (µg/bee)	Remark
Control	264.00 ±3.95 ^b	562.00 ±52.86 ^b	
Nosema (1,000,000 spores/bee)	121.60 ±7.55 ^d	472.00 ±45.87 ^b	
Propolis (50%)	301.60 ±3.98 ^a	1,522.00 ±88.23 ^a	
Nosema +propolis	176.80 ±2.22 ^c	1,376.00 ±83.22 ^a	

หมายเหตุ อักษรที่แตกต่างกันแสดงนัยสำคัญทางสถิติที่แตกต่างกัน, na หมายถึง ไม่ได้ทำการทดสอบ

แต่เมื่อทดลองให้สารสกัดพรอพอลิสความเข้มข้นร้อยละ 50 แก่ผึ้งหลวงวรรณะผึ้งงานหลังได้รับเชื้อ *N. ceranae* ที่ระดับ 1,000,000 สปอร์ต่อตัว พบว่าอัตราการติดเชื้อในลำไส้ส่วนกลางของผึ้งหลวงในกลุ่มที่ติดเชื้อ *N. ceranae* แล้วให้สารสกัดพรอพอลิสความเข้มข้นร้อยละ 50 ต่ำกว่า กลุ่มที่ได้รับเชื้อ *N. ceranae* แต่ไม่ได้ให้สารสกัดพรอพอลิสอย่างมีนัยสำคัญทางสถิติ แสดงว่าสารสกัดพรอพอลิสความเข้มข้นร้อยละ 50 ช่วยลดอัตราการติดเชื้อ *N. ceranae* ในลำไส้ส่วนกลางของผึ้งหลวงได้ สอดคล้องกับรายงานการวิจัยก่อนหน้านี้ที่ใช้สารสกัดพรอพอลิสจากชันโรง (*Trigona apicalis*) ด้วยเอธานอล ในผึ้งมิมและผึ้งโพรง พบว่าสารสกัดดังกล่าวทำให้ผึ้งงานของผึ้งทั้งสองชนิดที่ได้รับเชื้อ *N. ceranae* ระดับ 80,000 สปอร์ต่อตัว มีอัตราการติดเชื้อที่ลดลงเมื่อเทียบกับกลุ่มควบคุม (Suwannapong *et al.*, 2012, 2014, 2018) จากการทดลองหาอัตราการติดเชื้อในลำไส้ส่วนกลางของผึ้งหลวงวรรณะผึ้งงานหลังได้รับเชื้อ *N. ceranae* ที่ระดับ 1,000,000 สปอร์ต่อตัว แล้วให้สารละลายไคโตซานความเข้มข้น 0.1 ppm พบว่าอัตราการติดเชื้อในลำไส้ส่วนกลางของผึ้ง

หลวงในกลุ่มที่ติดเชื้อ *N. ceranae* แล้วให้สารละลายไคโตซานความเข้มข้น 0.1 ppm ต่ำกว่า กลุ่มที่ได้รับเชื้อ *N. ceranae* แต่ไม่ได้ให้สารละลายไคโตซาน อย่างมีนัยสำคัญทางสถิติ แสดงว่าสารละลายไคโตซานความเข้มข้น 0.1 ppm ช่วยลดอัตราการติดเชื้อ *N. ceranae* ในลำไส้ส่วนกลางของผึ้งหลวงได้

ตารางที่ ๕.๓ สรุปผลการทดลองการศึกษาผลของสารละลายไคโตซานความเข้มข้น 0.1 ppm ต่อผึ้งหลวงวรรณะผึ้งงานหลังได้รับเชื้อ *N. ceranae* ที่ระดับ 1,000,000 สปอร์ต่อตัว

กลุ่ม	Trehalose level (µg/bee)	Protein contents (µg/bee)	Remark
Control	250.80 ±3.40 ^a	562.00 ±52.86 ^b	
Nosema (1,000,000 spores/bee)	134.60 ±10.66 ^c	466.00 ±51.34 ^b	
Chitosan (1 ppm)	254.20 ±2.60 ^a	1,520.00 ±115.76 ^a	
Nosema +chitosan	174.20 ±2.52 ^b	1,386.00 ±84.24 ^a	

หมายเหตุ อักษรที่แตกต่างกันแสดงนัยสำคัญทางสถิติที่แตกต่างกัน, na หมายถึง ไม่ได้ทำการทดสอบ

จากการทดลองหาระดับน้ำตาลทรีฮาโลสในน้ำเลือดของผึ้งหลวงวรรณะผึ้งงานหลังได้รับเชื้อ *N. ceranae* ที่ระดับ 1,000,000 สปอร์ต่อตัว แล้วให้สารสกัดพรอพอลิสความเข้มข้นร้อยละ 50 พบว่าระดับน้ำตาลทรีฮาโลสในน้ำเลือดของผึ้งหลวงกลุ่มที่ติดเชื้อ *N. ceranae* แล้วให้สารสกัดพรอพอลิสความเข้มข้นร้อยละ 50 สูงกว่า กลุ่มที่ได้รับเชื้อ *N. ceranae* แต่ไม่ได้ให้สารสกัดพรอพอลิสอย่างมีนัยสำคัญทางสถิติ แสดงว่าสารสกัดพรอพอลิสความเข้มข้นร้อยละ 50 ช่วยส่งเสริมกระบวนการที่ทำให้ระดับน้ำตาลทรีฮาโลสในน้ำเลือดของผึ้งหลวงวรรณะผึ้งงานที่ติดเชื้อ *N. ceranae* สูงขึ้น สอดคล้องกับรายงานการวิจัยก่อนหน้านี้ที่ใช้สารสกัดพรอพอลิสจากชันโรง (*Trigona apicalis*) ด้วยเอธานอล ในผึ้งมิม พบว่าสารสกัดดังกล่าวทำให้ผึ้งงานของผึ้งมิมที่ได้รับเชื้อ *N. ceranae* ระดับ 80,000 สปอร์ต่อตัว มีระดับน้ำตาลทรีฮาโลสในน้ำเลือดสูงขึ้นเมื่อเทียบกับกลุ่ม

ควบคุม (Suwannapong *et al.*, 2018) สารสกัดพรอพออลิสยังช่วยลดสภาวะเครียดทางพลังงานเมื่อผึ้งติดเชื้อ (Energetic stress) เนื่องจากสารสกัดพรอพออลิสช่วยเพิ่มระดับน้ำตาลทรีฮาโลสในน้ำเลือดของผึ้งเมื่อติดเชื้อ ซึ่งดัชนีที่วัดการเกิดสภาวะเครียดทางพลังงานเมื่อผึ้งติดเชื้อคือค่าระดับน้ำตาลทรีฮาโลสในน้ำเลือดต่ำ (Mayack & Naug, 2009, 2010)

จากการทดลองหาระดับน้ำตาลทรีฮาโลสในน้ำเลือดของผึ้งหลวงวรรณะผึ้งงานหลังได้รับเชื้อ *N. ceranae* ที่ระดับ 1,000,000 สปอร์ต่อตัว แล้วให้สารละลายไคโตซานความเข้มข้น 0.1 ppm พบว่าระดับน้ำตาลทรีฮาโลสในน้ำเลือดของผึ้งหลวงกลุ่มที่ติดเชื้อ *N. ceranae* แล้วให้สารละลายไคโตซานความเข้มข้น 0.1 ppm สูงกว่า กลุ่มที่ได้รับเชื้อ *N. ceranae* แต่ไม่ได้ให้สารละลายไคโตซาน อย่างมีนัยสำคัญทางสถิติ แสดงว่าสารละลายไคโตซานความเข้มข้น 1 ppm ช่วยส่งเสริมกระบวนการที่ทำให้ระดับน้ำตาลทรีฮาโลสในน้ำเลือดของผึ้งหลวงวรรณะผึ้งงานที่ติดเชื้อ *N. ceranae* สูงขึ้น สารละลายไคโตซานยังช่วยลดสภาวะเครียดทางพลังงานเมื่อผึ้งติดเชื้อ (Energetic stress) เนื่องจากสารละลายไคโตซานช่วยเพิ่มระดับน้ำตาลทรีฮาโลสในน้ำเลือดของผึ้งเมื่อติดเชื้อ ซึ่งดัชนีที่วัดการเกิดสภาวะเครียดทางพลังงานเมื่อผึ้งติดเชื้อคือค่าระดับน้ำตาลทรีฮาโลสในน้ำเลือดต่ำ (Mayack & Naug, 2009, 2010)

จากการทดลองหาปริมาณโปรตีนของต่อมไฮโปฟาริงค์ของผึ้งหลวงวรรณะผึ้งงานหลังได้รับเชื้อ *N. ceranae* ที่ระดับ 1,000,000 สปอร์ต่อตัว แล้วให้สารสกัดพรอพออลิสความเข้มข้นร้อยละ 50 พบว่าปริมาณโปรตีนของต่อมไฮโปฟาริงค์ของผึ้งหลวงกลุ่มที่ติดเชื้อ *N. ceranae* แล้วให้สารสกัดพรอพออลิสความเข้มข้นร้อยละ 50 สูงกว่า กลุ่มที่ได้รับเชื้อ *N. ceranae* แต่ไม่ได้ให้สารสกัดพรอพออลิสอย่างมีนัยสำคัญทางสถิติ แสดงว่าสารสกัดพรอพออลิสความเข้มข้นร้อยละ 50 ช่วยส่งเสริมกระบวนการผลิตโปรตีนของต่อมไฮโปฟาริงค์ของผึ้งหลวงวรรณะผึ้งงาน โดยการสร้างโปรตีนในต่อมไฮโปฟาริงค์จำเป็นต้องใช้พลังงานและโปรตีน ซึ่งพลังงานหลักของผึ้งก็คือน้ำตาลทรีฮาโลส และแหล่งโปรตีนหลักของผึ้งก็คือเกสรผึ้ง เมื่อผึ้งติดเชื้อ *N. ceranae* ทำให้ระบบทางเดินอาหารเสียหาย ส่งผลต่อการดูดซึมอาหารทำให้ได้โปรตีนและพลังงานสำหรับไปสร้างโปรตีนในต่อมไฮโปฟาริงค์น้อยระดับโปรตีนในต่อมไฮโปฟาริงค์ของผึ้งหลวงวรรณะผึ้งงานหลังได้รับเชื้อ *N. ceranae* จึงต่ำ แต่เมื่อผึ้งได้รับสารสกัดพรอพออลิสความเข้มข้นร้อยละ 50 สารสกัดจะช่วยลดการติดเชื้อได้ ทำให้ระบบทางเดินอาหารของผึ้งทำงานได้ดีกว่าที่ไม่ได้ให้สารสกัดพรอพออลิส จึงดูดซึมโปรตีนและพลังงานได้มากกว่าที่ไม่ได้ให้สารสกัดพรอพออลิส ส่งผลให้ต่อมไฮโปฟาริงค์ผลิตโปรตีนได้สูงกว่าที่ไม่ได้ให้สารสกัดพรอพออลิส สอดคล้องกับรายงานการวิจัยก่อนหน้านี้ที่ใช้สารสกัดพรอพออลิสจากชันโรง (*Trigona apicalis*) ด้วยเอธานอล ในผึ้งมิม พบว่าสารสกัดดังกล่าวทำให้ผึ้งงานของผึ้งมิมที่ได้รับเชื้อ *N. ceranae* ระดับ 80,000 สปอร์ต่อตัว มีปริมาณโปรตีนของต่อมไฮโปฟาริงค์สูงขึ้นเมื่อเทียบกับกลุ่มควบคุม (Suwannapong *et al.*, 2018)

จากการทดลองหาปริมาณโปรตีนของต่อมไฮโปฟาลิงค์ของผึ้งหลวงวรรณะผึ้งงานหลังได้รับเชื้อ *N. ceranae* ที่ระดับ 1,000,000 สปอร์ต่อตัว แล้วให้สารละลายโคโตซานความเข้มข้น 1 ppm พบว่าปริมาณโปรตีนของต่อมไฮโปฟาลิงค์ของผึ้งหลวงกลุ่มที่ติดเชื้อ *N. ceranae* แล้วให้สารละลายโคโตซานความเข้มข้น 0.1 ppm สูงกว่า กลุ่มที่ได้รับเชื้อ *N. ceranae* แต่ไม่ได้ให้สารสกัดพรอพอลิส อย่างมีนัยสำคัญทางสถิติ แสดงว่าสารละลายโคโตซานความเข้มข้น 0.1 ppm ช่วยส่งเสริมกระบวนการผลิตโปรตีนของต่อมไฮโปฟาลิงค์ของผึ้งหลวงวรรณะผึ้งงาน โดยการสร้างโปรตีนในต่อมไฮโปฟาลิงค์จำเป็นต้องใช้พลังงานและโปรตีน ซึ่งพลังงานหลักของผึ้งก็คือน้ำตาลทรีฮาโลส และแหล่งโปรตีนหลักของผึ้งก็คือเกสรผึ้ง เมื่อผึ้งติดเชื้อ *N. ceranae* ทำให้ระบบทางเดินอาหารเสียหาย ส่งผลต่อการดูดซึมอาหารทำให้ได้โปรตีนและพลังงานสำหรับนำไปสร้างโปรตีนในต่อมไฮโปฟาลิงค์มีปริมาณน้อย ระดับโปรตีนในต่อมไฮโปฟาลิงค์ของผึ้งหลวงวรรณะผึ้งงานหลังได้รับเชื้อ *N. ceranae* จึงต่ำ แต่เมื่อผึ้งได้รับสารละลายโคโตซานความเข้มข้น 0.1 ppm สารละลายนี้จะช่วยลดการติดเชื้อได้ โดยกลุ่มที่ให้สารละลายโคโตซานชั้น peritrophic membrane ในทางเดินอาหารส่วนกลางจะมีความหนาเพิ่มขึ้นเมื่อเทียบกับกลุ่มที่ไม่ให้สารละลายโคโตซาน ชั้นที่หนานี้จะช่วยป้องกันการบุกรุกของเชื้อ *Nosema* ได้ ทำให้อัตราการติดเชื้อลดลง ระบบทางเดินอาหารก็ทำงานได้ดีกว่าที่ผึ้งกลุ่มที่ไม่ได้ให้สารละลายโคโตซาน จึงดูดซึมโปรตีนและพลังงานได้มากกว่าผึ้งกลุ่มที่ไม่ได้ให้สารให้สารละลายโคโตซาน และส่งผลให้ต่อมไฮโปฟาลิงค์ผลิตโปรตีนได้สูงกว่าผึ้งกลุ่มที่ไม่ได้ให้สารละลายโคโตซาน

ตารางที่ ๕.๔ สรุปผลการทดลองการศึกษามลของ *N. ceranae* ที่ระดับ 200,000 สปอร์ต่อตัว ต่อชนิดและปริมาณของแบคทีเรียในทางเดินอาหารของผึ้งหลวง (*A. dorsata*) วรรณะผึ้งงาน

กลุ่ม	จำนวนแบคทีเรีย (CFU ต่อตัว)			
	<i>Bifidobacterium</i> sp.		<i>L. kunkeei</i>	
	วันที่ 5 หลังการ ป้อนเชื้อ <i>N. ceranae</i>	วันที่ 10 หลังการ ป้อนเชื้อ <i>N. ceranae</i>	วันที่ 5 หลังการ ป้อนเชื้อ <i>N. ceranae</i>	วันที่ 10 หลังการ ป้อนเชื้อ <i>N. ceranae</i>
กลุ่มควบคุม	5.90± 0.33 × 10 ^{5b}	2.30± 0.07 × 10 ^{6a}	3.38± 0.17 × 10 ^{6b}	1.38± 0.09 × 10 ^{7a}
กลุ่ม <i>N. ceranae</i>	1.62± 0.20 × 10 ^{3d}	4.18± 0.13 × 10 ^{5c}	1.28± 0.05 × 10 ^{5c}	1.19± 0.22 × 10 ^{5c}

หมายเหตุ อักษรที่แตกต่างกันแสดงนัยสำคัญทางสถิติที่แตกต่างกัน

เมื่อเชื้อ *N. ceranae* ทำให้ระบบทางเดินอาหารส่วนกลางของผึ้งหลวงเสียหาย เป็นสาเหตุทำให้ระบบย่อยอาหารผิดปกติ อาหารไม่ย่อยและเกิดอาการท้องเสียทำให้ผึ้งมีอายุสั้นลง (Anderson & Giaccon, 1992; Hassanein, 1953; Higes et al., 2007; Rinderer & Dell Elliott, 1977) นั้นเป็นสาเหตุที่ทำให้ผึ้งหลวงวรรณะผึ้งงานตาย นอกจากนี้เชื้อ *N. ceranae* ยังมีผลกระทบต่อแบคทีเรียประจำถิ่นที่มีประโยชน์ จากผลการลองที่ศึกษาผลของเชื้อ *N. ceranae* ต่อแบคทีเรียในระบบทางเดินอาหารของผึ้งหลวง พบว่าเมื่อผึ้งติดเชื้อ *N. ceranae* เป็นเวลา 5 และ 10 วัน ส่งผลให้จำนวนของ *Bifidobacterium* sp. และ *L. kunkeei* มีปริมาณที่ลดลง ทั้งนี้เหตุผลยังไม่เป็นที่ทราบแน่ชัด แต่แบคทีเรียเหล่านี้มีส่วนช่วยในกระบวนการย่อยอาหาร และเชื้อก็อาศัยอยู่บริเวณ micro villi ของเยื่อบุผิวลำไส้ เมื่อเซลล์ถูกทำลายด้วยการติดเชื้อ *N. ceranae* จึงส่งผลกระทบต่อแบคทีเรียเหล่านี้ และจากการทดลองพบว่า แบคทีเรียเหล่านี้ลดจำนวนลงเมื่อติดเชื้อ *N. ceranae*

บรรณานุกรม
(Bibliography)

- Anderson, D. L., & Giaccon, H. (1992). Reduced Pollen Collection by Honey Bee (Hymenoptera: Apidae) Colonies Infected with *Nosema apis* and Sacbrood Virus. *Journal of Economic Entomology*, 85(1), 47-51. doi:10.1093/jee/85.1.47
- Bailey, L., & Ball, B. V. (1991). 6 - MICROSPORA AND PROTOZOA. In L. Bailey & B. V. Ball (Eds.), *Honey Bee Pathology (Second Edition)* (pp. 64-77). London: Academic Press.
- Baker, H. G., Cruden, R. W., & Baker, I. (1971). Minor Parasitism in Pollination and Its Community Function: The Case of *Ceiba acuminata*. *Bioscience*, 21(22), 1127.
- Chemurot, M., De Smet, L., Brunain, M., De Rycke, R., & de Graaf, D. C. (2017). *Nosema neumanni* n. sp. (Microsporidia, Nosematidae), a new microsporidian parasite of honeybees, *Apis mellifera* in Uganda. 61(Pt A), 13-19. doi:10.1016/j.ejop.2017.07.002
- Chen, Y., Evans, J. D., Smith, I. B., & Pettis, J. S. (2008). *Nosema ceranae* is a long-present and wide-spread microsporidian infection of the European honey bee (*Apis mellifera*) in the United States. *J Invertebr Pathol*, 97(2), 186-188. doi:10.1016/j.jip.2007.07.010
- Clark, T. B. (1980). A second microsporidian in the honeybee. *Journal of Invertebrate Pathology*, 35(3), 290-294. doi:[https://doi.org/10.1016/0022-2011\(80\)90164-0](https://doi.org/10.1016/0022-2011(80)90164-0)
- de Graaf, J. B., Sittig, A. C., & Denier van der Gon, J. J. (1994). Misdirections in slow, goal-directed arm movements are not primarily visually based. *Exp Brain Res*, 99(3), 464-472.
- Ellis, J. D., & Munn, P. A. (2005). The worldwide health status of honey bees. *Bee World*, 86(4), 88-101. doi:10.1080/0005772X.2005.11417323
- Franzen, C., & Müller, A. (1999). Molecular techniques for detection, species differentiation, and phylogenetic analysis of microsporidia. *Clinical microbiology reviews*, 12(2), 243-285.

- Fries, I. (1989). Observations on the Development and Transmission of *Nosema Apis* Z. In the Ventriculus of the Honeybee. *Journal of Apicultural Research*, 28(2), 107-117. doi:10.1080/00218839.1989.11100830
- Fries, I., Ekbohm, G., & Villumstad, E. (1984). *Nosema Apis*, Sampling Techniques and Honey Yield. *Journal of Apicultural Research*, 23(2), 102-105. doi:10.1080/00218839.1984.11100617
- Fries, I., Feng, F., da Silva, A., Slemenda, S. B., & Pieniasek, N. J. (1996). *Nosema ceranae* n. sp.(Microspora, Nosematidae), morphological and molecular characterization of a microsporidian parasite of the Asian honey bee *Apis cerana* (Hymenoptera, Apidae). *European Journal of Protistology*, 32(3), 356-365.
- Fries, I., Martín, R., Meana, A., García-Palencia, P., & Higes, M. (2006). Natural infections of *Nosema ceranae* in European honey bees. *Journal of Apicultural Research*, 45(4), 230-233. doi:10.1080/00218839.2006.11101355
- Goodman, M., Houten, A. t., Perry, J., & Blackmann, R. (1990). Cost benefit analysis of using fumagillin to treat nosema. *New Zealand Beekeeper*(208), 11-12.
- Goodwin, R. M., Perry, J. H., & Houten, A. T. (1994). The effect of drifting honey bees on the spread of American foulbrood infections. *Journal of Apicultural Research*, 33(4), 209-212. doi:10.1080/00218839.1994.11100873
- Hassanein, M. (1953). The influence of infection with *Nosema apis* on the activities and longevity of the worker honeybee. *Annals of Applied Biology*, 40(2), 418-423.
- Higes, M., Garcia-Palencia, P., Martin-Hernandez, R., & Meana, A. (2007). Experimental infection of *Apis mellifera* honeybees with *Nosema ceranae* (Microsporidia). *J Invertebr Pathol*, 94(3), 211-217. doi:10.1016/j.jip.2006.11.001
- Huang, W.-F., Jiang, J.-H., Chen, Y.-W., & Wang, C.-H. (2007). A *Nosema ceranae* isolate from the honeybee *Apis mellifera*. *Apidologie*, 38(1), 30-37.
- Klee, J., Besana, A. M., Genersch, E., Gisder, S., Nanetti, A., Tam, D. Q., . . . Paxton, R. J. (2007). Widespread dispersal of the microsporidian *Nosema ceranae*, an emergent pathogen of the western honey bee, *Apis mellifera*. *J Invertebr Pathol*, 96(1), 1-10. doi:10.1016/j.jip.2007.02.014

- Malone, L., A., Giacón, H., A., & Newton, M., R. (1995). Comparison of the responses of some New Zealand and Australian honey bees (*Apis mellifera* L) to *Nosema apis*. *Z. Apidologie*, 26(6), 495-502.
- Malone, L., & Gatehouse, S. (1998). *Effects of Nosema apis Infection on Honey Bee (Apis mellifera) Digestive Proteolytic Enzyme Activity* (Vol. 71).
- Martín-Hernández, R., Meana, A., Prieto, L., Salvador, A. M., Garrido-Bailón, E., & Higes, M. (2007). Outcome of colonization of *Apis mellifera* by *Nosema ceranae*. *Applied and environmental microbiology*, 73(20), 6331-6338.
doi:10.1128/AEM.00270-07
- Matheson, A. (1993). World Bee Health Report. *Bee World*, 74(4), 176-212.
doi:10.1080/0005772X.1993.11099183
- Matheson, A. (1996). World bee health update 1996. *Bee World*, 77(1), 45-51.
doi:10.1080/0005772X.1996.11099281
- Mayack, C., & Naug, D. (2009). Energetic stress in the honeybee *Apis mellifera* from *Nosema ceranae* infection. *J Invertebr Pathol*, 100(3), 185-188.
doi:10.1016/j.jip.2008.12.001
- Mayack, C., & Naug, D. (2010). Parasitic infection leads to decline in hemolymph sugar levels in honeybee foragers. *J Insect Physiol*, 56(11), 1572-1575.
doi:10.1016/j.jinsphys.2010.05.016
- Mayack, C., & Naug, D. (2013). Individual energetic state can prevail over social regulation of foraging in honeybees. *Behavioral Ecology and Sociobiology*, 67(6), 929-936. doi:10.1007/s00265-013-1517-6
- McGregor, S. E. (1976). *Insect pollination of cultivated crop plants* (Vol. 496):
Agricultural Research Service, US Department of Agriculture Washington, DC.
- Peters, M. J., Suwannapong, G., Pelin, A., & Corradi, N. (2018). Genetic and Genome Analyses Reveal Genetically Distinct Populations of the Bee Pathogen *Nosema ceranae* from Thailand. *Microb Ecol*. doi:10.1007/s00248-018-1268-z
- Rinderer, T. E., & Dell Elliott, K. (1977). Worker Honey Bee Response to Infection with *Nosema apis*: Influence of Diet. *Journal of Economic Entomology*, 70(4), 431-433. doi:10.1093/jee/70.4.431

- Rinderer, T. E., & Sylvester, H. A. (1978). Variation in Response to *Nosema apis*, Longevity, and Hoarding Behavior in a Free-Mating Population of the Honey Bee1, 2. *Annals of the Entomological Society of America*, 71(3), 372-374. doi:10.1093/aesa/71.3.372
- Ritter, W. (2001). *Enfermedades de las abejas*. . In: Acribia S.A. (Ed.), Spain.: Zara-goza.
- Sanchez Collado, J. G., Higes, M., Barrio, L., & Martin-Hernandez, R. (2014). Flow cytometry analysis of *Nosema* species to assess spore viability and longevity. *Parasitol Res*, 113(5), 1695-1701. doi:10.1007/s00436-014-3814-z
- Solter, L. F. (2010). *Managed Pollinator CAP Coordinated Agricultural Project A National Research and Extension Initiative to Reverse Pollinator Decline Microsporidia: Friend, Foe (and Intriguing Creatures)* (Vol. 150).
- Suwannapong, G., Maksong, S., Phainchajoen, M., Benbow, M. E., & Mayack, C. (2018). Survival and health improvement of *Nosema* infected *Apis florea* (Hymenoptera: Apidae) bees after treatment with propolis extract. *Journal of Asia-Pacific Entomology*, 21(2), 437-444. doi:10.1016/j.aspen.2018.02.006
- Suwannapong, G., Maksong, S., Seanbualuang, P., & Benbow, M. E. (2010). Experimental infection of red dwarf honeybee, *Apis florea*, with *Nosema ceranae*. *Journal of Asia-Pacific Entomology*, 13(4), 361-364. doi:10.1016/j.aspen.2010.07.003
- Suwannapong, G., Maksong, S., Yemor, T., Junsuri, N., & Benbow, M. E. (2013). Three species of native Thai honey bees exploit overlapping pollen resources: Identification of bee flora from pollen loads and midguts from *Apis cerana*, *A. dorsata* and *A. florea*. *Journal of Apicultural Research*, 52(5), 196-201. doi:10.3896/IBRA.1.52.5.05
- Suwannapong, G., Yemor, T., Boonpakdee, C., & Benbow, M. E. (2011). *Nosema ceranae*, a new parasite in Thai honeybees. *Journal of Invertebrate Pathology*, 106(2), 236-241. doi:10.1016/j.jip.2010.10.003
- Wang, D.-I., & Moeller, F. (1969). Histological comparisons of the development of hypopharyngeal glands in healthy and *Nosema*-infected worker honey bees. *Journal of Invertebrate Pathology*, 14(2), 135-142.

- Wang, D.-I., & Moeller, F. E. (1971). Ultrastructural changes in the hypopharyngeal glands of worker honey bees infected by *Nosema apis*. *Journal of Invertebrate Pathology*, 17(3), 308-320. doi:[https://doi.org/10.1016/0022-2011\(71\)90002-4](https://doi.org/10.1016/0022-2011(71)90002-4)
- Williams, G. R., Shafer, A. B., Rogers, R. E., Shutler, D., & Stewart, D. T. (2008). First detection of *Nosema ceranae*, a microsporidian parasite of European honey bees (*Apis mellifera*), in Canada and central USA. *J Invertebr Pathol*, 97(2), 189-192. doi:10.1016/j.jip.2007.08.005
- Yemor, T., Phiancharoen, M., Eric Benbow, M., & Suwannapong, G. (2015). Effects of stingless bee propolis on *Nosema ceranae* infected Asian honey bees, *Apis cerana*. *Journal of Apicultural Research*, 54(5), 468-473. doi:10.1080/00218839.2016.1162447
- Zander, E. (1909). Tierische Parasiten als Krankheitserreger bei der Biene. *Münchener Bienenzeitung*, 31, 196-204.

ภาคผนวก
(Appendix)

ประมวลภาพการทำวิจัย

กิจกรรม	คำอธิบาย
	<p>ภาพลงพื้นที่ไปเก็บตัวอย่างผึ้งหลวงที่ จังหวัดสมุทรสาคร</p>
	<p>ภาพรังผึ้งหลวงบนกิ่งมะม่วง ที่จังหวัดสมุทรสาคร</p>
	<p>ภาพลุงมัน (พรานตีผึ้งหลวง) กำลังปีนต้น มะม่วงและใช้ควันรมรังผึ้งหลวงเพื่อเก็บ ตัวอย่าง จังหวัดสมุทรสาคร</p>
	<p>ภาพลงพื้นที่ไปเก็บตัวอย่างผึ้งหลวงที่ จังหวัดสมุทรสาคร</p>

กิจกรรม	คำอธิบาย
	<p>ภาพรังผึ้งหลวงบนกิ่งต้นไม้ ที่จังหวัดสมุทรสาคร</p>
	<p>ภาพลุงมัน (พรานตีผึ้งหลวง) กำลังปีนต้นไม้ และใช้ควมรรมรังผึ้งหลวงเพื่อเก็บตัวอย่าง จังหวัดสมุทรสาคร</p>
	<p>ภาพลงพื้นที่ไปเก็บตัวอย่างผึ้งหลวงที่ จังหวัดสมุทรสาคร</p>
	<p>ภาพลุงมัน (พรานตีผึ้งหลวง) กำลังปีนต้น โพธิ์และใช้ควมรรมรังผึ้งหลวงเพื่อเก็บ ตัวอย่าง จังหวัดสมุทรสาคร</p>


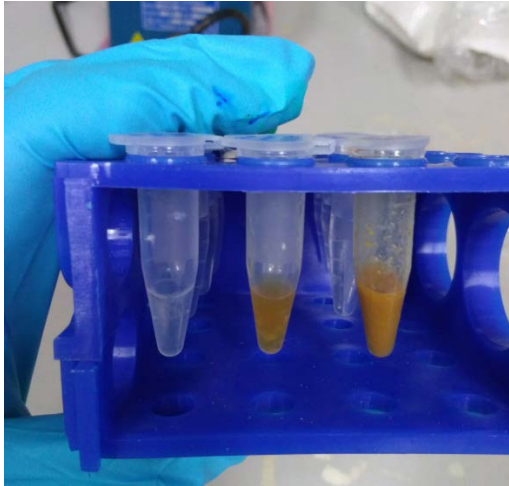

กิจกรรม	คำอธิบาย
	<p>ภาพถ่ายร่วมกับชาวบ้าน ขณะลงพื้นที่ไปเก็บตัวอย่างผึ้งหลวงที่ จังหวัดสมุทรสาคร</p>
	<p>ภาพรังผึ้งหลวงบนกิ่งต้นไม้ ที่จังหวัดสมุทรสาคร</p>
	<p>ภาพลุงมัน (พรานตีผึ้งหลวง) กำลังปีนต้นไม้ และใช้ขวานร้งผึ้งหลวงเพื่อเก็บตัวอย่าง จังหวัดสมุทรสาคร</p>
	<p>ภาพลงพื้นที่ไปเก็บตัวอย่างผึ้งหลวงที่ จังหวัดสมุทรสาคร</p>

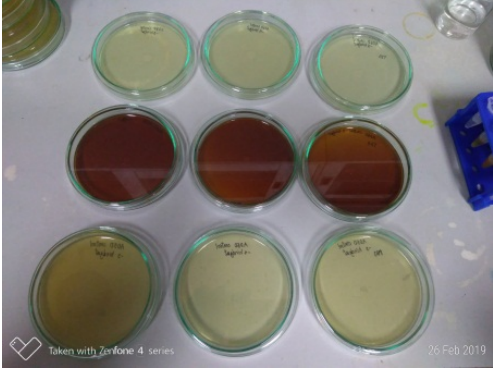
กิจกรรม	คำอธิบาย
	<p>ภาพลงพื้นที่ไปเก็บตัวอย่างผึ้งหลวงที่ จังหวัดสมุทรสาคร</p>
	<p>ภาพลงพื้นที่ไปเก็บตัวอย่างผึ้งหลวงที่ จังหวัดสมุทรสาคร</p>
	<p>ภาพรังผึ้งหลวงบนกิ่งมะม่วง ที่จังหวัดสมุทรสาคร</p>
	<p>ภาพลูงมัน (พรานตีผึ้งหลวง) กำลังปีนต้น มะม่วงและใช้ควั่นรผึ้งหลวงเพื่อเก็บ ตัวอย่าง จังหวัดสมุทรสาคร</p>

กิจกรรม	คำอธิบาย
	<p>ภาพรังผึ้งหลวงบนกิ่งลำไย ที่จังหวัดสมุทรสาคร</p>
	<p>ภาพลุงมัน (พรานตีผึ้งหลวง) กำลังปีนต้น ลำไยและใช้ควันรมรังผึ้งหลวงเพื่อเก็บ ตัวอย่าง จังหวัดสมุทรสาคร</p>
	<p>ภาพรังผึ้งหลวงบนกิ่งต้นไม้ ที่จังหวัดสมุทรสาคร</p>
	<p>ภาพลุงมัน (พรานตีผึ้งหลวง) กำลังปีนต้นไม้ และใช้ควันรมรังผึ้งหลวงเพื่อเก็บตัวอย่าง จังหวัดสมุทรสาคร</p>

กิจกรรม	คำอธิบาย
	<p>ภาพรังผึ้งหลวงที่เต็มไปด้วย sealed brood</p>
	<p>ภาพรังผึ้งหลวงสำหรับใช้ทดลองในห้องปฏิบัติการ</p>
	<p>ภาพรังผึ้งหลวงที่อยู่ในกล่องใสสำหรับเก็บมาทำการทดลองในห้องปฏิบัติการ</p>
	<p>ภาพรังผึ้งหลวงมากกว่าร้อยรังบนต้นไม้ จังหวัดบุรีรัมย์</p>

กิจกรรม	คำอธิบาย
	<p>ภาพถ่ายกรงผึ้งทดลองที่เลี้ยงในตู้ควบคุมอุณหภูมิ 33±1 องศาเซลเซียส</p>
	<p>ภาพถ่ายผึ้งหลวงที่ถูกดึงทางเดินอาหารด้วย forceps ปลายแหลม เพื่อใช้ในการทดลอง</p>
	<p>ภาพถ่ายทางเดินอาหารของผึ้งหลวง</p>
	<p>ภาพถ่ายทางเดินอาหารของผึ้งหลวงที่ผ่านกระบวนการติดตัวอย่างเพื่อตัดเนื้อเยื่อสำหรับย้อมสีเนื้อเยื่อ</p>

กิจกรรม	คำอธิบาย
 A photograph showing a rotary microtome in operation. A thin, translucent slice of tissue is being cut from a block and falling into a collection tray. The machine is blue and silver, with a warning symbol visible on the side.	<p>ภาพถ่ายกระบวนการตัดเนื้อเยื่อด้วยเครื่อง Rotary microtome สำหรับย้อมสีเนื้อเยื่อ</p>
 A photograph showing a gloved hand holding a blue rack containing several test tubes. The tubes contain a yellow liquid, likely a bacterial suspension. The background is a laboratory setting.	<p>ภาพถ่ายทางเดินอาหารของผึ้งหลวงที่บดละเอียดสำหรับวิเคราะห์ชนิดและปริมาณของแบคทีเรีย</p>
 A photograph showing a gloved hand performing a spread plate technique. The hand is holding a petri dish and spreading a yellow liquid onto the surface of a petri dish. The background shows a laboratory bench with various equipment and petri dishes.	<p>ภาพถ่ายการวิเคราะห์ชนิดและปริมาณของแบคทีเรียโดยการเพาะลงบนอาหารเลี้ยงเชื้อด้วยวิธีการ spread plate</p>

กิจกรรม	คำอธิบาย
 <p>Taken with Zenfone 4 series 26-Feb-2019</p>	<p>ภาพถ่ายอาหารเลี้ยงเชื้อชนิดต่างๆ ประกอบไปด้วย TSA agar (แถวบน), MRS agar (แถวกลาง), และ SDA agar (แถวล่าง) สำหรับวิเคราะห์ชนิดและปริมาณของแบคทีเรียโดยการเพาะลงบนอาหารเลี้ยงเชื้อด้วยวิธีการ spread plate</p>